

COMMITTENTE:



PROGETTAZIONE:



DIRETTRICE FERROVIARIA MESSINA - CATANIA - PALERMO

NUOVO COLLEGAMENTO PALERMO - CATANIA

U.O. INFRASTRUTTURE SUD

PROGETTO DEFINITIVO

TRATTA LERCARA DIR. - CALTANISSETTA XIRBI (LOTTO 3)

Opere di sostegno di linea

Muri d'ala Viadotti MU73

Relazione di calcolo

SCALA:

-

COMMESSA LOTTO FASE ENTE TIPO DOC. OPERA/DISCIPLINA PROGR. REV.

RS3T 30 D 78 CL MU7300 001 B

Rev.	Descrizione	Redatto	Data	Verificato	Data	Approvato	Data	Autorizzato Data
A	Emissione Esecutiva	ATI Sintagma Rocksoil - Edin	Feb-2020	A.Di Costanzo <i>A. Di Costanzo</i>	Feb-2020	A.Barreca <i>A. Barreca</i>	Feb-2020	D.Tiberti Apr-2020
B	Emissione Esecutiva	ATI Sintagma Rocksoil - Edin	Apr-2020	A.Di Costanzo <i>A. Di Costanzo</i>	Apr-2020	A.Barreca <i>A. Barreca</i>	Apr-2020	

ITALFERR S.p.A.
Gruppo Ferrovie dello Stato
Direzione Generale
UO Infrastrutture Sud
Dist. Ing. - Gen. Tiberti
Ordine degli Ingegneri Prov. di Napoli n. 1187/8

1.	PREMESSA	3
1.1	DESCRIZIONE DELL'OPERA	3
2.	NORMATIVA DI RIFERIMENTO	6
3.	DOCUMENTI DI RIFERIMENTO	6
4.	UNITÀ DI MISURA E SIMBOLOGIA.....	7
5.	CARATTERISTICHE DEI MATERIALI	8
5.1	CALCESTRUZZO MURI	8
5.2	ACCIAIO D'ARMATURA.....	10
6.	CARATTERIZZAZIONE GEOTECNICA	11
7.	VALUTAZIONE DELL'AZIONE SISMICA	13
7.1	VITA NOMINALE.....	13
7.2	CLASSE D'USO	13
7.3	PERIODO DI RIFERIMENTO	13
7.4	PARAMETRI SISMICI	13
8.	RELAZIONE DI CALCOLO DEL MURO AD U "TIPO 2" – MU73.....	18
8.1.1	<i>Verifica S.L.E.</i>	19
8.2	MODELLAZIONE ADOTTATA.....	20
8.2.1	<i>Analisi dei carichi</i>	22
8.2.2	<i>Combinazioni di calcolo</i>	30
8.3	RISULTATI E VERIFICHE	32
8.3.1	<i>Verifica piedritto (s = 1.2 m)</i>	35
8.3.2	<i>Verifica piedritto (s = 0.8 m)</i>	45
8.3.3	<i>Verifica soletta inferiore</i>	54
9.	RELAZIONE DI CALCOLO DEL MURO DI SOSTEGNO "TIPO 3" – MU73	65
9.1	CRITERI DI VERIFICA	65
9.1.1	<i>VERIFICHE GEOTECNICHE (SLU) IN CONDIZIONI STATICHE</i>	65
9.1.2	<i>VERIFICA A SCORRIMENTO</i>	67

9.1.3	VERIFICA A RIBALTAMENTO	67
9.1.4	VERIFICA A CARICO LIMITE DELLA FONDAZIONE	68
9.1.5	VERIFICA A STABILITÀ GLOBALE	68
9.1.6	VERIFICHE GEOTECNICHE (SLV) IN CONDIZIONI SISMICHE.....	69
9.1.7	VERIFICHE GEOTECNICHE (SLE)	70
9.1.8	CALCOLO DEI CEDIMENTI (SLE).....	71
9.1.9	VERIFICHE STRUTTURALI SLU	71
9.1.10	CRITERI DI VERIFICA DELLE SEZIONI IN C.A.....	72
9.1.11	VERIFICHE PER GLI STATI LIMITE ULTIMI A FLESSIONE - PRESSOFLESSIONE.....	72
9.1.12	VERIFICA AGLI STATI LIMITE ULTIMI A TAGLIO.....	72
9.1.13	VERIFICHE STRUTTURALI (SLE).....	74
9.1.14	VERIFICHE ALLE TENSIONI	74
9.1.15	VERIFICHE A FESSURAZIONE	75
9.2	ANALISI DEI CARICHI	77
9.2.1	PESI PROPRI	77
9.2.2	CARICHI PERMANENTI.....	78
9.2.3	CARICHI VARIABILI	80
9.3	COMBINAZIONI DI CARICO	83
9.4	PROGETTO E VERIFICA DEL MURO DI SOSTEGNO “TIPO 3”	86
9.4.1	DATI DI INPUT.....	86
9.4.2	CALCOLO DELLE AZIONI.....	89
9.4.3	VERIFICHE GEOTECNICHE.....	94
9.4.4	VERIFICHE STRUTTURALI	105

1. PREMESSA

Il presente documento si inserisce nell'ambito della redazione degli elaborati tecnici di progetto definitivo della direttrice ferroviaria Messina – Catania - Palermo, nuovo collegamento Palermo - Catania tratta Lercara Dir. – Caltanissetta Xirbi (Lotto 3).

1.1 Descrizione dell'opera

Nella presente relazione sono illustrati i calcoli e le verifiche dei muri d'ala dei viadotti del lotto 3b, denominato MU73.

L'opera MU73 si articola in muro a U e muro a mensola.

Il muro a U tipo "2" si sviluppa in corrispondenza di:

- spalla A del viadotto VI08, dalla progressiva 21+247.12 km alla 21+252.23 km, che presenta un'altezza massima di paramento di 6.40 m, con spessore variabile, pari a 1.20 m allo spiccato, 0.80 m in mezzzeria e 0.40 m in sommità per un tratto di 0.90 m. La soletta ha una larghezza di 9.20 m e uno spessore di 1.30 m;

MURO MU73 - VI08 spalla A - lati SX/DX

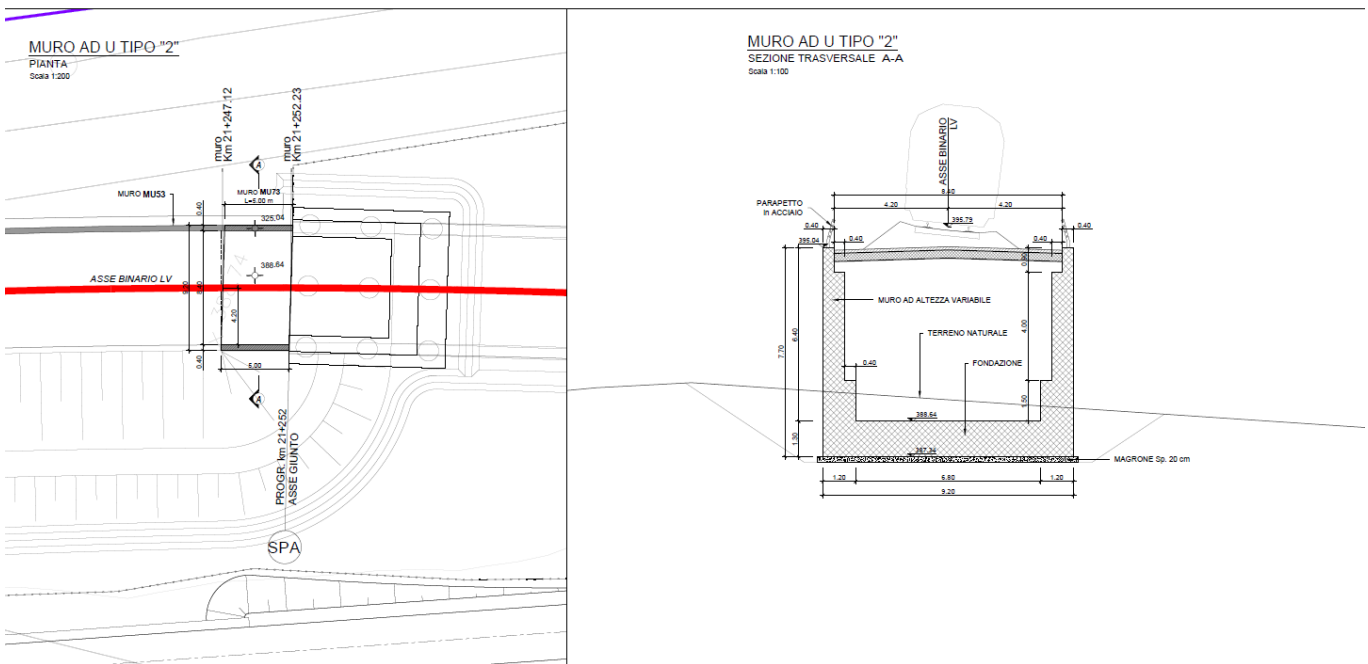


Figura 1 – MU73 – VI08 spalla A.

- spalla A del viadotto VI12, dalla progressiva 26+421.44 km alla 26+426.44 km, che presenta un'altezza massima di paramento di 8.50 m, con spessore variabile, pari a 1.20 m allo spiccato, 0.80 m in mezzeria e 0.40 m in sommità per un tratto di 0.90 m. La soletta ha una larghezza di 9.50 m e uno spessore di 1.30 m;

MURO MU73 - VI12 spalla A - lati SX/DX

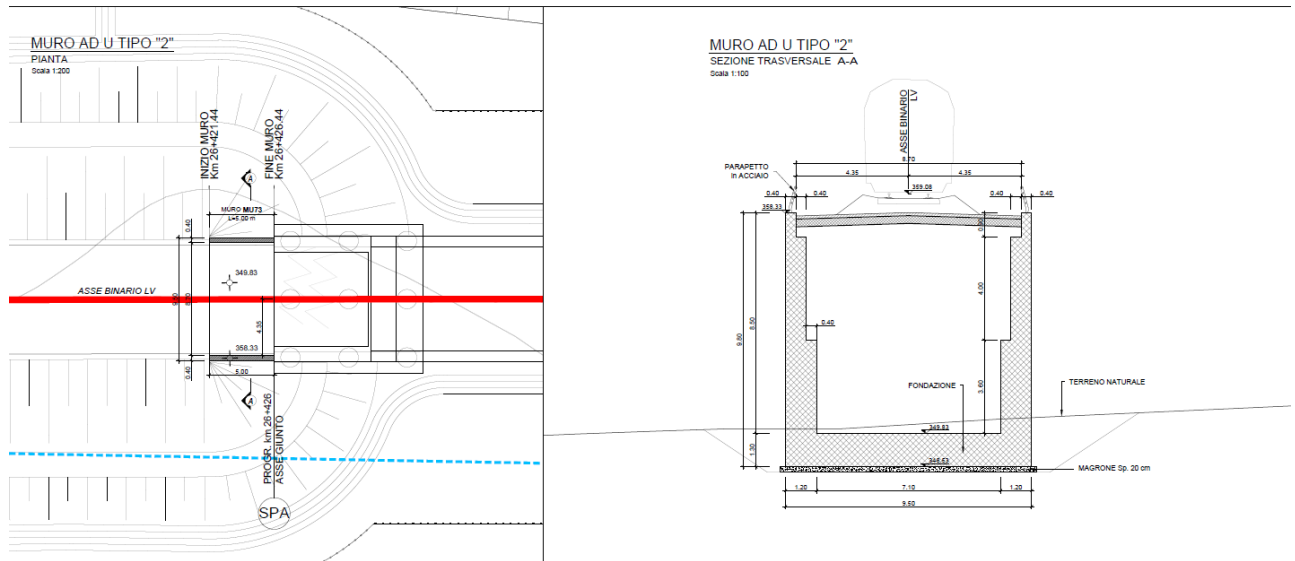


Figura 2 – MU73 – VI12 spalla A.

- spalla B del viadotto VI15, dalla progressiva 38+105.08 km alla 38+111.08 km, che presenta un'altezza massima di paramento di 9.00 m, con spessore variabile, pari a 1.20 m allo spiccato, 0.80 m in mezzeria e 0.40 m in sommità per un tratto di 0.90 m. La soletta ha una larghezza di 9.60 m e uno spessore di 1.30 m;

MURO MU73 - VI15 spalla B - lati SX/DX

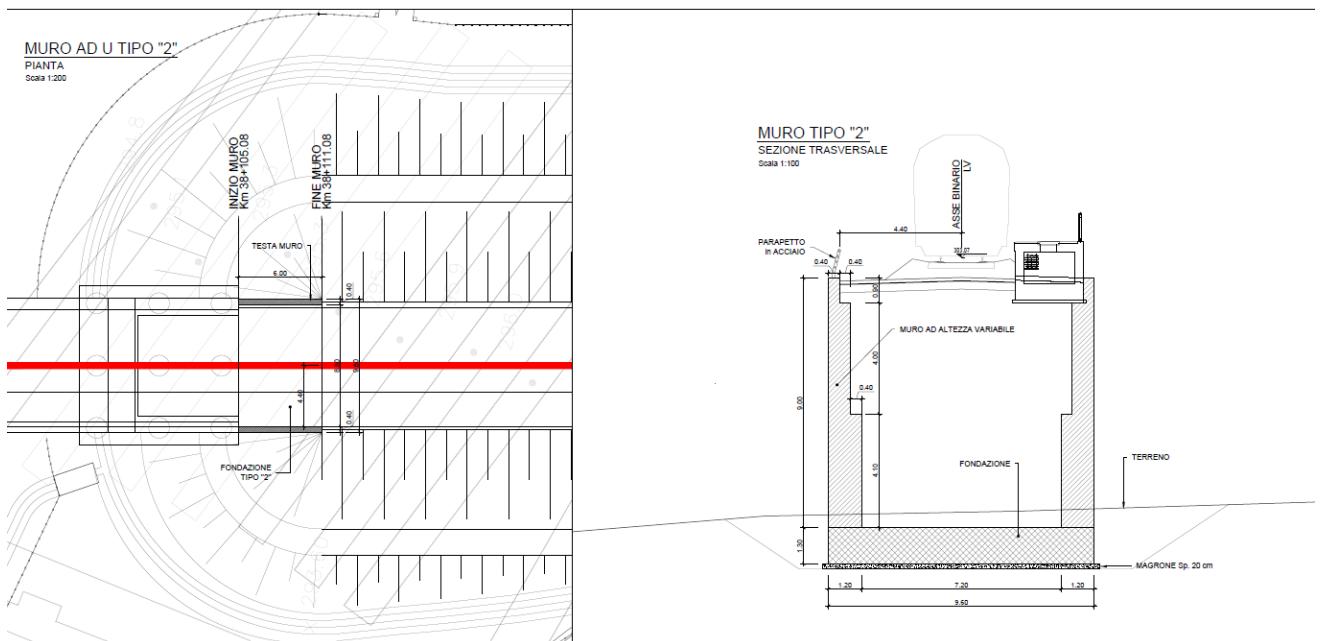


Figura 3 – MU73 – VI15 spalla B.

Il muro a mensola tipo "3" si sviluppa in corrispondenza di:

- spalla A del viadotto VI09, dalla progressiva 22+347.39 km alla 22+352.77 km, su entrambi i lati, che presenta un'altezza massima di paramento di 6.00 m, con spessore pari a 1.80 m allo spiccato e variabile in altezza. La soletta ha una larghezza di 9.00 m e uno spessore di 1.20 m;

MURO MU73 - VI09 spalla A - lato DX

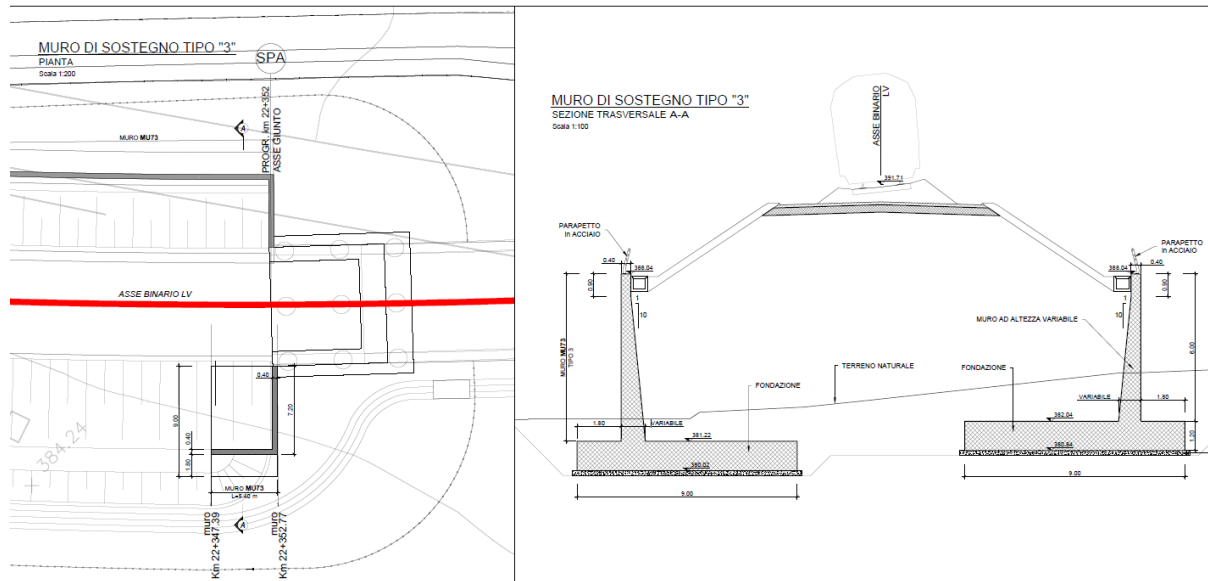


Figura 4 – MU73 – VI09 spalla A.

- spalla A del viadotto VI15, dalla progressiva 37+435.13 km alla 37+440.13 km, lato sinistra, che presenta un'altezza massima di paramento di 6.00 m, con spessore pari a 1.80 m allo spiccato e variabile in altezza. La soletta ha una larghezza di 9.00 m e uno spessore di 1.20 m;

MURO MU73 - VI15 spalla A - lato SX

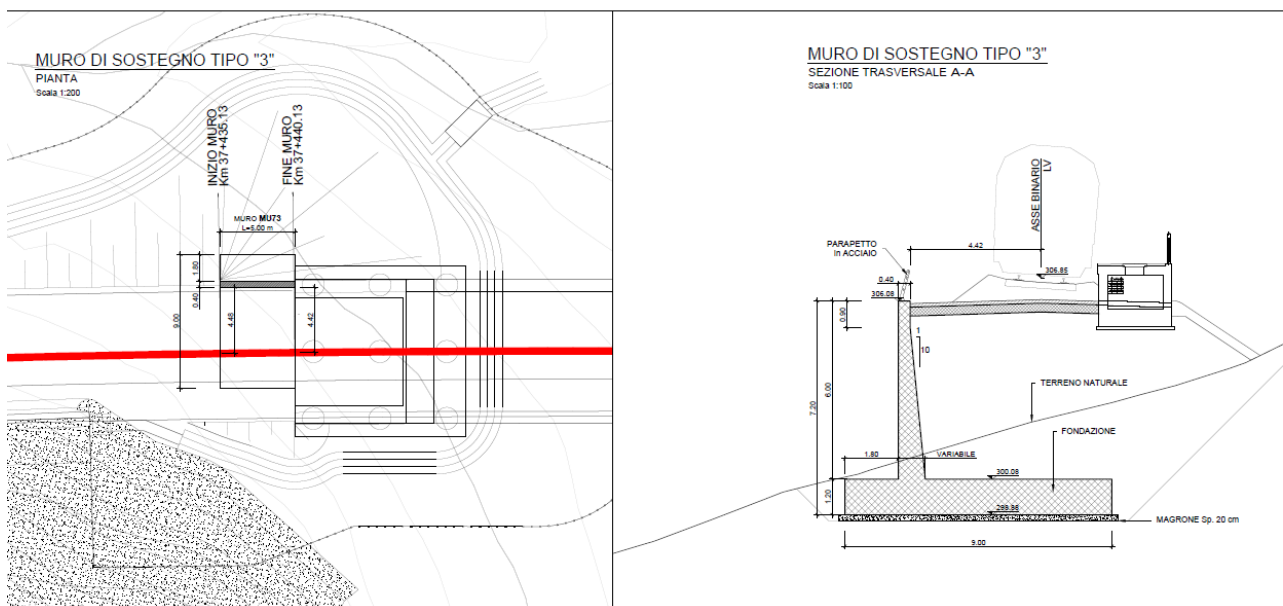


Figura 5 – MU73 – VI15 spalla A.

	DIRETTRICE FERROVIARIA MESSINA – CATANIA – PALERMO NUOVO COLLEGAMENTO PALERMO – CATANIA TRATTA LERCARA DIR. – CALTANISSETTA XIRBI (LOTTO 3) OPERE DI SOSTEGNO DI LINEA					
MURI D'ALA VIADOTTI MU73 RELAZIONE DI CALCOLO	COMMESSA RS3T	LOTTO 30 D 78	CODIFICA CL	DOCUMENTO MU7300 001	REV. B	FOGLIO 6 di 110

2. NORMATIVA DI RIFERIMENTO

L'interpretazione dei risultati e la redazione della presente relazione sono stati effettuati nel rispetto della Normativa in vigore.

I principali riferimenti normativi sono i seguenti:

Norme Tecniche per le Costruzioni - D.M. 17-01-18 (NTC-2018);

Circolare n. 7 del 21 gennaio 2019 - Istruzioni per l'Applicazione dell'aggiornamento delle Norme Tecniche per le Costruzioni di cui al Decreto Ministeriale 17 gennaio 2018;

Regolamento (UE) N.1299/2014 del 18 novembre 2014 della Commissione Europea. Relativo alle specifiche tecniche di interoperabilità per il sottosistema "infrastruttura" del sistema ferroviario dell'Unione Europea.

Eurocodici EN 1991-2: 2003/AC:2010 – Eurocodice 1 – Parte 2

RFI DTC SI MA IFS 001 C del 21-12-18 - Manuale di Progettazione delle Opere Civili.

3. DOCUMENTI DI RIFERIMENTO

Vengono presi a riferimento i seguenti elaborati grafici progettuali di pertinenza:

RS3T.3.0.D.78.P9.MU.73.0.0.001.A: "Opere di sostegno di linea – Muri d'ala viadotti MU73 – Piante, prospetti e sezioni"

RS3T.3.0.D.78.TT.OC.00.0.0.003.B: "Opere civili – Elaborati generali OO. CC. – Tabella incidenze armature Opere Civili – Lotto 3b"

RS3T.3.0.D.78.GE.GE.00.0.0.002.B: "GEOTECNICA – Elaborati generali – Relazione geotecnica generale – Lotto 3b"

 ITALFERR GRUPPO FERROVIE DELLO STATO ITALIANE	DIRETTRICE FERROVIARIA MESSINA – CATANIA – PALERMO NUOVO COLLEGAMENTO PALERMO – CATANIA TRATTA LERCARA DIR. – CALTANISSETTA XIRBI (LOTTO 3) OPERE DI SOSTEGNO DI LINEA					
	MURI D'ALA VIADOTTI MU73 RELAZIONE DI CALCOLO	COMMESSA RS3T	LOTTO 30 D 78	CODIFICA CL	DOCUMENTO MU7300 001	REV. B

4. UNITÀ DI MISURA E SIMBOLOGIA

Si utilizza il Sistema Internazionale (SI):

unità di misura principali

N (Newton)	unità di forza
m (metro)	unità di lunghezza
kg (kilogrammo-massa)	unità di massa
s (secondo)	unità di tempo

unità di misura derivate kN

(kiloNewton)	103N
MN (megaNewton)	106N
kgf (kilogrammo-forza)	1 kgf = 9.81 N
cm (centimetro)	10 ⁻² m
mm (millimetro)	10 ⁻³ m
Pa (Pascal)	1 N/m ²
kPa (kiloPascal)	103 N/m ²
MPa (megaPascal)	106 N/m ²
N/m ³	(peso specifico)
g (accelerazione di gravità)	~9.81 m/s ²

corrispondenze notevoli

$$1 \text{ MPa} = 1 \text{ N/mm}^2$$

$$1 \text{ MPa} \sim 10 \text{ kgf/cm}^2$$

Si utilizzano i seguenti principali simboli con le relative unità di misura normalmente adottate:

γ (gamma)	peso dell'unità di volume	(kN/m ³)
σ (sigma)	tensione normale	(N/mm ²)
τ (tau)	tensione tangenziale	(N / mm ²)
ε (epsilon)	deformazione	(m/m)

MURI D'ALA VIADOTTI MU73
RELAZIONE DI CALCOLO

COMMESSA	LOTTO	CODIFICA	DOCUMENTO	REV.	FOGLIO
RS3T	30 D 78	CL	MU7300 001	B	9 di 110

Copriferro minimo cmin:	50	[mm]
Copriferro nominale Netto Staffe:	60	[mm]
Copriferro barre longitudinali:		
Copriferro nominale Netto barre longitudinali:	80	[mm]
Copriferro nominale dal Baricentro della Barra longitudinale:	93	[mm]

Elemento strutturale: elevazione muro a U – muro tipo 2

Diametro (o diametro equivalente) barre longitudinali:	26	[mm]
Diametro staffe:	14	[mm]
Classe Calcestruzzo:	C32/40	
Condizioni ambientali:	Aggressive	
Vita nominale costruzione:	75	[anni]
Tolleranza di posa:	10	[mm]
Copriferro staffe:		
Copriferro minimo cmin:	50	[mm]
Copriferro nominale Netto Staffe:	60	[mm]
Copriferro barre longitudinali:		
Copriferro nominale Netto barre longitudinali:	74	[mm]
Copriferro nominale dal Baricentro della Barra longitudinale:	87	[mm]

Elemento strutturale: fondazione ed elevazione muro di sostegno – muro tipo 3

Diametro (o diametro equivalente) barre longitudinali:	26	[mm]
Diametro staffe:	14	[mm]
Classe Calcestruzzo:	C32/40	
Condizioni ambientali:	Aggressive	
Vita nominale costruzione:	75	[anni]
Tolleranza di posa:	10	[mm]
Copriferro staffe:		
Copriferro minimo cmin:	50	[mm]

 ITALFERR GRUPPO FERROVIE DELLO STATO ITALIANE	DIRETTRICE FERROVIARIA MESSINA – CATANIA – PALERMO NUOVO COLLEGAMENTO PALERMO – CATANIA TRATTA LERCARA DIR. – CALTANISSETTA XIRBI (LOTTO 3) OPERE DI SOSTEGNO DI LINEA												
MURI D'ALA VIADOTTI MU73 RELAZIONE DI CALCOLO	<table border="1"> <thead> <tr> <th>COMMESSA</th> <th>LOTTO</th> <th>CODIFICA</th> <th>DOCUMENTO</th> <th>REV.</th> <th>FOGLIO</th> </tr> </thead> <tbody> <tr> <td>RS3T</td> <td>30 D 78</td> <td>CL</td> <td>MU7300 001</td> <td>B</td> <td>10 di 110</td> </tr> </tbody> </table>	COMMESSA	LOTTO	CODIFICA	DOCUMENTO	REV.	FOGLIO	RS3T	30 D 78	CL	MU7300 001	B	10 di 110
COMMESSA	LOTTO	CODIFICA	DOCUMENTO	REV.	FOGLIO								
RS3T	30 D 78	CL	MU7300 001	B	10 di 110								

Copriferro nominale Netto Staffe: 60 [mm]

Copriferro barre longitudinali:

Copriferro nominale Netto barre longitudinali: 74 [mm]

Copriferro nominale dal Baricentro della Barra longitudinale: 87 [mm]

5.2 Acciaio d'armatura

L'acciaio utilizzato è ad aderenza migliorata tipo B450C ed è caratterizzato dai seguenti valori nominali delle tensioni di snervamento e rottura:

$f_{y, nom}$ 450 N/mm²

$f_{t, nom}$ 540 N/mm²

Resistenza di calcolo dell'acciaio per la verifica agli SLU ($\gamma_s=1.15$):

Resistenza di calcolo a rottura per trazione e deformazione corrispondente:

$f_{yd} = f_{yk}/\gamma_s$ 391.3 N/mm²

$\varepsilon_{yd} = f_{yd}/E_s$ 0.186%

 ITALFERR GRUPPO FERROVIE DELLO STATO ITALIANE	DIRETTRICE FERROVIARIA MESSINA – CATANIA – PALERMO NUOVO COLLEGAMENTO PALERMO – CATANIA TRATTA LERCARA DIR. – CALTANISSETTA XIRBI (LOTTO 3) OPERE DI SOSTEGNO DI LINEA					
	MURI D'ALA VIADOTTI MU73 RELAZIONE DI CALCOLO	COMMESSA RS3T	LOTTO 30 D 78	CODIFICA CL	DOCUMENTO MU7300 001	REV. B

6. CARATTERIZZAZIONE GEOTECNICA

Il modello geotecnico di calcolo è stato definito sulla base di quanto riportato nella relazione geotecnica: tutte i muri d'ala poggiano sulla stessa tipologia di terreno, l'unità geotecnica a2, ma in tratte differenti:

- MU73 – VI08 spalla A: tratta 4;
- MU73 – VI09 spalla A: tratta 5;
- MU73 – VI12 spalla A: tratta 6;
- MU73 – VI15 spalla A: tratta 12;
- MU73 – VI15 spalla B: tratta 12;

Si riportano di seguito i parametri fisici e meccanici peggiori ad essa assegnati. In base ai dati a disposizione sono stati scelti dei valori cautelativi per i parametri di calcolo. Il rilevato a monte avrà superficie orizzontale.

Unità litologiche da p.c.	da [m]	a [m]	γ [kN/m ³]	c'_k [kPa]	ϕ'_k [°]	E_{op} [MPa]	c_u [kPa]
a2	0.00	12.50	19	15	26	70	75

Figura 6 – Valori di calcolo dei parametri geotecnici del terreno

in cui:

γ = peso specific del terreno;

c'_k = coesione efficace;

c_u = coesione non drenata;

ϕ'_k = angolo d'attrito efficace;

E'_{op} = modulo di Young

La falda è posta a circa 8.00 metri dal piano campagna.

Per le caratteristiche dei rilevati ferroviari si assumono i seguenti parametri:

- peso volume, $\gamma = 20$ kN/m³;
- angolo d'attrito, $\phi' = 38^\circ$;
- coesione efficace $c' = 0$ kPa.

Per l'inquadrimento geotecnico si rimanda alla "Relazione geotecnica generale" e ai relativi profili geotecnici.

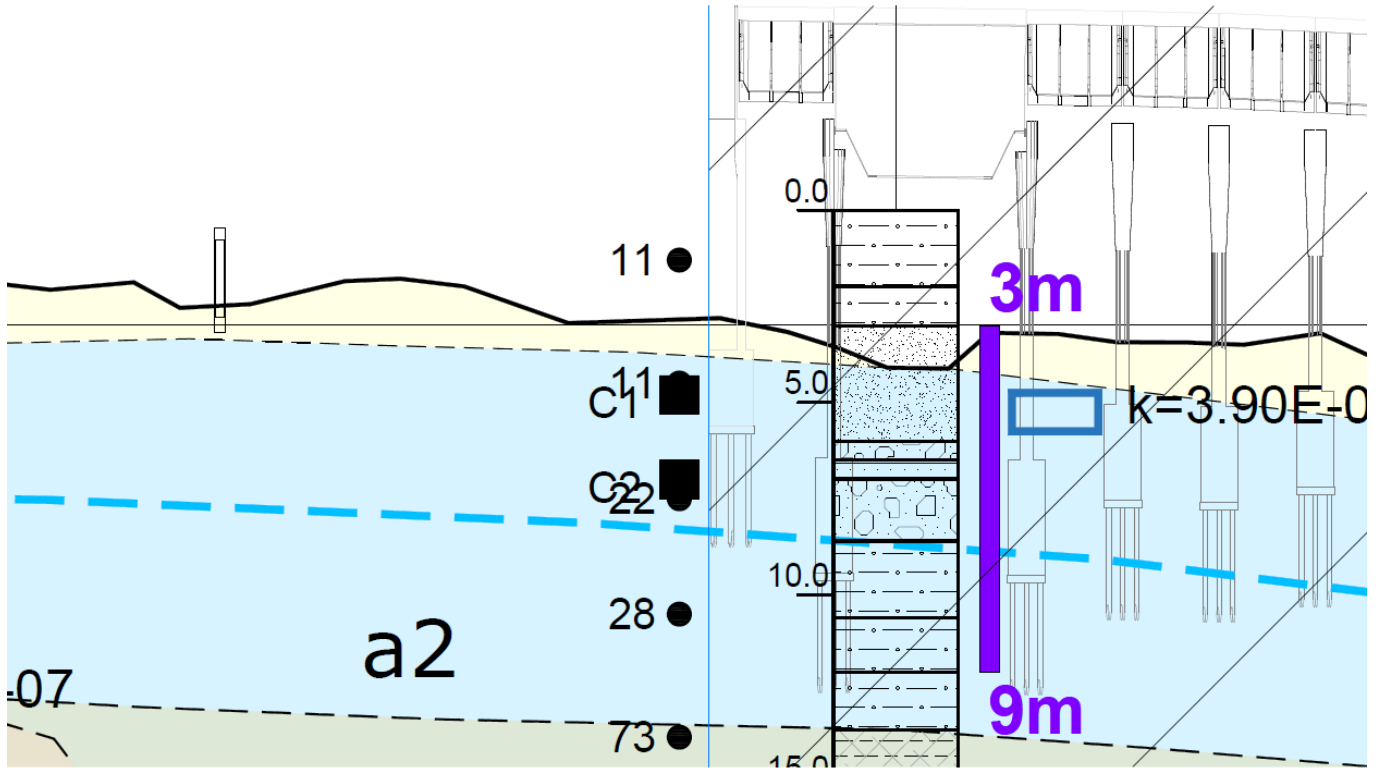


Figura 7 – Stralcio profilo geotecnico.

 ITALFERR GRUPPO FERROVIE DELLO STATO ITALIANE	DIRETTRICE FERROVIARIA MESSINA – CATANIA – PALERMO NUOVO COLLEGAMENTO PALERMO – CATANIA TRATTA LERCARA DIR. – CALTANISSETTA XIRBI (LOTTO 3) OPERE DI SOSTEGNO DI LINEA					
	MURI D'ALA VIADOTTI MU73 RELAZIONE DI CALCOLO	COMMESSA RS3T	LOTTO 30 D 78	CODIFICA CL	DOCUMENTO MU7300 001	REV. B

7. VALUTAZIONE DELL'AZIONE SISMICA

7.1 VITA NOMINALE

La vita nominale di un'opera strutturale VN è intesa come il numero di anni nel quale la struttura, purché soggetta alla manutenzione ordinaria, deve potere essere usata per lo scopo al quale è destinata. Nel presente caso l'opera viene inserita nella seguente tipologia di costruzione:

2) Opere ordinarie, ponti, opere infrastrutturali e dighe di dimensioni contenute o di importanza normale

La cui vita nominale è pari a: 75 anni.

7.2 CLASSE D'USO

In presenza di azioni sismiche, con riferimento alle conseguenze di un'interruzione di operatività o di un eventuale collasso, l'opera appartiene alla seguente classe d'uso:

Classe III: Costruzioni il cui uso preveda affollamenti significativi. Industrie con attività pericolose per l'ambiente. Reti viarie extraurbane non ricadenti in Classe d'uso IV. Ponti e reti ferroviarie la cui interruzione provochi situazioni di emergenza. Dighe rilevanti per le conseguenze di un loro eventuale collasso.

Il coefficiente d'uso è pari a 1.50.

7.3 PERIODO DI RIFERIMENTO

Le azioni sismiche su ciascuna costruzione vengono valutate in relazione al periodo di riferimento VR ricavato, per ciascun tipo di costruzione, moltiplicandone la vita nominale VN per il coefficiente d'uso Cu.

Pertanto $VR = 75 \times 1.5 = 112.5$ anni.

7.4 PARAMETRI SISMICI

Fissata la vita di riferimento VR, i due parametri TR e PVR sono immediatamente esprimibili, l'uno in funzione dell'altro, mediante l'espressione:

$$T_R = -\frac{V_R}{\ln(1 - P_{VR})} = -\frac{C_u V_N}{\ln(1 - P_{VR})}$$

Stati Limite	P_{VR} : Probabilità di superamento nel periodo di riferimento V_R	
Stati limite di esercizio	SLO	81%
	SLD	63%
Stati limite ultimi	SLV	10%
	SLC	5%

Figura 8 – Probabilità di superamento al variare dello stato limite considerato.

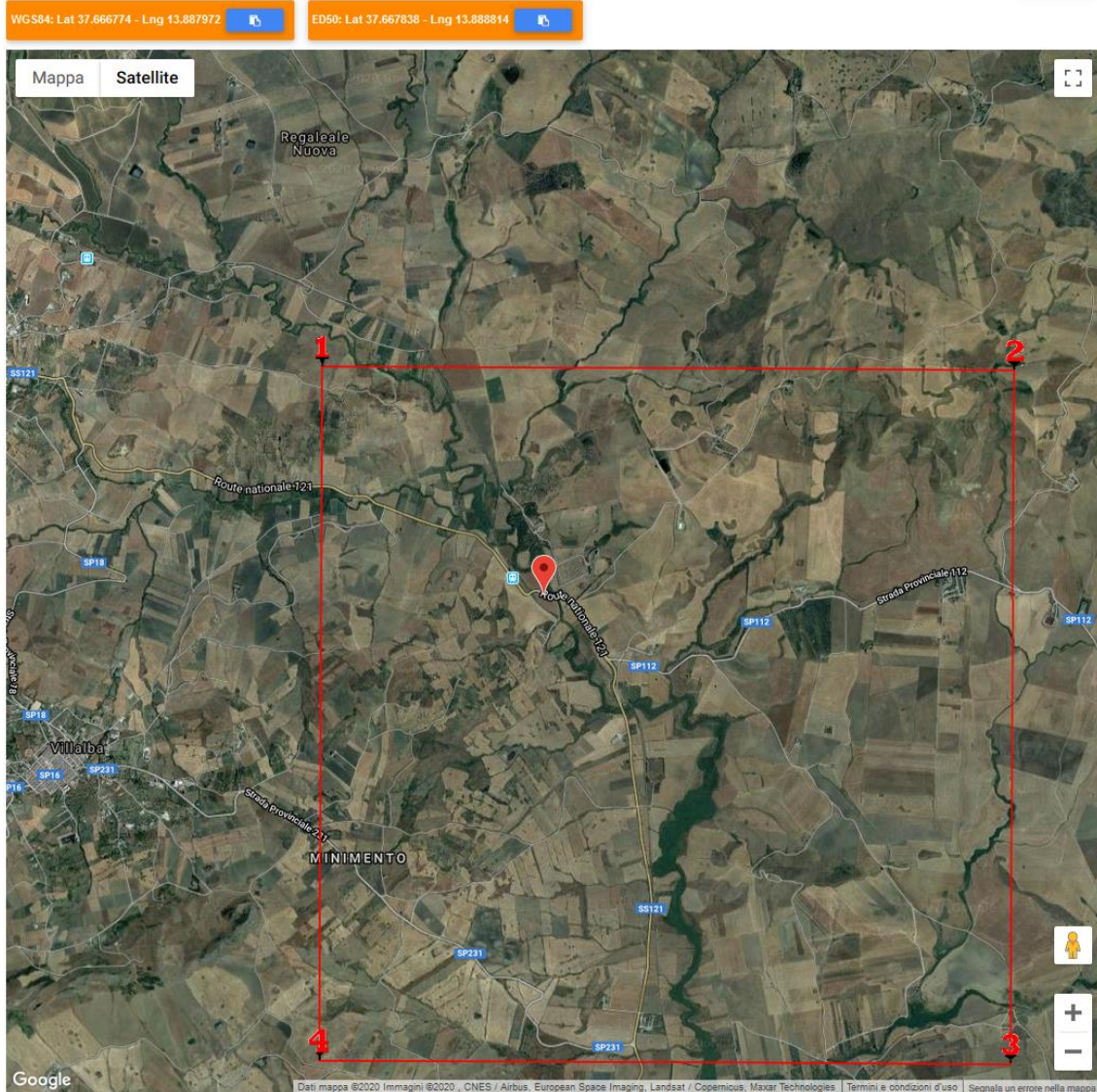


Figura 9– Localizzazione del sito ove sorgerà l'opera.

 ITALFERR GRUPPO FERROVIE DELLO STATO ITALIANE	DIRETTRICE FERROVIARIA MESSINA – CATANIA – PALERMO NUOVO COLLEGAMENTO PALERMO – CATANIA TRATTA LERCARA DIR. – CALTANISSETTA XIRBI (LOTTO 3) OPERE DI SOSTEGNO DI LINEA					
	MURI D'ALA VIADOTTI MU73 RELAZIONE DI CALCOLO	COMMESSA RS3T	LOTTO 30 D 78	CODIFICA CL	DOCUMENTO MU7300 001	REV. B

Da cui si ottiene la seguente tabella:

Stati limite

	Classe Edificio				
	III. Affollamento significativo...				
	Vita Nominale	75			
	Interpolazione	Media ponderata			
CU = 1.5					
Stato Limite	Tr [anni]	a_g [g]	F_0	T_c^* [s]	
Operatività (SLO)	68	0.044	2.465	0.282	
Danno (SLD)	113	0.053	2.488	0.306	
Salvaguardia vita (SLV)	1068	0.107	2.636	0.394	
Prevenzione collasso (SLC)	2193	0.129	2.686	0.420	
Periodo di riferimento per l'azione sismica:	112.5				

Figura 10 – Parametri relativi all'azione sismica.

Ai fini della definizione dell'azione sismica di progetto, si rende necessario valutare l'effetto della risposta sismica locale. Per la definizione dell'azione sismica si può fare riferimento a un approccio semplificato, che si basa sull'individuazione delle categorie di sottosuolo di riferimento in accordo a quanto indicato nel § 3.2.2 delle NTC2018. I terreni di progetto possono essere caratterizzati come appartenenti a terreni di Categoria C. In condizioni topografiche superficiali semplici si può adottare la seguente classificazione.

Categoria	Caratteristiche della superficie topografica
T1	Superficie pianeggiante, pendii e rilievi isolati con inclinazione media $i \leq 15^\circ$
T2	Pendii con inclinazione media $i > 15^\circ$
T3	Rilievi con larghezza in cresta molto minore che alla base e inclinazione media $15^\circ \leq i \leq 30^\circ$
T4	Rilievi con larghezza in cresta molto minore che alla base e inclinazione media $i > 30^\circ$

Figura 11 – Categorie topografiche.

L'area interessata risulta classificabile come T1.

In riferimento a quanto indicato nel §3.2.3.2.1 delle NTC2018 per la definizione dello spettro elastico in accelerazione è necessario valutare il valore del coefficiente $S = SSST$ e di CC in base alla categoria di sottosuolo e alle condizioni topografiche; si fa riferimento nella valutazione dei coefficienti alle tabelle di seguito riportate:

	DIRETTRICE FERROVIARIA MESSINA – CATANIA – PALERMO NUOVO COLLEGAMENTO PALERMO – CATANIA TRATTA LERCARA DIR. – CALTANISSETTA XIRBI (LOTTO 3) OPERE DI SOSTEGNO DI LINEA					
	MURI D'ALA VIADOTTI MU73 RELAZIONE DI CALCOLO	COMMESSA RS3T	LOTTO 30 D 78	CODIFICA CL	DOCUMENTO MU7300 001	REV. B

Categoria sottosuolo	S_s	C_c
A	1,00	1,00
B	$1,00 \leq 1,40 - 0,40 \cdot F_o \cdot \frac{a_g}{g} \leq 1,20$	$1,10 \cdot (T_c^*)^{-0,20}$
C	$1,00 \leq 1,70 - 0,60 \cdot F_o \cdot \frac{a_g}{g} \leq 1,50$	$1,05 \cdot (T_c^*)^{-0,33}$
D	$0,90 \leq 2,40 - 1,50 \cdot F_o \cdot \frac{a_g}{g} \leq 1,80$	$1,25 \cdot (T_c^*)^{-0,50}$
E	$1,00 \leq 2,00 - 1,10 \cdot F_o \cdot \frac{a_g}{g} \leq 1,60$	$1,15 \cdot (T_c^*)^{-0,40}$

Figura 12 – Espressioni di SS e CC.

Categoria topografica	Ubicazione dell'opera o dell'intervento	S_T
T1	-	1,0
T2	In corrispondenza della sommità del pendio	1,2
T3	In corrispondenza della cresta di un rilievo con pendenza media minore o uguale a 30°	1,2
T4	In corrispondenza della cresta di un rilievo con pendenza media maggiore di 30°	1,4

Figura 13 – Valori massimi dei coefficienti di amplificazione topografica ST.

valori dei coefficienti di amplificazione stratigrafica sono pari a $S_s = 1.5$ e $C_c = 1.430$

valore del coefficiente di amplificazione topografica è posto pari a $S_T = 1.0$

Dalla sezione dedicata al calcolo dei parametri sismici di base del programma "GeoStru", si ricavano i seguenti parametri dello spettro di risposta relativo al sito più gravoso.

Coefficienti sismici

 Tipo Muri di sostegno NTC 2018

Muri di sostegno che non sono in grado di subire spostamenti.

H (m) us (m)

 1  0.1

 Cat. Sottosuolo C

 Cat. Topografica T1

	SLO	SLD	SLV	SLC
SS Amplificazione stratigrafica	1,50	1,50	1,50	1,49
CC Coeff. funz categoria	1,59	1,55	1,43	1,40
ST Amplificazione topografica	1,00	1,00	1,00	1,00

Acc.ne massima attesa al sito [m/s²]  0.6

Coefficienti	SLO	SLD	SLV	SLC
kh	0.000	0.037	0.061	0.000
kv	--	0.019	0.030	--
Amax [m/s ²]	0.646	0.782	1.569	1.878
Beta	--	0.470	0.380	--

Figura 14 – Coefficienti sismici.

 ITALFERR GRUPPO FERROVIE DELLO STATO ITALIANE	DIRETTRICE FERROVIARIA MESSINA – CATANIA – PALERMO NUOVO COLLEGAMENTO PALERMO – CATANIA TRATTA LERCARA DIR. – CALTANISSETTA XIRBI (LOTTO 3) OPERE DI SOSTEGNO DI LINEA					
	MURI D'ALA VIADOTTI MU73 RELAZIONE DI CALCOLO	COMMESSA RS3T	LOTTO 30 D 78	CODIFICA CL	DOCUMENTO MU7300 001	REV. B

8.1.1 Verifica S.L.E.

La verifica nei confronti degli Stati limite di esercizio, consiste nel controllare, con riferimento alle sollecitazioni di calcolo corrispondenti alle Combinazioni di Esercizio, il tasso di Lavoro nei Materiali e l'ampiezza delle fessure attesa, secondo quanto di seguito specificato.

8.1.1.1 Verifica tensioni

La verifica delle tensioni in esercizio consiste nel controllare il rispetto dei limiti tensionali previsti per il calcestruzzo e per l'acciaio per ciascuna delle combinazioni di carico caratteristiche "Rara" e "Quasi Permanente"; i valori tensionali nei materiali sono valutati secondo le note teorie di analisi delle sezioni in c.a. in campo elastico e con calcestruzzo "non reagente" adottando come limiti di riferimento, trattandosi nel caso in specie di opere Ferroviarie, quelli indicati nel documento "Manuale di progettazione Opere Civili RFI DTC SI MA IFS 001 C del 21-12-18"

Strutture in c.a.

Tensioni di compressione del calcestruzzo

Devono essere rispettati i seguenti limiti per le tensioni di compressione nel calcestruzzo:

- per combinazione di carico caratteristica (rara): $0,55 f_{ck}$;
- per combinazioni di carico quasi permanente: $0,40 f_{ck}$;
- per spessori minori di 5 cm, le tensioni normali limite di esercizio sono ridotte del 30%.

Tensioni di trazione nell'acciaio

Per le armature ordinarie, la massima tensione di trazione sotto la combinazione di carico caratteristica (rara) non deve superare $0.75 f_{yk}$

Nel caso in esame pertanto si ha:

CALCESTRUZZO

Massima tensione allo SLE per combinazione caratteristica (rara):

$$\sigma_c = 0.55 \cdot f_{ck} \qquad 16.89 \text{ N/mm}^2$$

Massima tensione allo SLE per combinazione quasi permanente:

$$\sigma_c = 0.40 \cdot f_{ck} \qquad 12.28 \text{ N/mm}^2$$

ACCIAIO

Massima tensione allo SLE per combinazione caratteristica (rara):

$$\sigma_s = 0.75 f_{yk} \qquad 337.5 \text{ N/mm}^2$$

 GRUPPO FERROVIE DELLO STATO ITALIANE	DIRETTRICE FERROVIARIA MESSINA – CATANIA – PALERMO NUOVO COLLEGAMENTO PALERMO – CATANIA TRATTA LERCARA DIR. – CALTANISSETTA XIRBI (LOTTO 3) OPERE DI SOSTEGNO DI LINEA					
	MURI D'ALA VIADOTTI MU73 RELAZIONE DI CALCOLO	COMMESSA RS3T	LOTTO 30 D 78	CODIFICA CL	DOCUMENTO MU7300 001	REV. B

8.1.1.2 Verifica a fessurazione

In relazione all'aggressività ambientale e alla sensibilità dell'acciaio, l'apertura limite delle fessure è riportato nel prospetto seguente [NTC – Tabella 4.1.IV]:

Gruppi di esigenza	Condizioni ambientali	Combinazione di azione	Armatura			
			Sensibile		Poco sensibile	
			Stato limite	w_d	Stato limite	w_d
a	Ordinarie	frequente	ap. fessure	$\leq w_2$	ap. fessure	$\leq w_3$
		quasi permanente	ap. fessure	$\leq w_1$	ap. fessure	$\leq w_2$
b	Aggressive	frequente	ap. fessure	$\leq w_1$	ap. fessure	$\leq w_2$
		quasi permanente	decompressione	-	ap. fessure	$\leq w_1$
c	Molto Aggressive	frequente	formazione fessure	-	ap. fessure	$\leq w_1$
		quasi permanente	decompressione	-	ap. fessure	$\leq w_1$

Figura 16 – Criteri di scelta dello stato limite di fessurazione e Condizioni Ambientali

Tabella 4.1.III – Descrizione delle condizioni ambientali

CONDIZIONI AMBIENTALI	CLASSE DI ESPOSIZIONE
Ordinarie	X0, XC1, XC2, XC3, XF1
Aggressive	XC4, XD1, XS1, XA1, XA2, XF2, XF3
Molto aggressive	XD2, XD3, XS2, XS3, XA3, XF4

Risultando $w_1 = 0.2 \text{ mm}$ $w_2 = 0.3 \text{ mm}$ $w_3 = 0.4 \text{ mm}$

Alle prescrizioni normative presenti in NTC si aggiungono in tal caso quelle fornite dal "Manuale di Progettazione delle Opere Civili" secondo cui la verifica nei confronti dello stato limite di apertura delle fessure va effettuata utilizzando le sollecitazioni derivanti dalla combinazione caratteristica (rara).

Per strutture in condizioni ambientali aggressive o molto aggressive, così come identificate nel par. 4.1.2.2.4.2 del DM 14.1.2018, per tutte le strutture a permanente contatto con il terreno e per le zone non ispezionabili di tutte le strutture, l'apertura convenzionale delle fessure dovrà risultare:

Combinazione Caratteristica (Rara) $\delta_f \leq w_1 = 0.2 \text{ mm}$

8.2 Modellazione adottata

Per l'analisi della struttura è stato sviluppato un modello di calcolo nel quale l'interazione struttura-terreno è stata simulata attraverso molle reagenti solo a compressione (analisi non lineare); la costante di sottofondo è stata assunta pari a 9070 kN/m^3 .

Tale valore è stato determinato, a partire dal valore di E dello strato di fondazione, attraverso la seguente relazione:

$$k_w = \frac{E}{(1 - \nu^2) \cdot B \cdot c_t}$$

dove:

E = modulo elastico del terreno;

ν = coefficiente di Poisson = 0.3;

 ITALFERR GRUPPO FERROVIE DELLO STATO ITALIANE	DIRETTRICE FERROVIARIA MESSINA – CATANIA – PALERMO NUOVO COLLEGAMENTO PALERMO – CATANIA TRATTA LERCARA DIR. – CALTANISSETTA XIRBI (LOTTO 3) OPERE DI SOSTEGNO DI LINEA					
	MURI D'ALA VIADOTTI MU73 RELAZIONE DI CALCOLO	COMMESSA RS3T	LOTTO 30 D 78	CODIFICA CL	DOCUMENTO MU7300 001	REV. B

B = larghezza della fondazione.

c_t = fattore di forma, coefficiente adimensionale valutato con le relazione $c_t = 0.853 + 0.534 \ln(L/B)$ (per $L/B \leq 10$ con L lunghezza singolo concio).

unità	E	v	B	L	L/B	c_t	k_w
(-)	(MPa)	(-)	(m)	(m)	(-)	(-)	(kN/m^3)
a2	40	0.3	9.5	5	0.53	0.510	9068

L'analisi delle strutture è stata condotta mediante il programma di calcolo agli elementi finiti SAP2000, prodotto dalla Computer and Structures inc. di Berkeley, California, USA.

Lo schema statico impiegato è quello di telaio costituito da elementi frame; in corrispondenza della intersezione tra tali elementi il programma genera in automatico dei nodi per garantire la continuità strutturale. Ad ogni elemento è assegnata la corrispondente sezione rettangolare in calcestruzzo, la cui geometria è definita dallo spessore dell'elemento stesso per una larghezza unitaria, dal momento che la struttura è risolta come piana.

Per le verifiche delle sezioni si è adottato il programma RC-SEC – Autore GEOSTRU.

La larghezza interna è di 7.20 m, l'altezza interna, dalla soletta di fondazione, è pari 9.00 m, la soletta inferiore ha spessore pari a 1.30 m e piedritti hanno spessore variabile (tra 1.20 e 0.4 m).

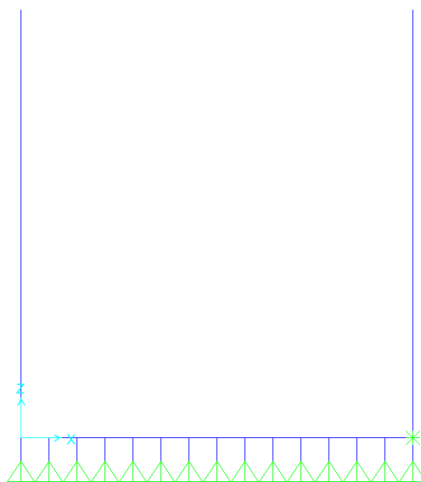


Figura 17 – Modello di calcolo.

 ITALFERR GRUPPO FERROVIE DELLO STATO ITALIANE	DIRETTRICE FERROVIARIA MESSINA – CATANIA – PALERMO NUOVO COLLEGAMENTO PALERMO – CATANIA TRATTA LERCARA DIR. – CALTANISSETTA XIRBI (LOTTO 3) OPERE DI SOSTEGNO DI LINEA					
	MURI D'ALA VIADOTTI MU73 RELAZIONE DI CALCOLO	COMMESSA RS3T	LOTTO 30 D 78	CODIFICA CL	DOCUMENTO MU7300 001	REV. B

8.2.1 *Analisi dei carichi*

8.2.1.1 *Peso proprio della struttura*

Il peso proprio della struttura è valutato automaticamente dal programma di calcolo attribuendo al c.a. un peso dell'unità di volume di 25 kN/m³.

8.2.1.2 *Carichi permanenti portati*

Nella Tabella sottostante si riportano i carichi.

permanenti portati		
soletta inf		
γ_3	25 kN/m ³	
S_3	0.4 m	spessore e massetto pendenze
W_3	10.00 kN/m ²	
γ_4	19 kN/m ³	
S_4	0 m	Rinterro laterale
W_4	0.00 kN/m ²	
L_4	0.00 m	
γ_3	20 kN/m ³	
h_{netta}	8.1 m	riempimento rilevato ferroviario
S_3	0 m	
W_3	162.00 kN/m ²	

Frame Span Loads (permanenti_soletta_inferiore) (GLOBAL CSys)

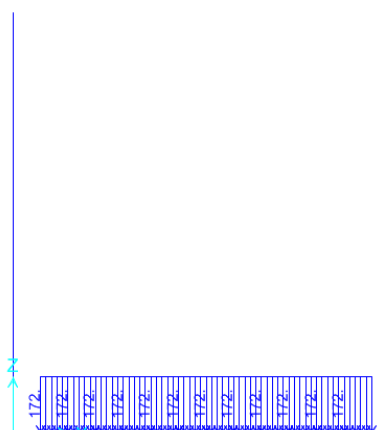


Figura 18 – Carichi permanenti sulla soletta inferiore.

 ITALFERR GRUPPO FERROVIE DELLO STATO ITALIANE	DIRETTRICE FERROVIARIA MESSINA – CATANIA – PALERMO NUOVO COLLEGAMENTO PALERMO – CATANIA TRATTA LERCARA DIR. – CALTANISSETTA XIRBI (LOTTO 3) OPERE DI SOSTEGNO DI LINEA					
	MURI D'ALA VIADOTTI MU73 RELAZIONE DI CALCOLO	COMMESSA RS3T	LOTTO 30 D 78	CODIFICA CL	DOCUMENTO MU7300 001	REV. B

8.2.1.3 Ballast

Il ballast è stato valutato considerando uno sviluppo in altezza di 0.8 m: $p_b = 20 \cdot 0.8 = 16.0 \text{ kN/m}^2$

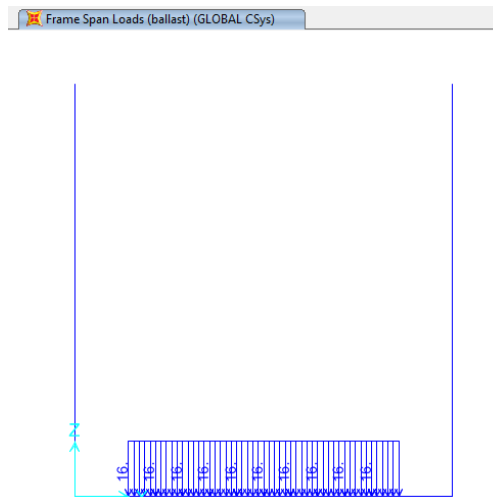


Figura 19 – Ballast

8.2.1.4 Spinta orizzontale dovuta al ballast

Il ballast produce una spinta orizzontale sui piedritti, valutata a partire dal peso del ballast calcolato in precedenza.

Spinta statica aggiuntiva	
	Ballast
K0	0.38
p_b	16 kN/m ²
Δp_d	6.15 kN/m ²

 ITALFERR GRUPPO FERROVIE DELLO STATO ITALIANE	DIRETTRICE FERROVIARIA MESSINA – CATANIA – PALERMO NUOVO COLLEGAMENTO PALERMO – CATANIA TRATTA LERCARA DIR. – CALTANISSETTA XIRBI (LOTTO 3) OPERE DI SOSTEGNO DI LINEA					
	MURI D'ALA VIADOTTI MU73 RELAZIONE DI CALCOLO	COMMESSA RS3T	LOTTO 30 D 78	CODIFICA CL	DOCUMENTO MU7300 001	REV. B

Frame Span Loads (Ballast H) (GLOBAL Csys)

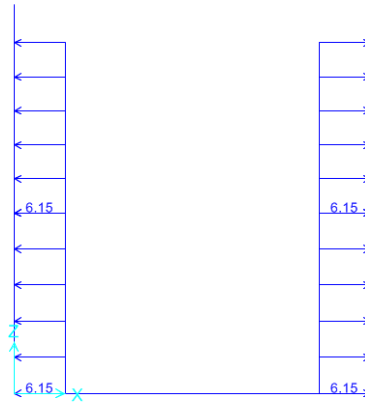


Figura 20– Ballast_H.

8.2.1.5 Spinta del terreno e dell'acqua

Per la valutazione della spinta esercitata dal terreno quest'ultimo è stato considerato in condizioni di riposo pertanto il coefficiente di spinta è dato dalla relazione $k_0 = 1 - \text{sen}\varphi'$. La falda è posta a -2,00 m dal piano campagna per cui non influisce sulle spinte esterne. L'unica spinta considerata è quella del rilevato ferroviario interno al muro.

spinta a riposo e spinta H ₂ O		
γ_t	20 kN/m ³	peso specifico terreno
φ'_k	38 °	angolo attrito caratteristico
φ'_d	38.0 °	angolo attrito di progetto
k_0	0.38 -	

z da testa piedritto (m)	$\sigma_{h,tot}$ (kN/m ²)
0	0.00
0.8	6.15
4.8	36.90
9.05	69.57

 ITALFERR GRUPPO FERROVIE DELLO STATO ITALIANE	DIRETTRICE FERROVIARIA MESSINA – CATANIA – PALERMO NUOVO COLLEGAMENTO PALERMO – CATANIA TRATTA LERCARA DIR. – CALTANISSETTA XIRBI (LOTTO 3) OPERE DI SOSTEGNO DI LINEA					
	MURI D'ALA VIADOTTI MU73 RELAZIONE DI CALCOLO	COMMESSA RS3T	LOTTO 30 D 78	CODIFICA CL	DOCUMENTO MU7300 001	REV. B

Frame Span Loads (spinta_sx_k0) (GLOBAL CSys)

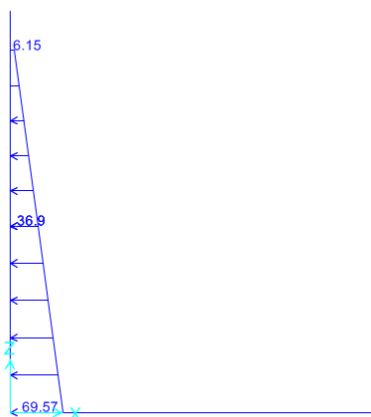


Figura 21 – Spinta del terreno sul piedritto sinistro.

Frame Span Loads (spinta_dx_k0) (GLOBAL CSys)

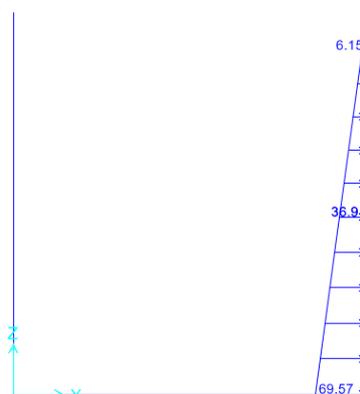


Figura 22 – Spinta del terreno sul piedritto destro.

8.2.1.6 Sovraccarico ferroviario su soletta inferiore

Per la valutazione dei carichi verticali si è fatto riferimento a dei modelli di carico “teorici”, come indicato dalla normativa vigente. In particolare è stato considerato il treno di carico LM71, rappresentativo del traffico normale.

Il treno di carico LM71, schematizzato in Figura 23, è costituito da 4 assi da 250 kN disposti ad interasse di 1.6 m e da un carico distribuito di 80 kN/m in entrambe le direzioni per un'estensione illimitata, a partire da 0.8 m dagli assi di estremità.

Longitudinalmente i carichi assiali del modello di carico LM71 sono stati distribuiti uniformemente su 6.4 m.

 GRUPPO FERROVIE DELLO STATO ITALIANE	DIRETTRICE FERROVIARIA MESSINA – CATANIA – PALERMO NUOVO COLLEGAMENTO PALERMO – CATANIA TRATTA LERCARA DIR. – CALTANISSETTA XIRBI (LOTTO 3) OPERE DI SOSTEGNO DI LINEA					
	MURI D'ALA VIADOTTI MU73 RELAZIONE DI CALCOLO	COMMESSA RS3T	LOTTO 30 D 78	CODIFICA CL	DOCUMENTO MU7300 001	REV. B

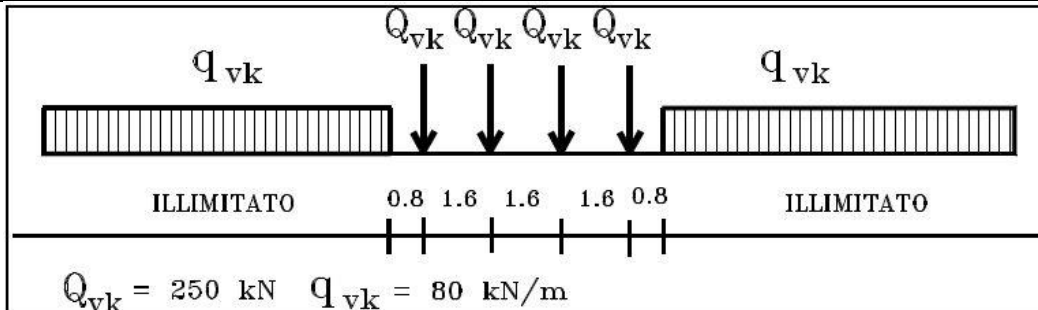


Figura 23 – Treno di carico LM71

I valori caratteristici dei carichi sono stati moltiplicati per il coefficiente di adattamento α .

modello di carico	coefficiente di adattamento α
LM71	1.1

Figura 24– Coefficiente di adattamento α

Trasversalmente i carichi sono stati ripartiti secondo una pendenza di 1 a 4 all'interno del ballast, secondo una pendenza di 1 a 1 all'interno dello spessore e del massetto delle pendenze e con una pendenza pari all'angolo di attrito del rilevato ferroviario. Pertanto, alla quota del piano medio della soletta inferiore, considerando per la traversa una larghezza di 2.40 m, si ha:

$$L_d = 2.40 + (s_b/4 + s_{sm} + \tan\varphi \cdot s_{rf} \cdot s_{ss}/2) \cdot 2 = 2.4 + (0.35/4 + 0.4 + \tan 38^\circ \cdot 8.1 \cdot 1.3/2) \cdot 2 = 16.03 \text{ m}$$

La larghezza di ripartizione utilizzata nei calcoli per il singolo treno è ottenuta dall'intersezione della larghezza di ripartizione data da normativa con il piedritto più vicino. Si ottiene una $L_d = 7.90 \text{ m}$

I carichi utilizzati sono riepilogati nella Tabella seguente:

Carico variabile verticale agente alla quota del piano medio della soletta inferiore agente su L_d	
LM71	$q_{v1} = 4 \cdot 250 \cdot 1.1 / 6.4 / L_d = 21.76 \text{ kN/m}^2$

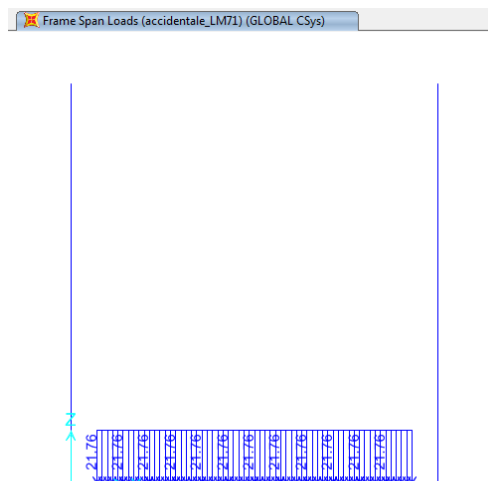


Figura 25 – Treno di carico LM71.

 ITALFERR GRUPPO FERROVIE DELLO STATO ITALIANE	DIRETTRICE FERROVIARIA MESSINA – CATANIA – PALERMO NUOVO COLLEGAMENTO PALERMO – CATANIA TRATTA LERCARA DIR. – CALTANISSETTA XIRBI (LOTTO 3) OPERE DI SOSTEGNO DI LINEA					
	MURI D'ALA VIADOTTI MU73 RELAZIONE DI CALCOLO	COMMESSA RS3T	LOTTO 30 D 78	CODIFICA CL	DOCUMENTO MU7300 001	REV. B

8.2.1.7 Incremento di spinta dovuta al carico accidentale

Il carico accidentale che transita internamente, produce sui piedritti una spinta orizzontale calcolata come segue:

Spinta statica dovuta al treno LM71	
q_{v1}	21.76 kN/m ²
k_0	0.38
Δp_d	8.36 kN/m ²

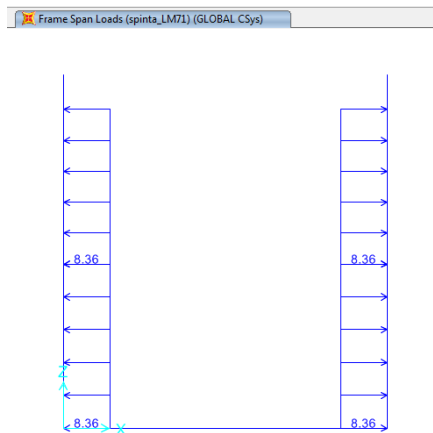


Figura 26 – Spinta del treno di carico LM71.

8.2.1.8 Azione sismica

L'azione sismica agente sulle masse strutturali è stata considerata con un approccio di tipo pseudo-statico. Esso consente di rappresentare il sisma mediante una forza statica equivalente pari al prodotto delle forze di gravità per un opportuno coefficiente sismico k . Le forze sismiche sono pertanto:

$$F_h = k_h \cdot W$$

$$F_v = k_v \cdot W$$

con k_h e k_v , rispettivamente, coefficiente sismico orizzontale e verticale, pari a

$$k_h = \beta_m \cdot a_{max}/g \text{ coefficiente sismico orizzontale}$$

$$k_v = \pm 0.5 \cdot k_h \text{ coefficiente sismico verticale}$$

Nelle espressioni precedenti a_{max} rappresenta l'accelerazione orizzontale massima attesa al sito mentre β_m è il coefficiente di riduzione di tale accelerazione valutato in funzione della capacità dell'opera di subire spostamenti relativi rispetto al terreno. Per l'analisi della struttura in esame β_m è stato posto pari ad 1. L'accelerazione orizzontale massima è stata valutata con la relazione:

$$a_{max} = S \cdot a_g = S_S \cdot S_T \cdot a_g$$

 ITALFERR GRUPPO FERROVIE DELLO STATO ITALIANE	DIRETTRICE FERROVIARIA MESSINA – CATANIA – PALERMO NUOVO COLLEGAMENTO PALERMO – CATANIA TRATTA LERCARA DIR. – CALTANISSETTA XIRBI (LOTTO 3) OPERE DI SOSTEGNO DI LINEA					
	MURI D'ALA VIADOTTI MU73 RELAZIONE DI CALCOLO	COMMESSA RS3T	LOTTO 30 D 78	CODIFICA CL	DOCUMENTO MU7300 001	REV. B

in cui a_g è l'accelerazione orizzontale massima attesa su sito di riferimento rigido e S un coefficiente che comprende l'effetto dell'amplificazione stratigrafica (S_s) e dell'amplificazione topografica (S_T).

Gli effetti dell'azione sismica sono stati valutati tenendo conto, della massa associata al peso proprio e delle masse associate al carico permanente.

Inoltre, l'incremento di spinta dovuto al sisma è stato valutato utilizzando la teoria di Wood. Secondo tale teoria la risultante dell'incremento di spinta per effetto del sisma, su una parete di altezza H_s , viene determinato attraverso la relazione $\Delta S_E = (a_{max}/g) \cdot \gamma \cdot H_{tot}^2$ (H_{tot} = distanza p.c. – intradosso soletta inferiore).

a_g	0.107	g
S_s	1.50	
S_T	1	
a_{max}	0.156	g
β_m	1	
k_h	0.156	
k_v	0.078	

INERZIA ORIZZONTALE			
Piedritti			
$k_h \cdot W_{P1}$	4.68	kN/m ²	peso proprio s. 1.2 m
$k_h \cdot W_{P2}$	3.12	kN/m ²	peso proprio s. 0.8 m
$k_h \cdot W_{P3}$	1.56	kN/m ²	peso proprio s. 0.4 m
SOVRASPINTA SISMICA (WOOD)			
h_{tot}	8.52	m	altezza complessiva
Δp_d	26.58	kN/m ²	incremento di spinta

Frame Span Loads (sisma_orizzontale) (GLOBAL CSys)

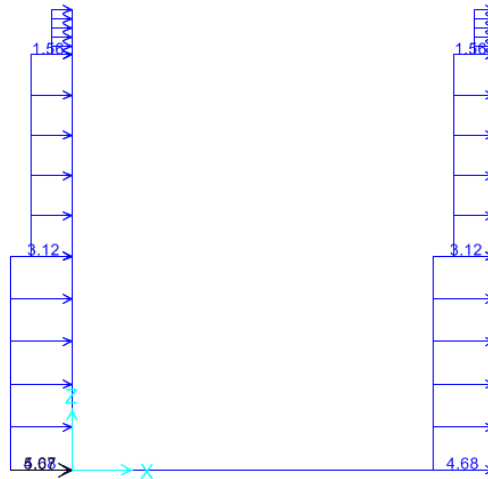


Figura 27 – Sisma orizzontale.

Frame Span Loads (sovraspinta_sismica) (GLOBAL CSys)

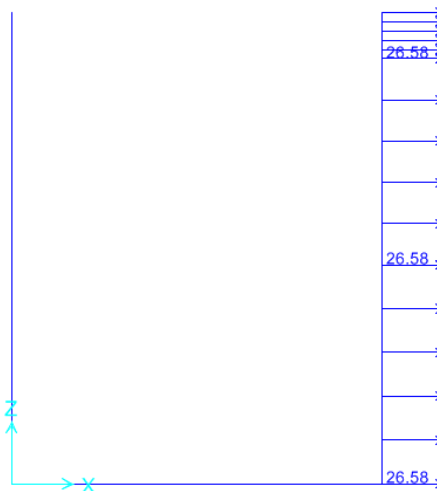


Figura 28 – Incremento di spinta dovuto al sisma.

 ITALFERR GRUPPO FERROVIE DELLO STATO ITALIANE	DIRETTRICE FERROVIARIA MESSINA – CATANIA – PALERMO NUOVO COLLEGAMENTO PALERMO – CATANIA TRATTA LERCARA DIR. – CALTANISSETTA XIRBI (LOTTO 3) OPERE DI SOSTEGNO DI LINEA					
	MURI D'ALA VIADOTTI MU73 RELAZIONE DI CALCOLO	COMMESSA RS3T	LOTTO 30 D 78	CODIFICA CL	DOCUMENTO MU7300 001	REV. B

8.2.2 Combinazioni di calcolo

Ai fini delle verifiche degli stati limite si è fatto riferimento alle seguenti combinazioni delle azioni.

Combinazione fondamentale, generalmente impiegata per gli stati limite ultimi (SLU):

$$\gamma_{G1} \cdot G_1 + \gamma_{G2} \cdot G_2 + \gamma_P \cdot P + \gamma_{Q1} \cdot Q_{k1} + \gamma_{Q2} \cdot \psi_{02} \cdot Q_{k2} + \gamma_{Q3} \cdot \psi_{03} \cdot Q_{k3} + \dots$$

Combinazione caratteristica (rara), generalmente impiegata per gli stati limite di esercizio (SLE) irreversibili:

$$G_1 + G_2 + P + Q_{k1} + \psi_{02} \cdot Q_{k2} + \psi_{03} \cdot Q_{k3} + \dots$$

Combinazione frequente, generalmente impiegata per gli stati limite di esercizio (SLE) reversibili, utilizzata nella verifica a Fessurazione:

$$G_1 + G_2 + P + \psi_{11} \cdot Q_{k1} + \psi_{22} \cdot Q_{k2} + \psi_{23} \cdot Q_{k3} + \dots$$

Combinazione quasi permanente, generalmente impiegata per gli stati limite di esercizio (SLE) a lungo termine;

$$G_1 + G_2 + P + \psi_{21} \cdot Q_{k1} + \psi_{22} \cdot Q_{k2} + \psi_{23} \cdot Q_{k3} + \dots$$

Combinazione sismica, impiegata per gli stati limite ultimi e di esercizio connessi all'azione sismica E:

$$E + G_1 + G_2 + P + \psi_{21} \cdot Q_{k1} + \psi_{22} \cdot Q_{k2} + \dots$$

dove:

$$E = \pm 1.00 \times E_Y \pm 0.3 \times E_Z$$

avendo indicato con E_Y e E_Z rispettivamente le componenti orizzontale e verticale dell'azione sismica.

Le azioni impiegate nella definizione delle combinazioni di carico sono riepilogate nelle tabelle seguenti:

azione	Load Case Name
peso proprio	DEAD
carichi permanenti sulla soletta inferiore	perm_sol_inf
ballast	ballast
Incremento di spinta sul piedritto sinistro dovuta al ballast	Ballast_H
spinta a riposo del terreno sul piedritto sinistro	spinta_sx_k0
spinta a riposo del terreno sul piedritto destro	spinta_dx_k0
incremento di spinta dovuta al carico accidentale sui piedritti	spinta_LM71
azione verticale dovuta al sovraccarico ferroviario agente su tutta la soletta inferiore	Accidentale_LM71
azione sismica orizzontale dovuta al peso proprio e ai carichi permanenti	sisma_orizzontale
incremento di spinta sul piedritto sinistro dovuto al sisma	sovraspinta_sismica

Figura 29 – Riepilogo carichi.

combinazioni di carico agli SLU in condizioni statiche								
	slu1	slu2	slu3	slu4	slu5	slu6	slu7	slu8
DEAD	1	1.35	1.35	1.35	1.35	1	1.35	1
per_sol_inf	1	1.35	1.35	1.35	1.35	1.35	1	1.35
ballast	1	1.5	1.5	1.5	1.5	1.5	1	1.5
Ballast_H	1	1.5	1.5	1.5	1.5	1.5	1	1.5
spinta_sx_k0	1.35	1.35	1	1	1.35	1	1.35	1.35
spinta_dx_k0	1.35	1.35	1	1	1.35	1	1.35	1
spinta_LM71	1.45	1.45	1.45	0	0	1.45	1.45	1.45
accidentale_LM71	1.45	1.45	1.45	0	0	1.45	1.45	1.45

Figura 30 – Combinazioni di carico agli SLU in condizioni statiche (1/2).

Combinazioni di carico agli SLU in condizioni statiche						
	slu9	slu10	slu11	slu12	slu13	slu14
DEAD	1	1.35	1.35	1	1.35	1.35
per_sol_inf	1	1.35	1	1.35	1	1
ballast	1.5	1.5	1.5	1.5	1.5	1.5
Ballast_H	1.5	1.5	1.5	1.5	1.5	1.5
spinta_sx_k0	1.35	1.35	1.35	1.35	1.35	1.35
spinta_dx_k0	1	1	1	1	1	1
spinta_LM71	1.45	1.45	1.45	1.45	1.45	0
accidentale_LM71	1.45	1.45	1.45	1.45	1.45	0

Figura 31– Combinazioni di carico agli SLU in condizioni statiche (2/2).

Combinazioni di carico agli SLV			
	sis1	sis2	sis3
DEAD	1	1	1
per_sol_inf	1	1	1
ballast	1	1	1
Ballast_H	1	1	1
spinta_sx_k0	1	1	1
spinta_dx_k0	1	1	1
spinta_LM71	0	0	0.2
accidentale_LM71	0	0	0.2
sisma_orizzontale	1	0.3	1
sovraspinta_sismica	1	0.3	1

Figura 32 – Combinazioni di carico agli SLV

 ITALFERR GRUPPO FERROVIE DELLO STATO ITALIANE	DIRETTRICE FERROVIARIA MESSINA – CATANIA – PALERMO NUOVO COLLEGAMENTO PALERMO – CATANIA TRATTA LERCARA DIR. – CALTANISSETTA XIRBI (LOTTO 3) OPERE DI SOSTEGNO DI LINEA					
	MURI D'ALA VIADOTTI MU73 RELAZIONE DI CALCOLO	COMMESSA RS3T	LOTTO 30 D 78	CODIFICA CL	DOCUMENTO MU7300 001	REV. B

Combinazioni di carico agli SLE			
	rar1	fre1	qpe
DEAD	1	1	1
per_sol_inf	1	1	1
ballast	1	1	1
Ballast_H	1	1	1
spinta_sx_k0	1	1	1
spinta_dx_k0	1	1	1
spinta_LM71	1	0.8	0
Accidentale_LM71	1	0.8	0

Figura 33 – Combinazioni di carico agli SLE.

8.3 Risultati e verifiche

Nelle immagini a seguire si riportano i digrammi di involuppo delle sollecitazioni per gli stati limite ultimi statici e sismici e per gli stati limite d'esercizio.

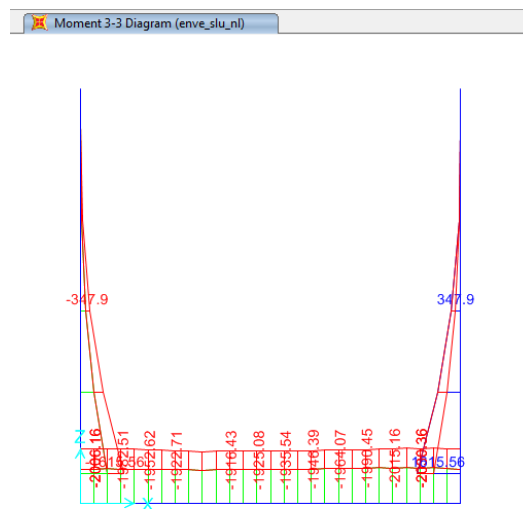


Figura 34 – Momento flettente enve-SLU.

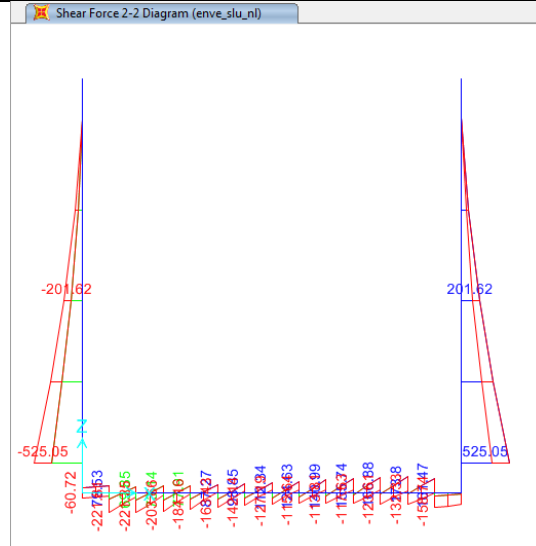


Figura 35 – Taglio enve-SLU.

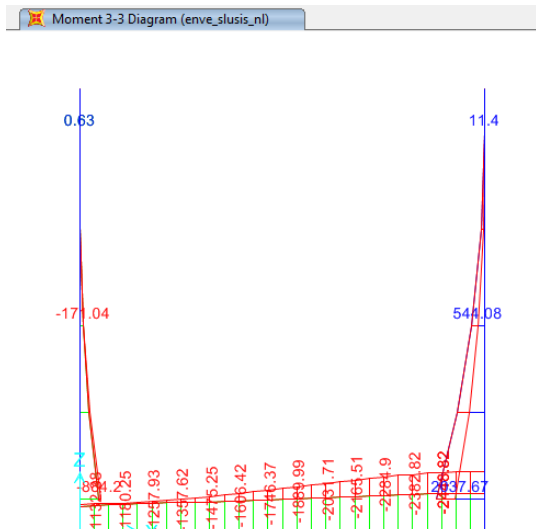


Figura 36 – Momento flettente enve-SLV.

8.3.1 Verifica piedritto ($s = 1.2 \text{ m}$)

Nelle tabelle seguenti si riportano le sollecitazioni massime derivanti dalle analisi utilizzate nelle successive verifiche.

SLV		P	V2	M3	Frame	Station	OutputCase
		KN	KN	KN-m	Text	m	Text
M3	max	-196.94	584.86	2037.67	108	0.65	sis3_nl
M3	min	-196.94	-306.27	-884.20	32	0.65	sis2_nl
V2	max	-196.94	584.86	2037.67	108	0.65	sis3_nl
V2	min	-196.94	-306.27	-884.20	32	0.65	sis2_nl
P	max	-88.97	-96.82	-149.19	32	4.25	sis1_nl
P	min	-196.94	-284.76	-806.14	32	0.65	sis1_nl

SLU		P	V2	M3	Frame	Station	OutputCase
		KN	KN	KN-m	Text	m	Text
M3	max	-265.87	525.05	1615.56	108	0.65	slu2_nl
M3	min	-265.87	-525.05	-1615.56	32	0.65	slu2_nl
V2	max	-265.87	525.05	1615.56	108	0.65	slu2_nl
V2	min	-265.87	-525.05	-1615.56	32	0.65	slu2_nl
P	max	-88.97	-189.32	-323.30	32	4.25	slu1_nl
P	min	-265.87	-525.05	-1615.56	32	0.65	slu2_nl

SLE - RARA		P	V2	M3	Frame	Station	OutputCase
		KN	KN	KN-m	Text	m	Text
M3	max	-196.94	379.03	1159.10	108	0.65	rar1_nl
M3	min	-196.94	-379.03	-1159.10	32	0.65	rar1_nl
V2	max	-196.94	379.03	1159.10	108	0.65	rar1_nl
V2	min	-196.94	-379.03	-1159.10	32	0.65	rar1_nl
P	max	-88.97	-144.14	-247.28	32	4.25	rar1_nl
P	min	-196.94	-379.03	-1159.10	32	0.65	rar1_nl

SLE - FREQUENTE		P	V2	M3	Frame	Station	OutputCase
		KN	KN	KN-m	Text	m	Text
M3	max	-196.94	366.32	1110.81	108	0.65	fre1_nl
M3	min	-196.94	-366.32	-1110.81	32	0.65	fre1_nl
V2	max	-196.94	366.32	1110.81	108	0.65	fre1_nl
V2	min	-196.94	-366.32	-1110.81	32	0.65	fre1_nl
P	max	-88.97	-137.45	-233.90	32	4.25	fre1_nl
P	min	-196.94	-366.32	-1110.81	32	0.65	fre1_nl

SLE - Q.P.		P	V2	M3	Frame	Station	OutputCase
		KN	KN	KN-m	Text	m	Text
M3	max	-196.94	315.49	917.66	108	0.65	qpe1_nl
M3	min	-196.94	-315.49	-917.66	32	0.65	qpe1_nl
V2	max	-196.94	315.49	917.66	108	0.65	qpe1_nl
V2	min	-196.94	-315.49	-917.66	32	0.65	qpe1_nl
P	max	-88.97	-110.70	-180.40	32	4.25	qpe1_nl
P	min	-196.94	-315.49	-917.66	32	0.65	qpe1_nl

Si riassume di seguito l'armatura adottata.

As = 15Φ26

As' = 15Φ26

Staffe : Φ14/20

La sezione risulta verificata con l'armatura prevista.

8.3.1.1 Verifica in condizioni statiche

DATI GENERALI SEZIONE GENERICA IN C.A.

Descrizione Sezione:	
Metodo di calcolo resistenza:	Resistenze agli Stati Limite Ultimi
Tipologia sezione:	Sezione generica di Trave di fondazione in combinazione sismica
Normativa di riferimento:	N.T.C.
Percorso sollecitazione:	A Sforzo Norm. costante
Condizioni Ambientali:	Moderat. aggressive
Riferimento Sforzi assegnati:	Assi x,y principali d'inerzia
Riferimento alla sismicità:	Zona non sismica

CARATTERISTICHE DI RESISTENZA DEI MATERIALI IMPIEGATI

CALCESTRUZZO -	Classe:	C32/40
	Resis. compr. di progetto fcd:	181.30 daN/cm ²
	Resis. compr. ridotta fcd':	90.65 daN/cm ²
	Def.unit. max resistenza ec2:	0.0020
	Def.unit. ultima ecu:	0.0035
	Diagramma tensione-deformaz.:	Parabola-Rettangolo
	Modulo Elastico Normale Ec:	333458 daN/cm ²
	Resis. media a trazione fctm:	30.23 daN/cm ²
	Coeff. Omogen. S.L.E.:	15.00
	Sc limite S.L.E. comb. Rare:	176.00 daN/cm ²
	Sc limite S.L.E. comb. Frequenti:	176.00 daN/cm ²
	Ap.Fessure limite S.L.E. comb. Frequenti:	0.200 mm
	Sc limite S.L.E. comb. Q.Permanenti:	128.00 daN/cm ²
	Ap.Fess.limite S.L.E. comb. Q.Perm.:	0.200 mm
ACCIAIO -	Tipo:	B450C
	Resist. caratt. snervam. fyk:	4500.0 daN/cm ²
	Resist. caratt. rottura ftk:	4500.0 daN/cm ²

MURI D'ALA VIADOTTI MU73
RELAZIONE DI CALCOLO

COMMESSA	LOTTO	CODIFICA	DOCUMENTO	REV.	FOGLIO
RS3T	30 D 78	CL	MU7300 001	B	37 di 110

Resist. snerv. di progetto fyd:	3913.0	daN/cm ²
Resist. ultima di progetto ftd:	3913.0	daN/cm ²
Deform. ultima di progetto Epu:	0.068	
Modulo Elastico Ef	2000000	daN/cm ²
Diagramma tensione-deformaz.:	Bilineare finito	
Coeff. Aderenza istantaneo $\beta_1 * \beta_2$:	1.00	
Coeff. Aderenza differito $\beta_1 * \beta_2$:	0.50	
Sf limite S.L.E. Comb. Rare:	3375.0	daN/cm ²

CARATTERISTICHE DOMINIO CONGLOMERATO

Forma del Dominio: Poligonale
Classe Conglomerato: C32/40

N° vertice:	X [cm]	Y [cm]
1	-50.0	0.0
2	-50.0	120.0
3	50.0	120.0
4	50.0	0.0

DATI BARRE ISOLATE

N° Barra	X [cm]	Y [cm]	DiamØ [mm]
1	-45.0	9.3	26
2	-45.0	110.7	26
3	45.0	110.7	26
4	45.0	9.3	26
5	-40.0	14.5	26
6	40.0	14.5	26
7	-40.0	105.5	26
8	40.0	105.5	26

DATI GENERAZIONI LINEARI DI BARRE

N° Gen. Numero assegnato alla singola generazione lineare di barre
N° Barra Ini. Numero della barra iniziale cui si riferisce la generazione
N° Barra Fin. Numero della barra finale cui si riferisce la generazione
N° Barre Numero di barre generate equidistanti cui si riferisce la generazione
Ø Diametro in mm delle barre della generazione

N° Gen.	N° Barra Ini.	N° Barra Fin.	N° Barre	Ø
1	1	4	8	26
2	2	3	8	26
3	5	6	3	26
4	7	8	3	26

ARMATURE A TAGLIO

Diametro staffe: 14 mm
Passo staffe: 20.0 cm
Staffe: Una sola staffa chiusa perimetrale

CALCOLO DI RESISTENZA - SFORZI PER OGNI COMBINAZIONE ASSEGNATA

N Sforzo normale in daN applicato nel Baric. (+ se di compressione)
Mx Momento flettente [daNm] intorno all'asse x princ. d'inerzia
con verso positivo se tale da comprimere il lembo sup. della sez.
My Momento flettente [daNm] intorno all'asse y princ. d'inerzia
con verso positivo se tale da comprimere il lembo destro della sez.
Vy Componente del Taglio [daN] parallela all'asse princ. d'inerzia y

MURI D'ALA VIADOTTI MU73
 RELAZIONE DI CALCOLO

COMMESSA	LOTTO	CODIFICA	DOCUMENTO	REV.	FOGLIO
RS3T	30 D 78	CL	MU7300 001	B	38 di 110

Vx Componente del Taglio [daN] parallela all'asse princ.d'inerzia x

N°Comb.	N	Mx	My	Vy	Vx
1	26587	161556	0	52505	0
2	26587	-161556	0	-52505	0
3	0	0	0	0	0

COMB. RARE (S.L.E.) - SFORZI PER OGNI COMBINAZIONE ASSEGNATA

N Sforzo normale in daN applicato nel Baricentro (+ se di compressione)
 Mx Momento flettente [daNm] intorno all'asse x princ. d'inerzia (tra parentesi Mom.Fessurazione)
 con verso positivo se tale da comprimere il lembo superiore della sezione
 My Momento flettente [daNm] intorno all'asse y princ. d'inerzia (tra parentesi Mom.Fessurazione)
 con verso positivo se tale da comprimere il lembo destro della sezione

N°Comb.	N	Mx	My
1	19694	115910	0
2	19694	-115910	0
3	0	0	0

COMB. FREQUENTI (S.L.E.) - SFORZI PER OGNI COMBINAZIONE ASSEGNATA

N Sforzo normale in daN applicato nel Baricentro (+ se di compressione)
 Mx Momento flettente [daNm] intorno all'asse x princ. d'inerzia (tra parentesi Mom.Fessurazione)
 con verso positivo se tale da comprimere il lembo superiore della sezione
 My Momento flettente [daNm] intorno all'asse y princ. d'inerzia (tra parentesi Mom.Fessurazione)
 con verso positivo se tale da comprimere il lembo destro della sezione

N°Comb.	N	Mx	My
1	19694	111081 (105866)	0 (0)
2	19694	-111081 (-105866)	0 (0)
3	0	0 (-110085)	0 (0)

COMB. QUASI PERMANENTI (S.L.E.) - SFORZI PER OGNI COMBINAZIONE ASSEGNATA

N Sforzo normale in daN applicato nel Baricentro (+ se di compressione)
 Mx Momento flettente [daNm] intorno all'asse x princ. d'inerzia (tra parentesi Mom.Fessurazione)
 con verso positivo se tale da comprimere il lembo superiore della sezione
 My Momento flettente [daNm] intorno all'asse y princ. d'inerzia (tra parentesi Mom.Fessurazione)
 con verso positivo se tale da comprimere il lembo destro della sezione

N°Comb.	N	Mx	My
1	19694	91766 (106836)	0 (0)
2	19694	-91766 (-106836)	0 (0)
3	0	0 (-109896)	0 (0)

RISULTATI DEL CALCOLO
Sezione verificata per tutte le combinazioni assegnate

Copriferro netto minimo barre longitudinali: 3.7 cm
 Interferro netto minimo barre longitudinali: 4.6 cm
 Copriferro netto minimo staffe: 2.3 cm

VERIFICHE DI RESISTENZA IN PRESSO-TENSO FLESSIONE ALLO STATO LIMITE ULTIMO

Ver S = combinazione verificata / N = combin. non verificata
 N Sn Sforzo normale assegnato [daN] nel baricentro sezione cls. (positivo se di compressione)
 Mx Sn Componente momento assegnato [daNm] riferito all'asse x princ. d'inerzia
 My Sn Componente momento assegnato [daNm] riferito all'asse y princ. d'inerzia
 N Res Sforzo normale resistente [daN] baricentrico (positivo se di compress.)
 Mx Res Momento flettente resistente [daNm] riferito all'asse x princ. d'inerzia

MURI D'ALA VIADOTTI MU73
RELAZIONE DI CALCOLO

COMMESSA	LOTTO	CODIFICA	DOCUMENTO	REV.	FOGLIO
RS3T	30 D 78	CL	MU7300 001	B	39 di 110

My res Momento flettente resistente [daNm] riferito all'asse y princ. d'inerzia
 Mis.Sic. Misura sicurezza = rapporto vettoriale tra (N r, Mx Res, My Res) e (N, Mx, My)
 Verifica positiva se tale rapporto risulta ≥ 1.000
 As Tesa Area armature trave [cm²] in zona tesa. [Tra parentesi l'area minima ex § 7.2.6 NTC]

N°Comb	Ver	N	Mx	My	N Res	Mx Res	My Res	Mis.Sic.	As Tesa
1	S	26587	161556	0	26613	331227	0	2.05	79.6(24.0)
2	S	26587	-161556	0	26613	-331227	0	2.05	79.6(24.0)
3	S	0	0	0	0	318351	0	999.00	79.6(24.0)

METODO AGLI STATI LIMITE ULTIMI - DEFORMAZIONI UNITARIE ALLO STATO ULTIMO

ec max Deform. unit. massima del conglomerato a compressione
 x/d Rapporto di duttilità [§ 4.1.2.1.2.1 NTC] deve essere < 0.45
 Xc max Ascissa in cm della fibra corrisp. a ec max (sistema rif. X,Y,O sez.)
 Yc max Ordinata in cm della fibra corrisp. a ec max (sistema rif. X,Y,O sez.)
 es min Deform. unit. minima nell'acciaio (negativa se di trazione)
 Xs min Ascissa in cm della barra corrisp. a es min (sistema rif. X,Y,O sez.)
 Ys min Ordinata in cm della barra corrisp. a es min (sistema rif. X,Y,O sez.)
 es max Deform. unit. massima nell'acciaio (positiva se di compress.)
 Xs max Ascissa in cm della barra corrisp. a es max (sistema rif. X,Y,O sez.)
 Ys max Ordinata in cm della barra corrisp. a es max (sistema rif. X,Y,O sez.)

N°Comb	ec max	x/d	Xc max	Yc max	es min	Xs min	Ys min	es max	Xs max	Ys max
1	0.00350	0.129	-50.0	120.0	0.00123	-45.0	110.7	-0.02355	-45.0	9.3
2	0.00350	0.129	-50.0	0.0	0.00123	-45.0	9.3	-0.02355	-45.0	110.7
3	0.00350	0.124	-50.0	120.0	0.00113	-45.0	110.7	-0.02469	-45.0	9.3

POSIZIONE ASSE NEUTRO PER OGNI COMB. DI RESISTENZA

a, b, c Coeff. a, b, c nell'eq. dell'asse neutro $aX+bY+c=0$ nel rif. X,Y,O gen.
 x/d Rapp. di duttilità (travi e solette)[§ 4.1.2.1.2.1 NTC]: deve essere < 0.45
 C.Rid. Coeff. di riduz. momenti per sola flessione in travi continue

N°Comb	a	b	c	x/d	C.Rid.
1	0.000000000	0.000244358	-0.025822974	0.129	0.700
2	0.000000000	-0.000244358	0.003500000	0.129	0.700
3	0.000000000	0.000254634	-0.027056056	0.124	0.700

VERIFICHE A TAGLIO

Diam. Staffe: 14 mm
 Passo staffe: 20.0 cm [Passo massimo di normativa = 33.0 cm]

Ver S = comb. verificata a taglio / N = comb. non verificata
 Ved Taglio di progetto [daN] = proiezione di Vx e Vy sulla normale all'asse neutro
 Vcd Taglio compressione resistente [daN] lato conglomerato [formula (4.1.28)NTC]
 Vvd Taglio resistente [daN] assorbito dalle staffe
 Dmed Altezza utile media pesata [cm] valutata lungo strisce ortog. all'asse neutro.
 Vengono prese nella media le strisce con almeno un estremo compresso.
 I pesi della media sono costituiti dalle stesse lunghezze delle strisce.
 bw Larghezza media resistente a taglio [cm] misurate parallel. all'asse neutro
 E' data dal rapporto tra l'area delle sopradette strisce resistenti e Dmed.
 Ctg Cotangente dell'angolo di inclinazione dei puntoni di conglomerato
 Acw Coefficiente maggiorativo della resistenza a taglio per compressione
 Ast Area staffe+legature strettam. necessarie a taglio per metro di pil.[cm²/m]
 A.Eff Area staffe+legature efficaci nella direzione del taglio di combinaz.[cm²/m]
 Tra parentesi è indicata la quota dell'area relativa alle sole legature.
 L'area della legatura è ridotta col fattore L/d_max con L=lungh.legat.proietta-
 ta sulla direz. del taglio e d_max= massima altezza utile nella direz.del taglio.

N°Comb	Ver	Ved	Vcd	Vvd	Dmed	bw	Ctg	Acw	Ast	A.Eff
--------	-----	-----	-----	-----	------	----	-----	-----	-----	-------

MURI D'ALA VIADOTTI MU73
RELAZIONE DI CALCOLO

COMMESSA	LOTTO	CODIFICA	DOCUMENTO	REV.	FOGLIO
RS3T	30 D 78	CL	MU7300 001	B	40 di 110

1	S	52505	315235	150033	110.7	100.0	2.500	1.012	5.4	15.4(0.0)
2	S	52505	315235	150033	110.7	100.0	2.500	1.012	5.4	15.4(0.0)
3	S	0	451573	60013	110.7	100.0	1.000	1.000	0.0	15.4(0.0)

COMBINAZIONI RARE IN ESERCIZIO - MASSIME TENSIONI NORMALI ED APERTURA FESSURE (NTC/EC2)

Ver	S = comb. verificata/ N = comb. non verificata
Sc max	Massima tensione (positiva se di compressione) nel conglomerato [daN/cm ²]
Xc max, Yc max	Ascissa, Ordinata [cm] del punto corrisp. a Sc max (sistema rif. X,Y,O)
Sf min	Minima tensione (negativa se di trazione) nell'acciaio [daN/cm ²]
Xs min, Ys min	Ascissa, Ordinata [cm] della barra corrisp. a Sf min (sistema rif. X,Y,O)
Ac eff.	Area di calcestruzzo [cm ²] in zona tesa considerata aderente alle barre
As eff.	Area barre [cm ²] in zona tesa considerate efficaci per l'apertura delle fessure

N°Comb	Ver	Sc max	Xc max	Yc max	Sf min	Xs min	Ys min	Ac eff.	As eff.
1	S	47.8	-50.0	120.0	-1409	35.0	9.3	2750	79.6
2	S	47.8	-50.0	0.0	-1409	35.0	110.7	2750	79.6
3	S	39.5	-50.0	0.0	-1515	-35.0	120.6	2950	90.5

COMBINAZIONI RARE IN ESERCIZIO - APERTURA FESSURE [§ 7.3.4 EC2]

Ver.	La sezione viene assunta sempre fessurata anche nel caso in cui la trazione minima del calcestruzzo sia inferiore a fctm Esito della verifica
e1	Massima deformazione unitaria di trazione nel calcestruzzo (trazione -) valutata in sezione fessurata
e2	Minima deformazione unitaria di trazione nel calcestruzzo (trazione -) valutata in sezione fessurata
k1	= 0.8 per barre ad aderenza migliorata [eq.(7.11)EC2]
kt	= 0.4 per comb. quasi permanenti / = 0.6 per comb.frequenti [cfr. eq.(7.9)EC2]
k2	= 0.5 per flessione; =(e1 + e2)/(2*e1) per trazione eccentrica [eq.(7.13)EC2]
k3	= 3.400 Coeff. in eq.(7.11) come da annessi nazionali
k4	= 0.425 Coeff. in eq.(7.11) come da annessi nazionali
Ø	Diametro [mm] equivalente delle barre tese comprese nell'area efficace Ac eff [eq.(7.11)EC2]
Cf	Copri ferro [mm] netto calcolato con riferimento alla barra più tesa
e sm - e cm	Differenza tra le deformazioni medie di acciaio e calcestruzzo [(7.8)EC2 e (C4.1.7)NTC] Tra parentesi: valore minimo = 0.6 Smax / Es [(7.9)EC2 e (C4.1.8)NTC]
sr max	Massima distanza tra le fessure [mm]
wk	Apertura fessure in mm calcolata = sr max*(e_sm - e_cm) [(7.8)EC2 e (C4.1.7)NTC]. Valore limite tra parentesi
Mx fess.	Componente momento di prima fessurazione intorno all'asse X [daNm]
My fess.	Componente momento di prima fessurazione intorno all'asse Y [daNm]

Comb.	Ver	e1	e2	k2	Ø	Cf	e sm - e cm	sr max	wk	Mx fess	My fess
1	S	-0.00079	0	0.500	26.0	80	0.00042 (0.00042)	425 0.180 (990.00)	105676	0	
2	S	-0.00079	0	0.500	26.0	80	0.00042 (0.00042)	425 0.180 (990.00)	-105676	0	
3	S	-0.00084	0	0.500	24.0	82	0.00045 (0.00045)	412 0.187 (990.00)	-110124	0	

COMBINAZIONI FREQUENTI IN ESERCIZIO - MASSIME TENSIONI NORMALI ED APERTURA FESSURE (NTC/EC2)

N°Comb	Ver	Sc max	Xc max	Yc max	Sf min	Xs min	Ys min	Ac eff.	As eff.
1	S	45.8	-50.0	120.0	-1346	15.0	9.3	2750	79.6
2	S	45.8	50.0	0.0	-1346	35.0	110.7	2750	79.6
3	S	37.9	-50.0	0.0	-1457	-35.0	120.6	2950	90.5

COMBINAZIONI FREQUENTI IN ESERCIZIO - APERTURA FESSURE [§ 7.3.4 EC2]

Comb.	Ver	e1	e2	k2	Ø	Cf	e sm - e cm	sr max	wk	Mx fess	My fess
1	S	-0.00076	0	0.500	26.0	80	0.00040 (0.00040)	425 0.171 (0.20)	105866	0	
2	S	-0.00076	0	0.500	26.0	80	0.00040 (0.00040)	425 0.171 (0.20)	-105866	0	
3	S	-0.00081	0	0.500	24.0	82	0.00044 (0.00044)	412 0.180 (0.20)	-110085	0	

COMBINAZIONI QUASI PERMANENTI IN ESERCIZIO - MASSIME TENSIONI NORMALI ED APERTURA FESSURE (NTC/EC2)

N°Comb	Ver	Sc max	Xc max	Yc max	Sf min	Xs min	Ys min	Ac eff.	As eff.
--------	-----	--------	--------	--------	--------	--------	--------	---------	---------

MURI D'ALA VIADOTTI MU73
 RELAZIONE DI CALCOLO

COMMESSA	LOTTO	CODIFICA	DOCUMENTO	REV.	FOGLIO
RS3T	30 D 78	CL	MU7300 001	B	41 di 110

1	S	38.1	-50.0	120.0	-1092	15.0	9.3	2750	79.6
2	S	38.1	50.0	0.0	-1092	35.0	110.7	2750	79.6
3	S	31.7	-50.0	0.0	-1226	-35.0	120.6	2950	90.5

COMBINAZIONI QUASI PERMANENTI IN ESERCIZIO - APERTURA FESSURE [§ 7.3.4 EC2]

Comb.	Ver	e1	e2	k2	Ø	Cf	e sm - e cm	sr max	wk	Mx fess	My fess
1	S	-0.00062	0	0.500	26.0	80	0.00033 (0.00033)	425	0.139 (0.20)	106836	0
2	S	-0.00062	0	0.500	26.0	80	0.00033 (0.00033)	425	0.139 (0.20)	-106836	0
3	S	-0.00068	0	0.500	24.0	82	0.00038 (0.00037)	412	0.156 (0.20)	-109896	0

8.3.1.2 Verifica in condizioni sismiche
DATI GENERALI SEZIONE GENERICA NON DISSIPATIVA IN C.A.

Descrizione Sezione:
 Metodo di calcolo resistenza: Resistenze in campo sostanzialmente elastico
 Tipologia sezione: Sezione generica di Trave di fondazione in combinazione sismica
 Normativa di riferimento: N.T.C.
 Percorso sollecitazione: A Sforzo Norm. costante
 Riferimento Sforzi assegnati: Assi x,y principali d'inerzia
 Riferimento alla sismicità: Zona non sismica

CARATTERISTICHE DI RESISTENZA DEI MATERIALI IMPIEGATI

CALCESTRUZZO - Classe: C32/40
 Resis. compr. di progetto fcd: 181.30 daN/cm²
 Resis. compr. ridotta fcd': 90.65 daN/cm²
 Def.unit. max resistenza ec2: 0.0020
 Def.unit. ultima ecu: 0.0035
 Diagramma tensione-deformaz.: Parabola-Rettangolo
 Modulo Elastico Normale Ec: 333458 daN/cm²
 Resis. media a trazione fctm: 30.00 daN/cm²

ACCIAIO - Tipo: B450C
 Resist. caratt. snervam. fyk: 4500.0 daN/cm²
 Resist. caratt. rottura ftk: 4500.0 daN/cm²
 Resist. snerv. di progetto fyd: 3913.0 daN/cm²
 Resist. ultima di progetto ftd: 3913.0 daN/cm²
 Deform. ultima di progetto Epu: 0.068
 Modulo Elastico Ef: 2000000 daN/cm²
 Diagramma tensione-deformaz.: Bilineare finito

CARATTERISTICHE DOMINIO CONGLOMERATO

Forma del Dominio: Poligonale
 Classe Conglomerato: C32/40

N°vertice:	X [cm]	Y [cm]
1	-50.0	0.0
2	-50.0	120.0
3	50.0	120.0
4	50.0	0.0

DATI BARRE ISOLATE

N°Barra	X [cm]	Y [cm]	DiamØ[mm]
---------	--------	--------	-----------

MURI D'ALA VIADOTTI MU73
RELAZIONE DI CALCOLO

COMMESSA	LOTTO	CODIFICA	DOCUMENTO	REV.	FOGLIO
RS3T	30 D 78	CL	MU7300 001	B	42 di 110

1	-45.0	9.3	26
2	-45.0	110.7	26
3	45.0	110.7	26
4	45.0	9.3	26
5	-40.0	14.5	26
6	40.0	14.5	26
7	-40.0	105.5	26
8	40.0	105.5	26

DATI GENERAZIONI LINEARI DI BARRE

N°Gen.	Numero assegnato alla singola generazione lineare di barre
N°Barra Ini.	Numero della barra iniziale cui si riferisce la generazione
N°Barra Fin.	Numero della barra finale cui si riferisce la generazione
N°Barre	Numero di barre generate equidistanti cui si riferisce la generazione
Ø	Diametro in mm delle barre della generazione

N°Gen.	N°Barra Ini.	N°Barra Fin.	N°Barre	Ø
1	1	4	8	26
2	2	3	8	26
3	5	6	3	26
4	7	8	3	26

ARMATURE A TAGLIO

Diametro staffe:	14	mm
Passo staffe:	20.0	cm
Staffe:	Una sola staffa chiusa perimetrale	

CALCOLO DI RESISTENZA - SFORZI PER OGNI COMBINAZIONE ASSEGNATA

N	Sforzo normale in daN applicato nel Baric. (+ se di compressione)
Mx	Momento flettente [daNm] intorno all'asse x princ. d'inerzia con verso positivo se tale da comprimere il lembo sup. della sez.
My	Momento flettente [daNm] intorno all'asse y princ. d'inerzia con verso positivo se tale da comprimere il lembo destro della sez.
Vy	Componente del Taglio [daN] parallela all'asse princ.d'inerzia y
Vx	Componente del Taglio [daN] parallela all'asse princ.d'inerzia x

N°Comb.	N	Mx	My	Vy	Vx
1	19694	203767	0	58486	0
2	19694	-88420	0	-30627	0
3	0	0	0	0	0
4	0	0	0	0	0

RISULTATI DEL CALCOLO

Sezione verificata per tutte le combinazioni assegnate

Copriferro netto minimo barre longitudinali:	3.7	cm
Interferro netto minimo barre longitudinali:	4.6	cm
Copriferro netto minimo staffe:	2.3	cm

VERIFICHE DI RESISTENZA IN PRESSO-TENSO FLESSIONE ALLO STATO LIMITE SOSTANZIALMENTE ELASTICO

Ver	S = combinazione verificata / N = combin. non verificata
N Sn	Sforzo normale assegnato [daN] nel baricentro sezione cls. (positivo se di compressione)
Mx Sn	Componente momento assegnato [daNm] riferito all'asse x princ. d'inerzia
My Sn	Componente momento assegnato [daNm] riferito all'asse y princ. d'inerzia
N Res	Sforzo normale resistente [daN] baricentrico (positivo se di compress.)
Mx Res	Momento flettente resistente [daNm] riferito all'asse x princ. d'inerzia

MURI D'ALA VIADOTTI MU73
RELAZIONE DI CALCOLO

COMMESSA	LOTTO	CODIFICA	DOCUMENTO	REV.	FOGLIO
RS3T	30 D 78	CL	MU7300 001	B	43 di 110

My res Momento flettente resistente [daNm] riferito all'asse y princ. d'inerzia
 Mis.Sic. Misura sicurezza = rapporto vettoriale tra (N r, Mx Res, My Res) e (N, Mx, My)
 Verifica positiva se tale rapporto risulta ≥ 1.000
 As Tesa Area armature trave [cm²] in zona tesa. [Tra parentesi l'area minima ex § 7.2.6 NTC]

N°Comb	Ver	N	Mx	My	N Res	Mx Res	My Res	Mis.Sic.	As Tesa
1	S	19694	203767	0	19722	306533	0	1.50	79.6(24.0)
2	S	19694	-88420	0	19722	-306533	0	3.47	79.6(24.0)
3	S	0	0	0	0	297873	0	999.00	79.6(24.0)
4	S	0	0	0	0	297873	0	999.00	79.6(24.0)

METODO AGLI STATI LIMITE IN CAMPO SOSTANZIALMENTE ELASTICO - DEFORMAZIONI UNITARIE ALLO STATO LIMITE

ec max Deform. unit. massima del conglomerato a compressione
 x/d Rapporto di duttilità [§ 4.1.2.1.2.1 NTC] deve essere < 0.45
 Xc max Ascissa in cm della fibra corrisp. a ec max (sistema rif. X, Y, O sez.)
 Yc max Ordinata in cm della fibra corrisp. a ec max (sistema rif. X, Y, O sez.)
 es min Deform. unit. minima nell'acciaio (negativa se di trazione)
 Xs min Ascissa in cm della barra corrisp. a es min (sistema rif. X, Y, O sez.)
 Ys min Ordinata in cm della barra corrisp. a es min (sistema rif. X, Y, O sez.)
 es max Deform. unit. massima nell'acciaio (positiva se di compress.)
 Xs max Ascissa in cm della barra corrisp. a es max (sistema rif. X, Y, O sez.)
 Ys max Ordinata in cm della barra corrisp. a es max (sistema rif. X, Y, O sez.)

N°Comb	ec max	x/d	Xc max	Yc max	es min	Xs min	Ys min	es max	Xs max	Ys max
1	0.00087	0.308	-50.0	120.0	0.00063	-45.0	110.7	-0.00196	-45.0	9.3
2	0.00087	0.308	-50.0	0.0	0.00063	-45.0	9.3	-0.00196	-45.0	110.7
3	0.00084	0.299	-50.0	120.0	0.00060	-45.0	110.7	-0.00196	-45.0	9.3
4	0.00084	0.299	-50.0	120.0	0.00060	-45.0	110.7	-0.00196	-45.0	9.3

POSIZIONE ASSE NEUTRO PER OGNI COMB. DI RESISTENZA

a, b, c Coeff. a, b, c nell'eq. dell'asse neutro $aX+bY+c=0$ nel rif. X, Y, O gen.
 x/d Rapp. di duttilità (travi e solette) [§ 4.1.2.1.2.1 NTC]: deve essere < 0.45
 C.Rid. Coeff. di riduz. momenti per sola flessione in travi continue

N°Comb	a	b	c	x/d	C.Rid.
1	0.000000000	0.000025547	-0.002194086	0.308	0.825
2	0.000000000	-0.000025547	0.000871538	0.308	0.825
3	0.000000000	0.000025221	-0.002191053	0.299	0.814
4	0.000000000	0.000025221	-0.002191053	0.299	0.814

VERIFICHE A TAGLIO

Diam. Staffe: 14 mm
 Passo staffe: 20.0 cm [Passo massimo di normativa = 33.0 cm]

Ver S = comb. verificata a taglio / N = comb. non verificata
 Ved Taglio di progetto [daN] = proiez. di Vx e Vy sulla normale all'asse neutro
 Vcd Taglio compressione resistente [daN] lato conglomerato [formula (4.1.28)NTC]
 Vwd Taglio resistente [daN] assorbito dalle staffe
 Dmed Altezza utile media pesata [cm] valutata lungo strisce ortog. all'asse neutro.
 Vengono prese nella media le strisce con almeno un estremo compresso.
 I pesi della media sono costituiti dalle stesse lunghezze delle strisce.
 bw Larghezza media resistente a taglio [cm] misurate parallel. all'asse neutro
 E' data dal rapporto tra l'area delle sopradette strisce resistenti e Dmed.
 Ctg Cotangente dell'angolo di inclinazione dei puntoni di conglomerato
 Acw Coefficiente maggiorativo della resistenza a taglio per compressione
 Ast Area staffe+legature strettam. necessarie a taglio per metro di pil.[cm²/m]
 A.Eff Area staffe+legature efficaci nella direzione del taglio di combinaz.[cm²/m]
 Tra parentesi è indicata la quota dell'area relativa alle sole legature.
 L'area della legatura è ridotta col fattore L/d_max con L=lungh.legat.proietta-
 ta sulla direz. del taglio e d_max= massima altezza utile nella direz.del taglio.



DIRETTRICE FERROVIARIA MESSINA – CATANIA – PALERMO
NUOVO COLLEGAMENTO PALERMO – CATANIA
TRATTA LERCARA DIR. – CALTANISSETTA XIRBI (LOTTO 3)
OPERE DI SOSTEGNO DI LINEA

MURI D'ALA VIADOTTI MU73
RELAZIONE DI CALCOLO

COMMESSA	LOTTO	CODIFICA	DOCUMENTO	REV.	FOGLIO
RS3T	30 D 78	CL	MU7300 001	B	44 di 110

N°Comb	Ver	Ved	Vcd	Vwd	Dmed	bw	Ctg	Acw	Ast	A.Eff
1	S	58486	314249	150033	110.7	100.0	2.500	1.009	6.0	15.4(0.0)
2	S	30627	314249	150033	110.7	100.0	2.500	1.009	3.1	15.4(0.0)
3	S	0	451573	60013	110.7	100.0	1.000	1.000	0.0	15.4(0.0)
4	S	0	451573	60013	110.7	100.0	1.000	1.000	0.0	15.4(0.0)

8.3.2 Verifica piedritto ($s = 0.8 m$)

Nelle tabelle seguenti si riportano le sollecitazioni massime derivanti dalle analisi utilizzate nelle successive verifiche.

SLV		P	V2	M3	Frame	Station	OutputCase
		KN	KN	KN-m	Text	m	Text
M3	max	-88.97	261.51	544.08	109	0.00	sis3_nl
M3	min	-88.97	-106.54	-171.04	33	0.00	sis2_nl
V2	max	-88.97	261.51	544.08	109	0.00	sis3_nl
V2	min	-88.97	-106.54	-171.04	33	0.00	sis2_nl
P	max	-9.00	1.40	0.63	33	4.00	sis1_nl
P	min	-88.97	-96.82	-149.19	33	0.00	sis1_nl

SLU		P	V2	M3	Frame	Station	OutputCase
		KN	KN	KN-m	Text	m	Text
M3	max	-120.12	201.62	347.90	109	0.00	slu2_nl
M3	min	-120.12	-201.62	-347.90	33	0.00	slu2_nl
V2	max	-120.12	201.62	347.90	109	0.00	slu2_nl
V2	min	-120.12	-201.62	-347.90	33	0.00	slu2_nl
P	max	-9.00	0.00	0.00	33	4.00	slu1_nl
P	min	-120.12	-201.62	-347.90	33	0.00	slu2_nl

SLE - RARA		P	V2	M3	Frame	Station	OutputCase
		KN	KN	KN-m	Text	m	Text
M3	max	-88.97	144.14	247.28	109	0.00	rar1_nl
M3	min	-88.97	-144.14	-247.28	33	0.00	rar1_nl
V2	max	-88.97	144.14	247.28	109	0.00	rar1_nl
V2	min	-88.97	-144.14	-247.28	33	0.00	rar1_nl
P	max	-9.00	0.00	0.00	33	4.00	rar1_nl
P	min	-88.97	-144.14	-247.28	33	0.00	rar1_nl

SLE - FREQUENTE		P	V2	M3	Frame	Station	OutputCase
		KN	KN	KN-m	Text	m	Text
M3	max	-88.97	137.45	233.90	109	0.00	fre1_nl
M3	min	-88.97	-137.45	-233.90	33	0.00	fre1_nl
V2	max	-88.97	137.45	233.90	109	0.00	fre1_nl
V2	min	-88.97	-137.45	-233.90	33	0.00	fre1_nl
P	max	-9.00	0.00	0.00	33	4.00	fre1_nl
P	min	-88.97	-137.45	-233.90	33	0.00	fre1_nl

MURI D'ALA VIADOTTI MU73
RELAZIONE DI CALCOLO

COMMESSA	LOTTO	CODIFICA	DOCUMENTO	REV.	FOGLIO
RS3T	30 D 78	CL	MU7300 001	B	46 di 110

SLE - Q.P.		P	V2	M3	Frame	Station	OutputCase
		KN	KN	KN-m	Text	m	Text
M3	max	-88.97	110.70	180.40	109	0.00	qpe1_nl
M3	min	-88.97	-110.70	-180.40	33	0.00	qpe1_nl
V2	max	-88.97	110.70	180.40	109	0.00	qpe1_nl
V2	min	-88.97	-110.70	-180.40	33	0.00	qpe1_nl
P	max	-9.00	0.00	0.00	33	4.00	qpe1_nl
P	min	-88.97	-110.70	-180.40	33	0.00	qpe1_nl

Si riassume di seguito l'armatura adottata.

As = 10Φ22

As' = 10Φ22

Staffe : -

La sezione risulta verificata con l'armatura prevista.

8.3.2.1 Verifica a taglio

VERIFICA A TAGLIO

Verifica elementi senza armature trasversali resistenti a taglio

È consentito l'impiego di solai, piastre e membrature a comportamento analogo, sprovviste di armature trasversali resistenti a taglio. La resistenza a taglio V_{Rd} di tali elementi deve essere valutata, utilizzando formule di comprovata affidabilità, sulla base della resistenza a trazione del cls.

$$V_{Rd} \geq V_{Ed}$$

$$V_{Rd} = \left\{ \frac{0.18 \cdot k \cdot (100 \cdot \rho_1 \cdot f_{ck})^{1/3}}{\gamma_c} + 0.15 \cdot \sigma_{cp} \right\} \cdot b_w \cdot d \geq (v_{\min} + 0.15 \cdot \sigma_{cp}) \cdot b_w \cdot d$$

Sollecitazioni Agenti:		V_{Ed}	262 kN	
		N_{Ed}	89 kN	
Calcestruzzo	C32/40	R_{ck}	40 N/mm ²	
		f_{ck}	33.2 N/mm ²	
Resistenza di calcolo a compressione del calcestruzzo		f_{cd}	18.81 N/mm ²	
Coefficiente parziale di sicurezza relativo al calcestruzzo		γ_c	1.5	
Altezza sezione		h	800 mm	
Copriferro		c	87 mm	
Larghezza minima della sezione (in mm)		b_w	1000 mm	
Altezza utile della sezione (in mm)		d	713 mm	
Area Calcestruzzo		A_c	800000 mm ²	
Armatura longitudinale tesa	n 10	\emptyset	22 mm	
		A_{st}	3799.4 mm ²	
Rapporto geometrico di armatura longitudinale		ρ_1	0.0053 ? 0.02	ok
Tensione media di compressione nella sezione		σ_{cp}	0.1113 ? 0.2 f_{cd}	ok
$k = 1 + (200/d)^{1/2} \leq 2$		k	1.53 ? 2	ok
$V_{\min} = 0,035k^{3/2} f_{ck}^{1/2}$		V_{\min}	0.27	
		V_{Rd}	352.92 kN	
Verifica:		$V_{Rd} > V_{Ed}$	VERIFICATA	

La verifica risulta soddisfatta, la sezione non necessita di armature a taglio.

 ITALFERR GRUPPO FERROVIE DELLO STATO ITALIANE	DIRETTRICE FERROVIARIA MESSINA – CATANIA – PALERMO NUOVO COLLEGAMENTO PALERMO – CATANIA TRATTA LERCARA DIR. – CALTANISSETTA XIRBI (LOTTO 3) OPERE DI SOSTEGNO DI LINEA					
	MURI D'ALA VIADOTTI MU73 RELAZIONE DI CALCOLO	COMMESSA RS3T	LOTTO 30 D 78	CODIFICA CL	DOCUMENTO MU7300 001	REV. B

8.3.2.2 Verifica in condizioni statiche

DATI GENERALI SEZIONE RETTANGOLARE DI PILASTRO IN C.A.

Descrizione Sezione:	
Metodo di calcolo resistenza:	Stati Limite Ultimi
Normativa di riferimento:	N.T.C.
Tipologia sezione:	Sezione predefinita di trave (solette, nervature solai) senza staffe
Forma della sezione:	Rettangolare
Percorso sollecitazione:	A Sforzo Norm. costante
Condizioni Ambientali:	Moderat. aggressive
Riferimento Sforzi assegnati:	Assi x,y principali d'inerzia
Riferimento alla sismicità:	Zona non sismica

CARATTERISTICHE DI RESISTENZA DEI MATERIALI IMPIEGATI

CALCESTRUZZO -	Classe:	C32/40	
	Resistenza compress. di progetto fcd:	181.30	daN/cm ²
	Deform. unitaria max resistenza ec2:	0.0020	
	Deformazione unitaria ultima ecu:	0.0035	
	Diagramma tensioni-deformaz.:	Parabola-Rettangolo	
	Modulo Elastico Normale Ec:	333458	daN/cm ²
	Resis. media a trazione fctm:	30.23	daN/cm ²
	Coeff.Omogen. S.L.E.:	15.00	
	Sc limite S.L.E. comb. Rare:	176.00	daN/cm ²
	Sc limite S.L.E. comb. Frequenti:	176.00	daN/cm ²
	Ap.Fessure limite S.L.E. comb. Frequenti:	0.200	mm
	Sc limite S.L.E. comb. Q.Permanenti:	128.00	daN/cm ²
	Ap.Fess.limite S.L.E. comb. Q.Perm.:	0.200	mm
ACCIAIO -	Tipo:	B450C	
	Resist. caratt. a snervamento fyk:	4500.0	daN/cm ²
	Resist. caratt. a rottura ftk:	4500.0	daN/cm ²
	Resist. a snerv. di progetto fyd:	3913.0	daN/cm ²
	Resist. ultima di progetto ftd:	3913.0	daN/cm ²
	Deform. ultima di progetto Epu:	0.068	
	Modulo Elastico Ef:	2000000	daN/cm ²
	Diagramma tensioni-deformaz.:	Bilineare finito	
	Coeff. Aderenza istant. β1*β2:	1.00	
	Coeff. Aderenza differito β1*β2:	0.50	
Comb.Rare - Sf Limite:	3375.0	daN/cm ²	

CARATTERISTICHE GEOMETRICHE ED ARMATURE SEZIONE

Base:	100.0	cm
Altezza:	80.0	cm
Barre inferiori:	10Ø22	(38.0 cm ²)
Barre superiori:	10Ø22	(38.0 cm ²)
Coprif.Inf.(dal baric. barre):	8.7	cm
Coprif.Sup.(dal baric. barre):	8.7	cm
Coprif.Lat. (dal baric.barre):	5.0	cm

CALCOLO DI RESISTENZA - SFORZI PER OGNI COMBINAZIONE ASSEGNATA

N	Sforzo normale [daN] applicato nel baricentro (posit. se di compress.)
Mx	Momento flettente [daNm] intorno all'asse x baric. della sezione con verso positivo se tale da comprimere il lembo sup. della sezione
Vy	Taglio [daN] in direzione parallela all'asse y baric. della sezione
MT	Momento torcente [daN m]

N°Comb.	N	Mx	Vy	MT
1	12012	34790	20162	0

MURI D'ALA VIADOTTI MU73
RELAZIONE DI CALCOLO

COMMESSA	LOTTO	CODIFICA	DOCUMENTO	REV.	FOGLIO
RS3T	30 D 78	CL	MU7300 001	B	49 di 110

2	12012	-34790	-20162	0
3	900	0	0	0

COMB. RARE (S.L.E.) - SFORZI PER OGNI COMBINAZIONE ASSEGNATA

N Sforzo normale [daN] applicato nel baricentro (positivo se di compress.)
Mx Coppia [daNm] applicata all'asse x baricentrico (tra parentesi il Momento di fessurazione)
con verso positivo se tale da comprimere il lembo superiore della sezione

N°Comb.	N	Mx
1	8897	24728
2	8897	-24728
3	0	0

COMB. FREQUENTI (S.L.E.) - SFORZI PER OGNI COMBINAZIONE ASSEGNATA

N Sforzo normale [daN] applicato nel baricentro (positivo se di compress.)
Mx Coppia [daNm] applicata all'asse x baricentrico (tra parentesi il Momento di fessurazione)
con verso positivo se tale da comprimere il lembo superiore della sezione

N°Comb.	N	Mx
1	8897	23390 (43103)
2	8897	-23390 (-43103)
3	0	0 (0)

COMB. QUASI PERMANENTI (S.L.E.) - SFORZI PER OGNI COMBINAZIONE ASSEGNATA

N Sforzo normale [daN] applicato nel baricentro (positivo se di compress.)
Mx Coppia [daNm] applicata all'asse x baricentrico (tra parentesi il Momento di fessurazione)
con verso positivo se tale da comprimere il lembo superiore della sezione

N°Comb.	N	Mx
1	8897	18040 (43875)
2	8897	-18040 (-43875)
3	0	0 (0)

RISULTATI DEL CALCOLO

Sezione verificata per tutte le combinazioni assegnate

Copriferro netto minimo barre longitudinali: 3.9 cm
Interferro netto minimo barre longitudinali: 7.8 cm
Copriferro netto minimo staffe: 3.9 cm

VERIFICHE DI RESISTENZA IN PRESSO-TENSO FLESSIONE ALLO STATO LIMITE ULTIMO

Ver S = combinazione verificata / N = combin. non verificata
N Sforzo normale [daN] applicato nel Baricentro (positivo se di compressione)
Mx Momento flettente assegnato [daNm] riferito all'asse x baricentrico
N Ult Sforzo normale ultimo [daN] nella sezione (positivo se di compress.)
Mx rd Momento flettente ultimo [daNm] riferito all'asse x baricentrico
Mis.Sic. Misura sicurezza = rapporto vettoriale tra (N rd, Mx rd) e (N, Mx)
Verifica positiva se tale rapporto risulta ≥ 1.000
Yn Ordinata [cm] dell'asse neutro alla massima resistenza nel sistema di rif. X, Y, O sez.
x/d Rapp. di duttilità (travi e solette) [§ 4.1.1.1 NTC]: deve essere < 0.45
C.Rid. Coeff. di riduz. momenti in travi continue [formula (4.1.1) NTC]
As Tesa Area armature long. trave [cm²] in zona tesa. (tra parentesi l'area minima di normativa)

N°Comb	Ver	N	Mx	N rd	Mx rd	Mis.Sic.	Yn	x/d	C.Rid.	As Tesa
1	S	12012	34790	12034	103496	2.975	70.5	0.13	0.70	38.0 (12.5)
2	S	12012	-34790	12034	-103496	2.975	9.5	0.13	0.70	38.0 (12.5)

MURI D'ALA VIADOTTI MU73
RELAZIONE DI CALCOLO

COMMESSA	LOTTO	CODIFICA	DOCUMENTO	REV.	FOGLIO
RS3T	30 D 78	CL	MU7300 001	B	50 di 110

3 S 900 0 908 -99979 9999.000 9.2 0.13 0.70 38.0 (12.5)

DEFORMAZIONI UNITARIE ALLO STATO LIMITE ULTIMO

ec max Deform. unit. massima del conglomerato a compressione
Yc max Ordinata in cm della fibra corrisp. a ec max (sistema rif. X,Y,O sez.)
es min Deform. unit. minima nell'acciaio (negativa se di trazione)
Ys min Ordinata in cm della barra corrisp. a es min (sistema rif. X,Y,O sez.)
es max Deform. unit. massima nell'acciaio (positiva se di compressione)
Ys max Ordinata in cm della barra corrisp. a es max (sistema rif. X,Y,O sez.)

N°Comb	ec max	Yc max	es min	Ys min	es max	Ys max
1	0.00350	80.0	0.00029	71.3	-0.02285	8.7
2	0.00350	0.0	0.00029	8.7	-0.02285	71.3
3	0.00350	0.0	0.00019	8.7	-0.02361	71.3

VERIFICHE A TAGLIO SENZA ARMATURE TRASVERSALI (§ 4.1.2.1.3.1 NTC)

Ver S = comb.verificata a taglio/ N = comb. non verificata
Ved Taglio agente [daN] uguale al taglio Vy di comb. (sollecit. retta)
Vwct Taglio trazione resistente [daN] in assenza di staffe [formula (4.1.23)NTC]
d Altezza utile sezione [cm]
bw Larghezza minima sezione [cm]
Ro Rapporto geometrico di armatura longitudinale [<0.02]
Scp Tensione media di compressione nella sezione [daN/cm²]

N°Comb	Ver	Ved	Vwct	d	bw	Ro	Scp
1	S	20162	35297	71.3	100.0	0.0053	0.2
2	S	-20162	35297	71.3	100.0	0.0053	0.2
3	S	0	33692	71.3	100.0	0.0053	0.0

COMBINAZIONI RARE IN ESERCIZIO - VERIFICA MASSIME TENSIONI NORMALI

Ver S = combinazione verificata / N = combin. non verificata
Sc max Massima tensione di compress.(+) nel conglom. in fase fessurata [(daN/cm²)
Yc max Ordinata in cm della fibra corrisp. a Sc max (sistema rif. X,Y,O)
Sc min Minima tensione di compress.(+) nel conglom. in fase fessurata [(daN/cm²)
Yc min Ordinata in cm della fibra corrisp. a Sc min (sistema rif. X,Y,O)
Sf min Minima tensione di trazione (-) nell'acciaio [daN/cm²)
Ys min Ordinata in cm della barra corrisp. a Sf min (sistema rif. X,Y,O)
Dw Eff. Spessore di conglomerato [cm] in zona tesa considerata aderente alle barre
Ac eff. Area di congl. [cm²] in zona tesa aderente alle barre (verifica fess.)
As eff. Area Barre tese di acciaio [cm²] ricadente nell'area efficace(verifica fess.)
D barre Distanza in cm tra le barre tese efficaci.
(D barre = 0 indica spaziatura superiore a $5(c+\varnothing/2)$ e nel calcolo di fess. si usa la (C4.1.11)NTC/(7.14)EC2)

N°Comb	Ver	Sc max	Yc max	Sc min	Yc min	Sf min	Ys min	Dw Eff.	Ac Eff.	As Eff.	D barre
1	S	28.8	80.0	0.0	57.0	-908	71.3	19.0	1900	38.0	9.2
2	S	28.8	0.0	0.0	23.0	-908	8.7	19.0	1900	38.0	9.2
3	S	0.0	0.0	0.0	0.0	0	8.7	19.0	2950	38.0	0.0

COMBINAZIONI RARE IN ESERCIZIO - VERIFICA APERTURA FESSURE (NTC/EC2)

Ver Esito verifica
e1 Minima deformazione unitaria (trazione: segno -) nel calcestruzzo in sez. fessurata
e2 Massima deformazione unitaria (compress.: segno +) nel calcestruzzo in sez. fessurata
K2 = 0.5 per flessione; $= (e1 + e2)/(2 \cdot e2)$ in trazione eccentrica per la (7.13)EC2 e la (C4.1.11)NTC
Kt fattore di durata del carico di cui alla (7.9) dell'EC2
e sm Deformazione media acciaio tra le fessure al netto di quella del cls. Tra parentesi il valore minimo = 0.6 Ss/Es
srm Distanza massima in mm tra le fessure
wk Apertura delle fessure in mm fornito dalla (7.8)EC2 e dalla (C4.1.7)NTC. Tra parentesi è indicato il valore limite.
M fess. Momento di prima fessurazione [daNm]

**MURI D'ALA VIADOTTI MU73
 RELAZIONE DI CALCOLO**

COMMESSA	LOTTO	CODIFICA	DOCUMENTO	REV.	FOGLIO
RS3T	30 D 78	CL	MU7300 001	B	51 di 110

N°Comb	Ver	e1	e2	K2	Kt	e sm	srm	wk	M Fess.
1	S	-0.00054	0.00022	0.50	0.60	0.000272 (0.000272)	445	0.121 (990.00)	42965
2	S	-0.00054	0.00022	0.50	0.60	0.000272 (0.000272)	445	0.121 (990.00)	-42965
3	S	-0.00054	0.00022	---	---	---	---	---	0

COMBINAZIONI FREQUENTI IN ESERCIZIO - VERIFICA MASSIME TENSIONI NORMALI

N°Comb	Ver	Sc max	Yc max	Sc min	Yc min	Sf min	Ys min	Dw Eff.	Ac Eff.	As Eff.	D barre
1	S	27.3	80.0	0.0	56.9	-853	71.3	19.0	1895	38.0	9.2
2	S	27.3	0.0	0.0	23.1	-853	8.7	19.0	1895	38.0	9.2
3	S	0.0	0.0	0.0	0.0	0	8.7	19.0	2950	38.0	0.0

COMBINAZIONI FREQUENTI IN ESERCIZIO - VERIFICA APERTURA FESSURE (NTC/EC2)

N°Comb	Ver	e1	e2	K2	Kt	e sm	srm	wk	M Fess.
1	S	-0.00050	0.00020	0.50	0.60	0.000256 (0.000256)	445	0.114 (0.20)	43103
2	S	-0.00050	0.00020	0.50	0.60	0.000256 (0.000256)	445	0.114 (0.20)	-43103
3	S	-0.00050	0.00020	---	---	---	---	---	0

COMBINAZIONI QUASI PERMANENTI IN ESERCIZIO - VERIFICA MASSIME TENSIONI NORMALI

N°Comb	Ver	Sc max	Yc max	Sc min	Yc min	Sf min	Ys min	Dw Eff.	Ac Eff.	As Eff.	D barre
1	S	21.2	80.0	0.0	56.2	-633	71.3	18.7	1872	38.0	9.2
2	S	21.3	0.0	0.0	24.0	-633	8.7	18.7	1872	38.0	9.2
3	S	0.0	0.0	0.0	0.0	0	8.7	18.7	2950	38.0	0.0

COMBINAZIONI QUASI PERMANENTI IN ESERCIZIO - VERIFICA APERTURA FESSURE (NTC/EC2)

N°Comb	Ver	e1	e2	K2	Kt	e sm	srm	wk	M Fess.
1	S	-0.00037	0.00016	0.50	0.40	0.000190 (0.000190)	443	0.084 (0.20)	43875
2	S	-0.00037	0.00016	0.50	0.40	0.000190 (0.000190)	443	0.084 (0.20)	-43875
3	S	-0.00037	0.00016	---	---	---	---	---	0

8.3.2.3 Verifica in condizioni sismiche
DATI GENERALI SEZIONE RETTANGOLARE DI PILASTRO IN C.A.

Descrizione Sezione:	
Metodo di calcolo resistenza:	Resistenze in campo sostanzialmente elastico
Normativa di riferimento:	N.T.C.
Tipologia sezione:	Sezione predefinita di trave (solette, nervature solai) senza staffe
Forma della sezione:	Rettangolare
Percorso sollecitazione:	A Sforzo Norm. costante
Riferimento Sforzi assegnati:	Assi x,y principali d'inerzia
Riferimento alla sismicità:	Zona non sismica

CARATTERISTICHE DI RESISTENZA DEI MATERIALI IMPIEGATI

CALCESTRUZZO -	Classe:	C32/40
	Resistenza compress. di progetto fcd:	181.30 daN/cm ²
	Deform. unitaria max resistenza ec2:	0.0020
	Deformazione unitaria ultima ecu:	0.0035
	Diagramma tensioni-deformaz.:	Parabola-Rettangolo
	Modulo Elastico Normale Ec:	333458 daN/cm ²

MURI D'ALA VIADOTTI MU73
RELAZIONE DI CALCOLO

COMMESSA	LOTTO	CODIFICA	DOCUMENTO	REV.	FOGLIO
RS3T	30 D 78	CL	MU7300 001	B	52 di 110

Resis. media a trazione fctm: 30.00 daN/cm²

ACCIAIO - Tipo: B450C

Resist. caratt. a snervamento fyk: 4500.0 daN/cm²

Resist. caratt. a rottura ftk: 4500.0 daN/cm²

Resist. a snerv. di progetto fyd: 3913.0 daN/cm²

Resist. ultima di progetto ftd: 3913.0 daN/cm²

Deform. ultima di progetto Epu: 0.068

Modulo Elastico Ef: 2000000 daN/cm²

Diagramma tensioni-deformaz.: Bilineare finito

CARATTERISTICHE GEOMETRICHE ED ARMATURE SEZIONE

Base: 100.0 cm

Altezza: 80.0 cm

Barre inferiori: 10Ø22 (38.0 cm²)

Barre superiori: 10Ø22 (38.0 cm²)

Coprif.Inf.(dal baric. barre): 8.7 cm

Coprif.Sup.(dal baric. barre): 8.7 cm

Coprif.Lat. (dal baric.barre): 5.0 cm

CALCOLO DI RESISTENZA - SFORZI PER OGNI COMBINAZIONE ASSEGNATA

N Sforzo normale [daN] applicato nel baricentro (posit. se di compress.)

Mx Momento flettente [daNm] intorno all'asse x baric. della sezione con verso positivo se tale da comprimere il lembo sup. della sezione

Vy Taglio [daN] in direzione parallela all'asse y baric. della sezione

MT Momento torcente [daN m]

N°Comb.	N	Mx	Vy	MT
1	8897	54408	26151	0
2	8897	-17104	-10654	0
3	0	0	0	0
4	0	0	0	0

RISULTATI DEL CALCOLO

Sezione verificata per tutte le combinazioni assegnate

Copriferro netto minimo barre longitudinali: 3.9 cm

Interferro netto minimo barre longitudinali: 7.8 cm

Copriferro netto minimo staffe: 3.9 cm

VERIFICHE DI RESISTENZA IN PRESSO-TENSO FLESSIONE ALLO STATO LIMITE SOSTANZIALMENTE ELASTICO

Ver S = combinazione verificata / N = combin. non verificata

N Sforzo normale [daN] applicato nel Baricentro (positivo se di compressione)

Mx Momento flettente assegnato [daNm] riferito all'asse x baricentrico

N Ult Sforzo normale ultimo [daN] nella sezione (positivo se di compress.)

Mx re Momento resistente sost. elastico [daNm] riferito all'asse x baricentrico

Mis.Sic. Misura sicurezza = rapporto vettoriale tra (N re, Mx re) e (N, Mx)
Verifica positiva se tale rapporto risulta >=1.000

Yn Ordinata [cm] dell'asse neutro alla massima resistenza nel sistema di rif. X,Y,O sez.

x/d Rapp. di duttilità (travi e solette)[§ 4.1.1.1 NTC]: non richiesto per calcolo non dissipativo

C.Rid. Coeff. di riduz. momenti in travi continue [formula (4.1.1)NTC]

As Tesa Area armature long. trave [cm²] in zona tesa. (tra parentesi l'area minima di normativa)

N°Comb	Ver	N	Mx	N re	Mx re	Mis.Sic.	Yn	x/d	C.Rid.	As Tesa
1	S	8897	54408	8869	98000	1.801	59.8	0.28	0.79	38.0 (12.4)
2	S	8897	-17104	8869	-98000	5.730	20.2	0.28	0.79	38.0 (12.4)
3	S	0	0	-7	-95328	9999.000	19.7	0.28	0.79	38.0 (12.4)
4	S	0	0	-7	-95328	9999.000	19.7	0.28	0.79	38.0 (12.4)

MURI D'ALA VIADOTTI MU73
RELAZIONE DI CALCOLO

COMMESSA	LOTTO	CODIFICA	DOCUMENTO	REV.	FOGLIO
RS3T	30 D 78	CL	MU7300 001	B	53 di 110

DEFORMAZIONI UNITARIE ALLO STATO LIMITE SOSTANZIALMENTE ELASTICO

ec max Deform. unit. massima del conglomerato a compressione
 Yc max Ordinata in cm della fibra corrisp. a ec max (sistema rif. X,Y,O sez.)
 es min Deform. unit. minima nell'acciaio (negativa se di trazione)
 Ys min Ordinata in cm della barra corrisp. a es min (sistema rif. X,Y,O sez.)
 es max Deform. unit. massima nell'acciaio (positiva se di compressione)
 Ys max Ordinata in cm della barra corrisp. a es max (sistema rif. X,Y,O sez.)

N°Comb	ec max	Yc max	es min	Ys min	es max	Ys max
1	0.00078	80.0	0.00044	71.3	-0.00196	8.7
2	0.00078	0.0	0.00044	8.7	-0.00196	71.3
3	0.00075	0.0	0.00042	8.7	-0.00196	71.3
4	0.00075	0.0	0.00042	8.7	-0.00196	71.3

VERIFICHE A TAGLIO SENZA ARMATURE TRASVERSALI (§ 4.1.2.1.3.1 NTC)

Ver S = comb.verificata a taglio/ N = comb. non verificata
 Ved Taglio agente [daN] uguale al taglio Vy di comb. (sollecit. retta)
 Vwct Taglio trazione resistente [daN] in assenza di staffe [formula (4.1.23)NTC]
 d Altezza utile sezione [cm]
 bw Larghezza minima sezione [cm]
 Ro Rapporto geometrico di armatura longitudinale [<0.02]
 Scp Tensione media di compressione nella sezione [daN/cm²]

N°Comb	Ver	Ved	Vwct	d	bw	Ro	Scp
1	S	26151	34881	71.3	100.0	0.0053	0.1
2	S	-10654	34881	71.3	100.0	0.0053	0.1
3	S	0	33692	71.3	100.0	0.0053	0.0
4	S	0	33692	71.3	100.0	0.0053	0.0

8.3.3 Verifica soletta inferiore

Nelle tabelle seguenti si riportano le sollecitazioni massime derivanti dalle analisi utilizzate nelle successive verifiche.

SLV		P	V2	M3	Frame	Station	OutputCase
		KN	KN	KN-m	Text	m	Text
M3	max	324.24	-3.20	-1055.10	1	0.00	sis1_nl
M3	min	338.04	244.31	-2396.64	23	0.60	sis3_nl
V2	max	338.04	309.66	-2015.40	17	0.60	sis3_nl
V2	min	351.43	-76.65	-1119.98	1	0.00	sis2_nl
P	max	351.43	-76.65	-1119.98	1	0.00	sis2_nl
P	min	324.24	-3.20	-1055.10	1	0.00	sis1_nl

SLU		P	V2	M3	Frame	Station	OutputCase
		KN	KN	KN-m	Text	m	Text
M3	max	388.46	-8.28	-1101.33	11	0.30	slu4_nl
M3	min	597.78	-151.13	-1990.27	1	0.00	slu11_nl
V2	max	488.46	226.56	-1621.64	23	0.60	slu6_nl
V2	min	597.78	-262.63	-1832.90	3	0.00	slu8_nl
P	max	597.78	-192.43	-1975.98	1	0.00	slu2_nl
P	min	388.46	-141.45	-1258.03	1	0.00	slu4_nl

SLE - RARA		P	V2	M3	Frame	Station	OutputCase
		KN	KN	KN-m	Text	m	Text
M3	max	432.06	-9.42	-1244.88	11	0.30	rar1_nl
M3	min	432.06	-138.20	-1420.99	1	0.00	rar1_nl
V2	max	432.06	141.98	-1378.80	21	0.60	rar1_nl
V2	min	432.06	-141.98	-1378.80	3	0.00	rar1_nl
P	max	432.06	-138.20	-1420.99	1	0.00	rar1_nl
P	min	432.06	-138.20	-1420.99	1	0.00	rar1_nl

SLE - FREQUENTE		P	V2	M3	Frame	Station	OutputCase
		KN	KN	KN-m	Text	m	Text
M3	max	418.26	-8.90	-1200.36	11	0.30	fre1_nl
M3	min	418.26	-132.19	-1366.35	1	0.00	fre1_nl
V2	max	418.26	136.54	-1326.98	21	0.60	fre1_nl
V2	min	418.26	-136.54	-1326.98	3	0.00	fre1_nl
P	max	418.26	-132.19	-1366.35	1	0.00	fre1_nl
P	min	418.26	-132.19	-1366.35	1	0.00	fre1_nl

SLE - Q.P.		P	V2	M3	Frame	Station	OutputCase
		KN	KN	KN-m	Text	m	Text
M3	max	363.09	-6.82	-1022.29	11	0.30	qpe1_nl
M3	min	363.09	-108.13	-1147.79	1	0.00	qpe1_nl
V2	max	363.09	114.78	-1119.72	21	0.60	qpe1_nl
V2	min	363.09	-114.78	-1119.72	3	0.00	qpe1_nl
P	max	363.09	-108.13	-1147.79	1	0.00	qpe1_nl
P	min	363.09	-108.13	-1147.79	1	0.00	qpe1_nl

Si riassume di seguito l'armatura adottata.

As = 15Φ26

As' = 20Φ26

Staffe : -

La sezione risulta verificata con l'armatura prevista.

8.3.3.1 Verifica a taglio

VERIFICA A TAGLIO

Verifica elementi senza armature trasversali resistenti a taglio

È consentito l'impiego di solai, piastre e membrature a comportamento analogo, sprovviste di armature trasversali resistenti a taglio. La resistenza a taglio V_{Rd} di tali elementi deve essere valutata, utilizzando formule di comprovata affidabilità, sulla base della resistenza a trazione del cls.

$$V_{Rd} \geq V_{Ed}$$

$$V_{Rd} = \left\{ \frac{0.18 \cdot k \cdot (100 \cdot \rho_1 \cdot f_{ck})^{1/3}}{\gamma_c} + 0.15 \cdot \sigma_{cp} \right\} \cdot b_w \cdot d \geq (v_{\min} + 0.15 \cdot \sigma_{cp}) \cdot b_w \cdot d$$

Sollecitazioni Agenti:		V_{Ed}	310 kN	
		N_{Ed}	338 kN	
Calcestruzzo	C32/40	R_{ck}	40 N/mm ²	
		f_{ck}	33.2 N/mm ²	
Resistenza di calcolo a compressione del calcestruzzo		f_{cd}	18.81 N/mm ²	
Coefficiente parziale di sicurezza relativo al calcestruzzo		γ_c	1.5	
Altezza sezione		h	1300 mm	
Copriferro		c	93 mm	
Larghezza minima della sezione (in mm)		b_w	1000 mm	
Altezza utile della sezione (in mm)		d	1207 mm	
Area Calcestruzzo		A_c	1300000 mm ²	
Armatura longitudinale tesa	n	Ø	26 mm	
		A_{sl}	7959.9 mm ²	
Rapporto geometrico di armatura longitudinale		ρ_1	0.0066 ? 0.02	ok
Tensione media di compressione nella sezione		σ_{cp}	0.2600 ? 0.2 f_{cd}	ok
$k = 1 + (200/d)^{1/2} \leq 2$		k	1.41 ? 2	ok
$V_{\min} = 0,035k^{3/2}f_{ck}^{1/2}$		V_{\min}	0.25	
		V_{Rd}	617.21 kN	
Verifica:		$V_{Rd} > V_{Ed}$	VERIFICATA	

La verifica risulta soddisfatta, la sezione non necessita di armature a taglio.

 ITALFERR GRUPPO FERROVIE DELLO STATO ITALIANE	DIRETTRICE FERROVIARIA MESSINA – CATANIA – PALERMO NUOVO COLLEGAMENTO PALERMO – CATANIA TRATTA LERCARA DIR. – CALTANISSETTA XIRBI (LOTTO 3) OPERE DI SOSTEGNO DI LINEA					
	MURI D'ALA VIADOTTI MU73 RELAZIONE DI CALCOLO	COMMESSA RS3T	LOTTO 30 D 78	CODIFICA CL	DOCUMENTO MU7300 001	REV. B

8.3.3.2 Verifica in condizioni statiche

DATI GENERALI SEZIONE GENERICA IN C.A.

Descrizione Sezione:	
Metodo di calcolo resistenza:	Resistenze agli Stati Limite Ultimi
Tipologia sezione:	Sezione generica di Trave (solette, nervature solai) senza staffe
Normativa di riferimento:	N.T.C.
Percorso sollecitazione:	A Sforzo Norm. costante
Condizioni Ambientali:	Poco aggressive
Riferimento Sforzi assegnati:	Assi x,y principali d'inerzia
Riferimento alla sismicità:	Zona non sismica

CARATTERISTICHE DI RESISTENZA DEI MATERIALI IMPIEGATI

CALCESTRUZZO -	Classe:	C32/40	
	Resis. compr. di progetto fcd:	181.30	daN/cm ²
	Def.unit. max resistenza ec2:	0.0020	
	Def.unit. ultima ecu:	0.0035	
	Diagramma tensione-deformaz.:	Parabola-Rettangolo	
	Modulo Elastico Normale Ec:	333458	daN/cm ²
	Resis. media a trazione fctm:	30.23	daN/cm ²
	Coeff. Omogen. S.L.E.:	15.00	
	Sc limite S.L.E. comb. Rare:	176.00	daN/cm ²
	Sc limite S.L.E. comb. Frequenti:	176.00	daN/cm ²
	Ap.Fessure limite S.L.E. comb. Frequenti:	0.200	mm
	Sc limite S.L.E. comb. Q.Permanenti:	128.00	daN/cm ²
	Ap.Fess.limite S.L.E. comb. Q.Perm.:	0.200	mm
ACCIAIO -	Tipo:	B450C	
	Resist. caratt. snervam. fyk:	4500.0	daN/cm ²
	Resist. caratt. rottura ftk:	4500.0	daN/cm ²
	Resist. snerv. di progetto fyd:	3913.0	daN/cm ²
	Resist. ultima di progetto ftd:	3913.0	daN/cm ²
	Deform. ultima di progetto Epu:	0.068	
	Modulo Elastico Ef	2000000	daN/cm ²
	Diagramma tensione-deformaz.:	Bilineare finito	
	Coeff. Aderenza istantaneo $\beta_1 \cdot \beta_2$:	1.00	
	Coeff. Aderenza differito $\beta_1 \cdot \beta_2$:	0.50	
Sf limite S.L.E. Comb. Rare:	3375.0	daN/cm ²	

CARATTERISTICHE DOMINIO CONGLOMERATO

Forma del Dominio:	Poligonale	
Classe Conglomerato:	C32/40	
N°vertice:	X [cm]	Y [cm]
1	-50.0	0.0
2	-50.0	130.0
3	50.0	130.0
4	50.0	0.0

DATI BARRE ISOLATE

N°Barra	X [cm]	Y [cm]	DiamØ[mm]
1	-45.0	9.3	26
2	-45.0	120.7	26
3	45.0	120.7	26
4	45.0	9.3	26
5	-40.0	14.5	26
6	40.0	14.5	26

MURI D'ALA VIADOTTI MU73
RELAZIONE DI CALCOLO

COMMESSA	LOTTO	CODIFICA	DOCUMENTO	REV.	FOGLIO
RS3T	30 D 78	CL	MU7300 001	B	58 di 110

7	-45.0	115.5	26
8	45.0	115.5	26

DATI GENERAZIONI LINEARI DI BARRE

N°Gen. Numero assegnato alla singola generazione lineare di barre
 N°Barra Ini. Numero della barra iniziale cui si riferisce la generazione
 N°Barra Fin. Numero della barra finale cui si riferisce la generazione
 N°Barre Numero di barre generate equidistanti cui si riferisce la generazione
 Ø Diametro in mm delle barre della generazione

N°Gen.	N°Barra Ini.	N°Barra Fin.	N°Barre	Ø
1	1	4	8	26
2	3	2	8	26
3	5	6	3	26
4	7	8	8	26

CALCOLO DI RESISTENZA - SFORZI PER OGNI COMBINAZIONE ASSEGNATA

N Sforzo normale in daN applicato nel Baric. (+ se di compressione)
 Mx Momento flettente [daNm] intorno all'asse x princ. d'inerzia
 con verso positivo se tale da comprimere il lembo sup. della sez.
 My Momento flettente [daNm] intorno all'asse y princ. d'inerzia
 con verso positivo se tale da comprimere il lembo destro della sez.
 Vy Componente del Taglio [daN] parallela all'asse princ.d'inerzia y
 Vx Componente del Taglio [daN] parallela all'asse princ.d'inerzia x

N°Comb.	N	Mx	My	Vy	Vx
1	-38846	-110133	0	-828	0
2	-59778	-199027	0	-15113	0
3	-48846	-162164	0	22656	0
4	-59778	-183290	0	-26263	0
5	-59778	-197598	0	-19243	0
6	-38846	-125803	0	-14145	0

COMB. RARE (S.L.E.) - SFORZI PER OGNI COMBINAZIONE ASSEGNATA

N Sforzo normale in daN applicato nel Baricentro (+ se di compressione)
 Mx Momento flettente [daNm] intorno all'asse x princ. d'inerzia (tra parentesi Mom.Fessurazione)
 con verso positivo se tale da comprimere il lembo superiore della sezione
 My Momento flettente [daNm] intorno all'asse y princ. d'inerzia (tra parentesi Mom.Fessurazione)
 con verso positivo se tale da comprimere il lembo destro della sezione

N°Comb.	N	Mx	My
1	-43206	-124488	0
2	-43206	-142099	0
3	-43206	-137880	0
4	-43206	-137880	0

COMB. FREQUENTI (S.L.E.) - SFORZI PER OGNI COMBINAZIONE ASSEGNATA

N Sforzo normale in daN applicato nel Baricentro (+ se di compressione)
 Mx Momento flettente [daNm] intorno all'asse x princ. d'inerzia (tra parentesi Mom.Fessurazione)
 con verso positivo se tale da comprimere il lembo superiore della sezione
 My Momento flettente [daNm] intorno all'asse y princ. d'inerzia (tra parentesi Mom.Fessurazione)
 con verso positivo se tale da comprimere il lembo destro della sezione

N°Comb.	N	Mx	My
1	-41826	-120036 (-114695)	0 (0)

 ITALFERR GRUPPO FERROVIE DELLO STATO ITALIANE	DIRETTRICE FERROVIARIA MESSINA – CATANIA – PALERMO NUOVO COLLEGAMENTO PALERMO – CATANIA TRATTA LERCARA DIR. – CALTANISSETTA XIRBI (LOTTO 3) OPERE DI SOSTEGNO DI LINEA					
	MURI D'ALA VIADOTTI MU73 RELAZIONE DI CALCOLO	COMMESSA RS3T	LOTTO 30 D 78	CODIFICA CL	DOCUMENTO MU7300 001	REV. B

2	-41826	-136635 (-115816)	0 (0)
3	-41826	-132698 (-115573)	0 (0)
4	-41826	-132698 (-115573)	0 (0)

COMB. QUASI PERMANENTI (S.L.E.) - SFORZI PER OGNI COMBINAZIONE ASSEGNATA

N	Sforzo normale in daN applicato nel Baricentro (+ se di compressione)
Mx	Momento flettente [daNm] intorno all'asse x princ. d'inerzia (tra parentesi Mom.Fessurazione) con verso positivo se tale da comprimere il lembo superiore della sezione
My	Momento flettente [daNm] intorno all'asse y princ. d'inerzia (tra parentesi Mom.Fessurazione) con verso positivo se tale da comprimere il lembo destro della sezione

N°Comb.	N	Mx	My
1	-36309	-102229 (-114519)	0 (0)
2	-36309	-114779 (-115543)	0 (0)
3	-36309	-111972 (-115332)	0 (0)

RISULTATI DEL CALCOLO

Sezione verificata

Copriferro netto minimo barre longitudinali:	3.7 cm
Interferro netto minimo barre longitudinali:	2.6 cm

VERIFICHE DI RESISTENZA IN PRESSO-TENSO FLESSIONE ALLO STATO LIMITE ULTIMO

Ver	S = combinazione verificata / N = combin. non verificata
N Sn	Sforzo normale assegnato [daN] nel baricentro sezione cls. (positivo se di compressione)
Mx Sn	Componente momento assegnato [daNm] riferito all'asse x princ. d'inerzia
My Sn	Componente momento assegnato [daNm] riferito all'asse y princ. d'inerzia
N Res	Sforzo normale resistente [daN] baricentrico (positivo se di compress.)
Mx Res	Momento flettente resistente [daNm] riferito all'asse x princ. d'inerzia
My res	Momento flettente resistente [daNm] riferito all'asse y princ. d'inerzia
Mis.Sic.	Misura sicurezza = rapporto vettoriale tra (N r,Mx Res,My Res) e (N,Mx,My) Verifica positiva se tale rapporto risulta >=1.000
As Tesa	Area armature trave [cm ²] in zona tesa. [Tra parentesi l'area minima ex (4.1.15)NTC]

N°Comb	Ver	N	Mx	My	N Res	Mx Res	My Res	Mis.Sic.	As Tesa
1	S	-38846	-110133	0	-38844	-436611	0	4.04	106.2(21.1)
2	S	-59778	-199027	0	-59778	-425491	0	2.16	106.2(21.1)
3	S	-48846	-162164	0	-48829	-431307	0	2.70	106.2(21.1)
4	S	-59778	-183290	0	-59778	-425491	0	2.35	106.2(21.1)
5	S	-59778	-197598	0	-59778	-425491	0	2.18	106.2(21.1)
6	S	-38846	-125803	0	-38844	-436611	0	3.53	106.2(21.1)

METODO AGLI STATI LIMITE ULTIMI - DEFORMAZIONI UNITARIE ALLO STATO ULTIMO

ec max	Deform. unit. massima del conglomerato a compressione
x/d	Rapporto di duttilità [§ 4.1.2.1.2.1 NTC] deve essere < 0.45
Xc max	Ascissa in cm della fibra corrisp. a ec max (sistema rif. X,Y,O sez.)
Yc max	Ordinata in cm della fibra corrisp. a ec max (sistema rif. X,Y,O sez.)
es min	Deform. unit. minima nell'acciaio (negativa se di trazione)
Xs min	Ascissa in cm della barra corrisp. a es min (sistema rif. X,Y,O sez.)
Ys min	Ordinata in cm della barra corrisp. a es min (sistema rif. X,Y,O sez.)
es max	Deform. unit. massima nell'acciaio (positiva se di compress.)
Xs max	Ascissa in cm della barra corrisp. a es max (sistema rif. X,Y,O sez.)
Ys max	Ordinata in cm della barra corrisp. a es max (sistema rif. X,Y,O sez.)

N°Comb	ec max	x/d	Xc max	Yc max	es min	Xs min	Ys min	es max	Xs max	Ys max
1	0.00350	0.126	-50.0	0.0	0.00136	-45.0	9.3	-0.02426	-45.0	120.7
2	0.00350	0.122	-50.0	0.0	0.00129	-45.0	9.3	-0.02519	-45.0	120.7
3	0.00350	0.124	-50.0	0.0	0.00133	-45.0	9.3	-0.02471	-45.0	120.7

MURI D'ALA VIADOTTI MU73
RELAZIONE DI CALCOLO

COMMESSA	LOTTO	CODIFICA	DOCUMENTO	REV.	FOGLIO
RS3T	30 D 78	CL	MU7300 001	B	61 di 110

N°Comb	Ver	Sc max	Xc max	Yc max	Sf min	Xs min	Ys min	Ac eff.	As eff.
1	S	35.5	-50.0	0.0	-1296	-35.0	120.7	3000	106.2
2	S	40.9	50.0	0.0	-1449	-35.0	120.7	3000	106.2
3	S	39.6	50.0	0.0	-1413	-35.0	120.7	3000	106.2
4	S	39.6	50.0	0.0	-1413	-35.0	120.7	3000	106.2

COMBINAZIONI FREQUENTI IN ESERCIZIO - APERTURA FESSURE [§ 7.3.4 EC2]

Comb.	Ver	e1	e2	k2	Ø	Cf	e sm - e cm	sr max	wk	Mx fess	My fess
1	S	-0.00072	0	0.500	26.0	80	0.00039 (0.00039)	397	0.154 (0.20)	-114695	0
2	S	-0.00080	0	0.500	26.0	80	0.00043 (0.00043)	397	0.173 (0.20)	-115816	0
3	S	-0.00078	0	0.500	26.0	80	0.00042 (0.00042)	397	0.168 (0.20)	-115573	0
4	S	-0.00078	0	0.500	26.0	80	0.00042 (0.00042)	397	0.168 (0.20)	-115573	0

COMBINAZIONI QUASI PERMANENTI IN ESERCIZIO - MASSIME TENSIONI NORMALI ED APERTURA FESSURE (NTC/EC2)

N°Comb	Ver	Sc max	Xc max	Yc max	Sf min	Xs min	Ys min	Ac eff.	As eff.
1	S	30.2	50.0	0.0	-1107	-35.0	120.7	3000	106.2
2	S	34.3	50.0	0.0	-1223	-35.0	120.7	3000	106.2
3	S	33.4	-50.0	0.0	-1197	-35.0	120.7	3000	106.2

COMBINAZIONI QUASI PERMANENTI IN ESERCIZIO - APERTURA FESSURE [§ 7.3.4 EC2]

Comb.	Ver	e1	e2	k2	Ø	Cf	e sm - e cm	sr max	wk	Mx fess	My fess
1	S	-0.00061	0	0.500	26.0	80	0.00035 (0.00033)	397	0.137 (0.20)	-114519	0
2	S	-0.00068	0	0.500	26.0	80	0.00040 (0.00037)	397	0.160 (0.20)	-115543	0
3	S	-0.00066	0	0.500	26.0	80	0.00039 (0.00036)	397	0.155 (0.20)	-115332	0

 ITALFERR GRUPPO FERROVIE DELLO STATO ITALIANE	DIRETTRICE FERROVIARIA MESSINA – CATANIA – PALERMO NUOVO COLLEGAMENTO PALERMO – CATANIA TRATTA LERCARA DIR. – CALTANISSETTA XIRBI (LOTTO 3) OPERE DI SOSTEGNO DI LINEA					
	MURI D'ALA VIADOTTI MU73 RELAZIONE DI CALCOLO	COMMESSA RS3T	LOTTO 30 D 78	CODIFICA CL	DOCUMENTO MU7300 001	REV. B

8.3.3.3 Verifica in condizioni sismiche

DATI GENERALI SEZIONE GENERICA NON DISSIPATIVA IN C.A.

Descrizione Sezione:	
Metodo di calcolo resistenza:	Resistenze in campo sostanzialmente elastico
Tipologia sezione:	Sezione generica di Trave (solette, nervature solai) senza staffe
Normativa di riferimento:	N.T.C.
Percorso sollecitazione:	A Sforzo Norm. costante
Riferimento Sforzi assegnati:	Assi x,y principali d'inerzia
Riferimento alla sismicità:	Zona non sismica

CARATTERISTICHE DI RESISTENZA DEI MATERIALI IMPIEGATI

CALCESTRUZZO -	Classe:	C32/40	
	Resis. compr. di progetto fcd:	181.30	daN/cm ²
	Def.unit. max resistenza ec2:	0.0020	
	Def.unit. ultima ecu:	0.0035	
	Diagramma tensione-deformaz.:	Parabola-Rettangolo	
	Modulo Elastico Normale Ec:	333458	daN/cm ²
	Resis. media a trazione fctm:	30.00	daN/cm ²
ACCIAIO -	Tipo:	B450C	
	Resist. caratt. snervam. fyk:	4500.0	daN/cm ²
	Resist. caratt. rottura ftk:	4500.0	daN/cm ²
	Resist. snerv. di progetto fyd:	3913.0	daN/cm ²
	Resist. ultima di progetto ftd:	3913.0	daN/cm ²
	Deform. ultima di progetto Epu:	0.068	
	Modulo Elastico Ef	2000000	daN/cm ²
Diagramma tensione-deformaz.:	Bilineare finito		

CARATTERISTICHE DOMINIO CONGLOMERATO

Forma del Dominio:	Poligonale
Classe Conglomerato:	C32/40

N°vertice:	X [cm]	Y [cm]
1	-50.0	0.0
2	-50.0	130.0
3	50.0	130.0
4	50.0	0.0

DATI BARRE ISOLATE

N°Barra	X [cm]	Y [cm]	DiamØ[mm]
1	-45.0	9.3	26
2	-45.0	120.7	26
3	45.0	120.7	26
4	45.0	9.3	26
5	-40.0	14.5	26
6	40.0	14.5	26
7	-45.0	115.5	26
8	45.0	115.5	26

DATI GENERAZIONI LINEARI DI BARRE

N°Gen.	Numero assegnato alla singola generazione lineare di barre
N°Barra Ini.	Numero della barra iniziale cui si riferisce la generazione
N°Barra Fin.	Numero della barra finale cui si riferisce la generazione

 ITALFERR GRUPPO FERROVIE DELLO STATO ITALIANE	DIRETTRICE FERROVIARIA MESSINA – CATANIA – PALERMO NUOVO COLLEGAMENTO PALERMO – CATANIA TRATTA LERCARA DIR. – CALTANISSETTA XIRBI (LOTTO 3) OPERE DI SOSTEGNO DI LINEA					
	MURI D'ALA VIADOTTI MU73 RELAZIONE DI CALCOLO	COMMESSA RS3T	LOTTO 30 D 78	CODIFICA CL	DOCUMENTO MU7300 001	REV. B

N°Barre Numero di barre generate equidistanti cui si riferisce la generazione
 Ø Diametro in mm delle barre della generazione

N°Gen.	N°Barra Ini.	N°Barra Fin.	N°Barre	Ø
1	1	4	8	26
2	2	3	8	26
3	5	6	3	26
4	7	8	8	26

CALCOLO DI RESISTENZA - SFORZI PER OGNI COMBINAZIONE ASSEGNATA

N Sforzo normale in daN applicato nel Baric. (+ se di compressione)
 Mx Momento flettente [daNm] intorno all'asse x princ. d'inerzia
 con verso positivo se tale da comprimere il lembo sup. della sez.
 My Momento flettente [daNm] intorno all'asse y princ. d'inerzia
 con verso positivo se tale da comprimere il lembo destro della sez.
 Vy Componente del Taglio [daN] parallela all'asse princ.d'inerzia y
 Vx Componente del Taglio [daN] parallela all'asse princ.d'inerzia x

N°Comb.	N	Mx	My	Vy	Vx
1	-32424	-105510	0	-320	0
2	-33804	-239664	0	24431	0
3	-33804	-201540	0	30966	0
4	-35143	-111998	0	-7665	0

RISULTATI DEL CALCOLO

Sezione verificata

Copriferro netto minimo barre longitudinali: 3.7 cm
 Interferro netto minimo barre longitudinali: 2.6 cm

VERIFICHE DI RESISTENZA IN PRESSO-TENSO FLESSIONE ALLO STATO LIMITE SOSTANZIALMENTE ELASTICO

Ver S = combinazione verificata / N = combin. non verificata
 N Sn Sforzo normale assegnato [daN] nel baricentro sezione cls. (positivo se di compressione)
 Mx Sn Componente momento assegnato [daNm] riferito all'asse x princ. d'inerzia
 My Sn Componente momento assegnato [daNm] riferito all'asse y princ. d'inerzia
 N Res Sforzo normale resistente [daN] baricentrico (positivo se di compress.)
 Mx Res Momento flettente resistente [daNm] riferito all'asse x princ. d'inerzia
 My res Momento flettente resistente [daNm] riferito all'asse y princ. d'inerzia
 Mis.Sic. Misura sicurezza = rapporto vettoriale tra (N r, Mx Res, My Res) e (N, Mx, My)
 Verifica positiva se tale rapporto risulta >=1.000
 As Tesa Area armature trave [cm²] in zona tesa. [Tra parentesi l'area minima ex (4.1.15)NTC]

N°Comb	Ver	N	Mx	My	N Res	Mx Res	My Res	Mis.Sic.	As Tesa
1	S	-32424	-105510	0	-32446	-407795	0	3.93	106.2(20.9)
2	S	-33804	-239664	0	-33798	-407163	0	1.71	106.2(20.9)
3	S	-33804	-201540	0	-33798	-407163	0	2.03	106.2(20.9)
4	S	-35143	-111998	0	-35152	-406531	0	3.69	106.2(20.9)

METODO AGLI STATI LIMITE IN CAMPO SOSTANZIALMENTE ELASTICO - DEFORMAZIONI UNITARIE ALLO STATO LIMITE

ec max Deform. unit. massima del conglomerato a compressione
 x/d Rapporto di duttilità [§ 4.1.2.1.2.1 NTC] deve essere < 0.45
 Xc max Ascissa in cm della fibra corrisp. a ec max (sistema rif. X,Y,O sez.)
 Yc max Ordinata in cm della fibra corrisp. a ec max (sistema rif. X,Y,O sez.)
 es min Deform. unit. minima nell'acciaio (negativa se di trazione)
 Xs min Ascissa in cm della barra corrisp. a es min (sistema rif. X,Y,O sez.)
 Ys min Ordinata in cm della barra corrisp. a es min (sistema rif. X,Y,O sez.)
 es max Deform. unit. massima nell'acciaio (positiva se di compress.)
 Xs max Ascissa in cm della barra corrisp. a es max (sistema rif. X,Y,O sez.)
 Ys max Ordinata in cm della barra corrisp. a es max (sistema rif. X,Y,O sez.)

MURI D'ALA VIADOTTI MU73
RELAZIONE DI CALCOLO

COMMESSA	LOTTO	CODIFICA	DOCUMENTO	REV.	FOGLIO
RS3T	30 D 78	CL	MU7300 001	B	64 di 110

N°Comb	ec max	x/d	Xc max	Yc max	es min	Xs min	Ys min	es max	Xs max	Ys max
1	0.00091	0.317	-50.0	0.0	0.00069	-45.0	9.3	-0.00196	-45.0	120.7
2	0.00091	0.316	-50.0	0.0	0.00068	-45.0	9.3	-0.00196	-45.0	120.7
3	0.00091	0.316	-50.0	0.0	0.00068	-45.0	9.3	-0.00196	-45.0	120.7
4	0.00090	0.316	-50.0	0.0	0.00068	-45.0	9.3	-0.00196	-45.0	120.7

POSIZIONE ASSE NEUTRO PER OGNI COMB. DI RESISTENZA

a, b, c Coeff. a, b, c nell'eq. dell'asse neutro $aX+bY+c=0$ nel rif. X,Y,O gen.
x/d Rapp. di duttilità (travi e solette)[§ 4.1.2.1.2.1 NTC]: deve essere < 0.45
C.Rid. Coeff. di riduz. momenti per sola flessione in travi continue

N°Comb	a	b	c	x/d	C.Rid.
1	0.000000000	-0.000023729	0.000907640	0.317	0.836
2	0.000000000	-0.000023710	0.000905346	0.316	0.835
3	0.000000000	-0.000023710	0.000905346	0.316	0.835
4	0.000000000	-0.000023691	0.000903052	0.316	0.835

 <p>ITALFERR GRUPPO FERROVIE DELLO STATO ITALIANE</p>	<p>DIRETTRICE FERROVIARIA MESSINA – CATANIA – PALERMO NUOVO COLLEGAMENTO PALERMO – CATANIA TRATTA LERCARA DIR. – CALTANISSETTA XIRBI (LOTTO 3) OPERE DI SOSTEGNO DI LINEA</p>												
<p>MURI D'ALA VIADOTTI MU73 RELAZIONE DI CALCOLO</p>	<table border="1"> <thead> <tr> <th>COMMESSA</th> <th>LOTTO</th> <th>CODIFICA</th> <th>DOCUMENTO</th> <th>REV.</th> <th>FOGLIO</th> </tr> </thead> <tbody> <tr> <td>RS3T</td> <td>30 D 78</td> <td>CL</td> <td>MU7300 001</td> <td>B</td> <td>65 di 110</td> </tr> </tbody> </table>	COMMESSA	LOTTO	CODIFICA	DOCUMENTO	REV.	FOGLIO	RS3T	30 D 78	CL	MU7300 001	B	65 di 110
COMMESSA	LOTTO	CODIFICA	DOCUMENTO	REV.	FOGLIO								
RS3T	30 D 78	CL	MU7300 001	B	65 di 110								

9. RELAZIONE DI CALCOLO DEL MURO DI SOSTEGNO “TIPO 3” – MU73

9.1 CRITERI DI VERIFICA

9.1.1 VERIFICHE GEOTECNICHE (SLU) IN CONDIZIONI STATICHE

Nelle verifiche di sicurezza si è preso in considerazione tutti i meccanismi di stato limite ultimo sia a breve termine sia a lungo termine. Gli stati limite ultimi delle opere di sostegno si riferiscono allo sviluppo di meccanismi di collasso determinati dalla mobilitazione della resistenza del terreno, e al raggiungimento della resistenza degli elementi strutturali che compongono le opere stesse.

Per i muri di sostegno su fondazione diretta si considerano i seguenti Stati Limite Ultimi:

SLU di tipo geotecnico (GEO)

Scorrimento sul piano di posa;

Collasso per carico limite del complesso fondazione-terreno;

Ribaltamento;

Stabilità globale del complesso opera di sostegno-terreno.

SLU di tipo strutturale (STR)

Raggiungimento della resistenza negli elementi strutturali.

La verifica di stabilità globale del complesso opera di sostegno – terreno deve essere effettuata, analogamente a quanto previsto al §6.8 delle NTC2018, secondo l'Approccio 1 – Combinazione 2 (A2+M2+R2), tenendo conto dei coefficienti parziali riportati nelle Tabelle 6.2.I, 6.2.II e 6.8.I delle NTC18.

Le rimanenti verifiche devono essere effettuate secondo l'Approccio 2 con la combinazione (A1+M1+R3), tenendo conto dei valori dei coefficienti parziali riportati nelle 6.2.I, 6.2.II, 6.4.II e 6.4.VI delle NTC18.

Il progetto e la verifica dei muri di sostegno sono stati effettuati con l'ausilio di fogli di calcolo nei quali vengono implementate tutte le caratteristiche geometriche dei muri insieme ai parametri di resistenza geotecnica.

Per ogni tipologia di muro di sostegno studiata, si è verificato che le caratteristiche geometriche siano tali che il muro possa essere considerato a mensola con suola lunga (vedere **Errore. L'origine riferimento non è stata trovata.**), così come previsto al §3.10.3.3. del Manuale di Progettazione delle Opere Civili (RFI DTC SI MA IFS 001 C).

Si è considerato, pertanto, che la spinta sull'opera di sostegno agisca sul piano verticale cd, assunto come il paramento virtuale del muro.

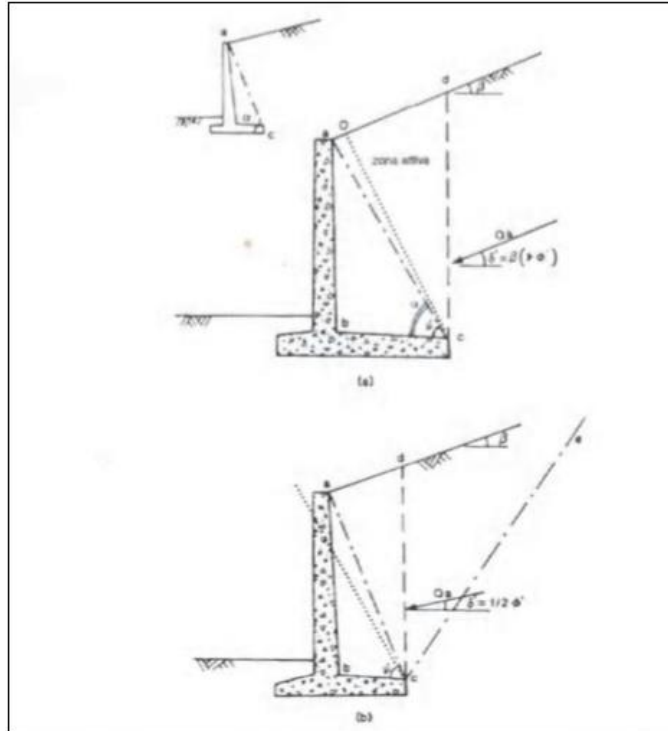


Figura 39 – Spinta sui muri di sostegno a mensola con suola lunga (caso a) e con suola corta (caso b).

Su tale paramento l'angolo di inclinazione δ della risultante della spinta (applicata ad $1/3$ dell'altezza del paramento virtuale) si potrà assumere uguale all'angolo di inclinazione β del terrapieno, a meno che β non sia superiore all'angolo di resistenza al taglio del terreno φ' , nel qual caso si potrà assumere $\delta = \varphi'$.

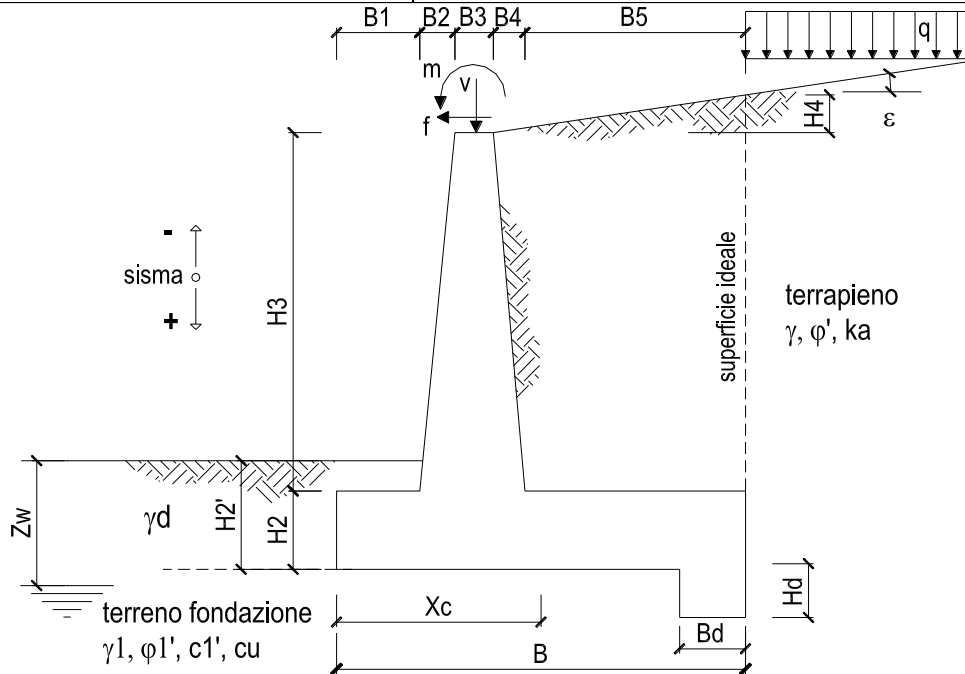
Il terreno al di sopra della suola (abcd) è stato considerato stabilizzante nelle verifiche, e ad esso sono da applicarsi le forze d'inerzia in fase sismica.

Inoltre nella verifica a scorrimento e a ribaltamento dei muri di sostegno viene trascurata la resistenza passiva antistante il muro.

Nel nostro caso l'angolo di attrito fondazione-terreno nelle verifiche a scorrimento è pari a

$$\varphi'_{cv} = \arctan(\tan \varphi')$$

Le caratteristiche geometriche sono riportate sinteticamente nel seguente schema:



9.1.2 VERIFICA A SCORRIMENTO

La verifica dell'equilibrio allo stato limite di scorrimento viene condotta confrontando l'azione resistente R_h , pari al prodotto della risultante delle forze verticali per il coefficiente d'attrito con l'azione instabilizzante, pari alla risultante di tutte le componenti orizzontali delle forze agenti sul muro.

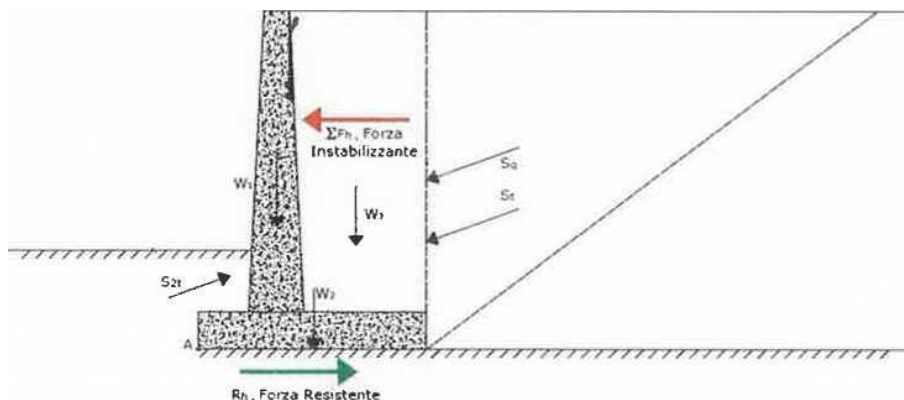


Figura 40 – Verifica a scorrimento.

In condizioni sismiche, ai fini del dimensionamento, si fa riferimento ad un sisma agente da monte verso valle del muro, in direzione orizzontale, dal basso verso l'alto e dall'alto verso il basso, in direzione verticale.

9.1.3 VERIFICA A RIBALTAMENTO

L'equilibrio allo stato limite è condotto confrontando il momento delle forze stabilizzanti e quello delle forze ribaltanti, entrambi rispetto all'estremo A di valle della fondazione.

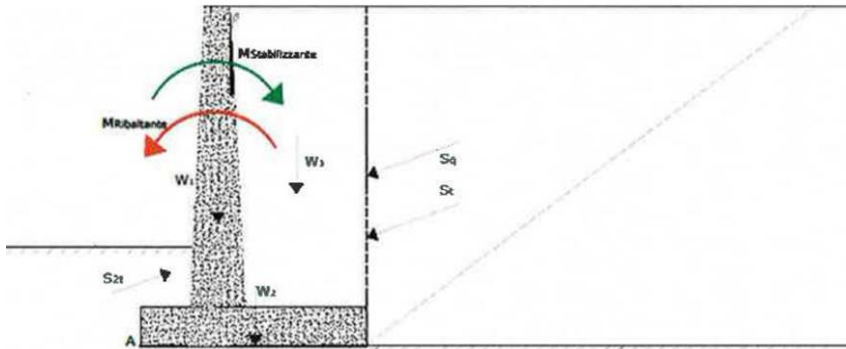


Figura 41– Verifica a ribaltamento.

9.1.4 VERIFICA A CARICO LIMITE DELLA FONDAZIONE

Per il calcolo della capacità portante della fondazione si è fatto riferimento alla formula di Brinch-Hansen (1970) integrata dai coefficienti sismici di Paolucci e Pecker (1995), di seguito riportata:

$$q_{lim} = c' N_c s_c d_c i_c b_c g_c z_c + q N_q s_q d_q i_q b_q g_q z_q + 0.5 \gamma B N_{\gamma} s_{\gamma} d_{\gamma} i_{\gamma} b_{\gamma} g_{\gamma} z_{\gamma}$$

$$F_s = q_{lim} / q_{es}$$

con $q_{es} = N / (B \cdot L')$ la pressione dovuta al carico verticale.

9.1.5 VERIFICA A STABILITÀ GLOBALE

Per le verifiche di stabilità dei pendii naturali si ricorre, nell'ambito dei metodi all'equilibrio limite, ai cosiddetti metodi delle strisce, in particolare il metodo di Bishop. Si ipotizza una superficie cilindrica di scorrimento potenziale, S, si suddivide idealmente la porzione di terreno delimitato da questa e dalla superficie topografica in n conci e si analizza l'equilibrio limite di ciascun concio.

 ITAFERR GRUPPO FERROVIE DELLO STATO ITALIANE	DIRETTRICE FERROVIARIA MESSINA – CATANIA – PALERMO NUOVO COLLEGAMENTO PALERMO – CATANIA TRATTA LERCARA DIR. – CALTANISSETTA XIRBI (LOTTO 3) OPERE DI SOSTEGNO DI LINEA					
	MURI D'ALA VIADOTTI MU73 RELAZIONE DI CALCOLO	COMMESSA RS3T	LOTTO 30 D 78	CODIFICA CL	DOCUMENTO MU7300 001	REV. B

9.1.6 VERIFICHE GEOTECNICHE (SLV) IN CONDIZIONI SISMICHE

L'analisi della sicurezza dei muri di sostegno in condizioni sismiche può essere eseguita mediante i metodi pseudo-statici e i metodi degli spostamenti.

L'analisi pseudo-statica si esegue mediante i metodi dell'equilibrio limite. Il modello di calcolo deve comprendere l'opera di sostegno, il volume di terreno a tergo dell'opera, che si suppone in stato di equilibrio limite attivo, e gli eventuali sovraccarichi agenti sul volume suddetto.

Nell'analisi pseudo-statica, l'azione sismica è rappresentata da una forza statica equivalente pari al prodotto delle forze di gravità per un opportuno coefficiente sismico.

Nelle verifiche, i valori dei coefficienti sismici orizzontale k_h e verticale k_v possono essere valutati mediante le espressioni

$$k_h = \beta_m \frac{a_g}{g}$$

$$k_v = \pm 0.5 k_h$$

dove:

β_m = coefficiente di riduzione dell'accelerazione massima attesa al sito;

a_{max} = accelerazione orizzontale massima attesa al sito;

g = accelerazione di gravità.

In assenza di analisi specifiche della risposta sismica locale, l'accelerazione massima può essere valutata con la relazione

$$a_{max} = S \cdot a_g = (S_S \cdot S_T) \cdot a_g$$

dove:

S = coefficiente che comprende l'effetto dell'amplificazione stratigrafica (S_S) e dell'amplificazione topografica (S_T) di cui al paragrafo 3.2.3.2 delle NTC18.

Nella precedente espressione, il coefficiente di riduzione dell'accelerazione massima attesa al sito è pari a:

$\beta_m = 0.38$ nelle verifiche allo stato limite ultimo (SLV)

$\beta_m = 0.47$ nelle verifiche allo stato limite di esercizio (SLD)

Per muri non liberi di subire spostamenti relativi rispetto al terreno, il coefficiente β_m assume valore unitario.

Nel caso di muri liberi di traslare o di ruotare intorno al piede, si può assumere che l'incremento di spinta dovuta al sisma agisca nello stesso punto di quella statica. Negli altri casi, in assenza di studi specifici, si deve assumere che tale incremento sia applicato a metà altezza del muro.

Lo stato limite di ribaltamento deve essere trattato impiegando coefficienti parziali unitari sulle azioni e sui parametri geotecnici (paragrafo 7.11.1 delle NTC18) e utilizzando valori di β_m incrementati del 50% rispetto a quelli innanzi indicati e comunque non superiori all'unità.

 ITALFERR GRUPPO FERROVIE DELLO STATO ITALIANE	DIRETTRICE FERROVIARIA MESSINA – CATANIA – PALERMO NUOVO COLLEGAMENTO PALERMO – CATANIA TRATTA LERCARA DIR. – CALTANISSETTA XIRBI (LOTTO 3) OPERE DI SOSTEGNO DI LINEA					
	MURI D'ALA VIADOTTI MU73 RELAZIONE DI CALCOLO	COMMESSA RS3T	LOTTO 30 D 78	CODIFICA CL	DOCUMENTO MU7300 001	REV. B

In condizioni sismiche deve essere soddisfatta la verifica di stabilità del complesso muro – terreno con i criteri indicati al paragrafo 7.11.4 delle NTC2018.

Il calcolo della spinta in condizioni sismiche è stato effettuato impiegando la Teoria di Mononobe – Okabe.

La teoria di Mononobe – Okabe fa uso del metodo dell'equilibrio limite e può essere considerata una estensione della teoria di Coulomb, in cui, alle usuali spinte al contorno del cuneo instabile di terreno, sono sommate anche le azioni inerziali orizzontali e verticali dovute all'accelerazione delle masse.

Le spinte Attiva e Passiva si calcolano come:

$$S_{a,t} = \frac{1}{2} \gamma \cdot k_{as} \cdot h^2 \cdot (1 \mp k_v)$$

Il coefficiente k_{as} è valutato, quindi, secondo tale formulazione, in cui i simboli usati sono:

ϕ = angolo di attrito interno del terrapieno;

ψ = angolo di inclinazione rispetto all'orizzontale della parete interessata del muro;

β = angolo di inclinazione rispetto all'orizzontale del profilo del terrapieno;

δ = angolo di attrito terrapieno – muro;

θ = angolo di rotazione addizionale definito come segue.

$$\tan \theta = \frac{k_h}{1 \mp k_v}$$

Il coefficiente per stati di spinta attiva si divide in due casi:

$$\beta \leq \phi - \theta \rightarrow k_{as} = \frac{\sin^2(\psi + \phi - \theta)}{\cos \theta \cdot \sin^2 \psi \cdot \sin(\psi - \theta - \delta) \left[1 + \sqrt{\frac{\sin(\phi + \delta) \cdot \sin(\phi - \beta - \theta)}{\sin(\psi - \theta - \delta) \cdot \sin(\psi + \beta)}} \right]^2}$$

$$\beta > \phi - \theta \rightarrow k_{as} = \frac{\sin^2(\psi + \phi - \theta)}{\cos \theta \cdot \sin^2 \psi \cdot \sin(\psi - \theta - \delta)}$$

Il coefficiente per stati di spinta passiva è invece:

$$k_{ps} = \frac{\sin^2(\psi + \phi - \theta)}{\cos \theta \cdot \sin^2 \psi \cdot \sin(\psi + \theta) \left[1 - \sqrt{\frac{\sin \phi \cdot \sin(\phi + \beta - \theta)}{\sin(\psi + \beta) \cdot \sin(\psi + \theta)}} \right]^2}$$

9.1.7 VERIFICHE GEOTECNICHE (SLE)

Per ciascun stato limite di esercizio deve essere rispettata la condizione [6.2.7] delle NTC 2018:

 ITAFERR GRUPPO FERROVIE DELLO STATO ITALIANE	DIRETTRICE FERROVIARIA MESSINA – CATANIA – PALERMO NUOVO COLLEGAMENTO PALERMO – CATANIA TRATTA LERCARA DIR. – CALTANISSETTA XIRBI (LOTTO 3) OPERE DI SOSTEGNO DI LINEA					
	MURI D'ALA VIADOTTI MU73 RELAZIONE DI CALCOLO	COMMESSA RS3T	LOTTO 30 D 78	CODIFICA CL	DOCUMENTO MU7300 001	REV. B

Ed ≤ Cd

essendo Ed e Cd rispettivamente il valore di progetto dell'effetto delle azioni e il prescritto valore limite dell' effetto delle azioni (spostamenti, rotazioni, distorsioni, ecc.).

In particolare, dovranno essere valutati gli spostamenti delle opere di sostegno e del terreno circostante per verificarne la compatibilità con la funzionalità delle opere stesse e con la sicurezza e funzionalità dei manufatti adiacenti, anche a seguito di modifiche indotte sul regime delle pressioni interstiziali.

Per i lavori e le opere da realizzare in prossimità di linee ferroviarie già in esercizio, le verifiche agli SLE dovranno essere condotte assumendo come limite degli spostamenti indotti durante la costruzione sui binari in esercizio i valori limite dei difetti riferiti al secondo livello di qualità descritti nella specifica tecnica RFI TCAR ST AR 01 001 D "Standard di qualità geometrica del binario con velocità fino a 300 km/h" e relativi allegati.

Qualora vengano superati i limiti riferiti al primo livello di qualità, il progetto dovrà prevedere l'esecuzione di un monitoraggio del binario durante la costruzione al fine di controllare l'effettivo andamento delle deformazioni.

9.1.8 CALCOLO DEI CEDIMENTI (SLE)

Per quanto riguarda la valutazione dei cedimenti, è stata impiegata la teoria dell'elasticità, ipotizzando il terreno come un mezzo omogeneo elastico ed isotropo. In tal modo il cedimento immediato è dovuto ad una distorsione del terreno sottostante il carico, che si deforma e cambia forma a volume costante.

La soluzione più largamente usata è quella di Jambu et al. (1956):

$$\delta = \mu_0 \cdot \mu_1 \cdot q_m \cdot B/E$$

dove:

B = larghezza caratteristica della fondazione

qm = carico unitario medio;

E = modulo di deformazione impiegato nel calcolo dei cedimenti = E0 / 10

μ0 e μ1 = coefficienti correttivi di forma, dipendenti dalla geometria del problema e dallo spessore dello strato compressibile (abachi di Christian e Carrier, 1964).

9.1.9 VERIFICHE STRUTTURALI SLU

Le verifiche di resistenza delle sezioni sono eseguite secondo il metodo semiprobabilistico agli stati limite. I coefficienti di sicurezza adottati sono i seguenti:

coefficiente parziale di sicurezza per il calcestruzzo: 1.50;

coefficiente parziale di sicurezza per l'acciaio in barre: 1.15;

Il paragrafo in oggetto illustra nel dettaglio i criteri generali adottati per le verifiche strutturali e geotecniche condotte nel progetto. Ulteriori dettagli di carattere specifico, laddove impiegati, sono dichiarati e motivati nelle relative risultanze delle verifiche.

 ITALFERR GRUPPO FERROVIE DELLO STATO ITALIANE	DIRETTRICE FERROVIARIA MESSINA – CATANIA – PALERMO NUOVO COLLEGAMENTO PALERMO – CATANIA TRATTA LERCARA DIR. – CALTANISSETTA XIRBI (LOTTO 3) OPERE DI SOSTEGNO DI LINEA					
	MURI D'ALA VIADOTTI MU73 RELAZIONE DI CALCOLO	COMMESSA RS3T	LOTTO 30 D 78	CODIFICA CL	DOCUMENTO MU7300 001	REV. B

9.1.10 CRITERI DI VERIFICA DELLE SEZIONI IN C.A.

Per le sezioni in cemento armato si effettuano:

verifiche per gli stati limite ultimi a presso-flessione;

verifiche per gli stati limite ultimi a taglio;

verifiche per gli stati limite di esercizio.

9.1.11 VERIFICHE PER GLI STATI LIMITE ULTIMI A FLESSIONE - PRESSOFLESSIONE

Allo stato limite ultimo, le verifiche a flessione o presso-flessione sono condotte confrontando (per le sezioni più significative) le resistenze ultime e le sollecitazioni massime agenti, valutando di conseguenza il corrispondente fattore di sicurezza.

9.1.12 VERIFICA AGLI STATI LIMITE ULTIMI A TAGLIO

La verifica allo stato limite ultimo per azioni di taglio è condotta secondo quanto prescritto dal DM17/01/2018, per elementi con armatura a taglio verticali.

Si fa, pertanto, riferimento ai seguenti valori della resistenza di calcolo:

- resistenza di calcolo dell'elemento privo di armatura a taglio:

$$V_{Rd} = \max \left\{ \left[0,18 \cdot k \cdot (100 \cdot \rho_1 \cdot f_{ck})^{1/3} / \gamma_c + 0,15 \cdot \sigma_{cp} \right] b_w \cdot d; (v_{\min} + 0,15 \cdot \sigma_{cp}) \cdot b_w d \right\}$$

- valore di progetto dello sforzo di taglio che può essere sopportato dall'armatura a taglio alla tensione di snervamento:

$$V_{Rsd} = 0,9 \cdot d \cdot \frac{A_{sw}}{s} \cdot f_{yd} \cdot (\operatorname{ctg} \alpha + \operatorname{ctg} \theta) \cdot \sin \alpha$$

- valore di progetto del massimo sforzo di taglio che può essere sopportato dall'elemento, limitato dalla rottura delle bielle compresse:

$$V_{Rcd} = 0,9 \cdot d \cdot b_w \cdot \alpha_c \cdot v \cdot f_{cd} (\operatorname{ctg} \alpha + \operatorname{ctg} \theta) / (1 + \operatorname{ctg}^2 \theta)$$

Nelle espressioni precedenti, i simboli hanno i seguenti significati:

$$k = 1 + \sqrt{\frac{200}{d}} \leq 2 \text{ con } d \text{ in mm};$$

$$\rho_1 = \frac{A_{sl}}{b_w \cdot d} \leq 0,02;$$

A_{sl} è l'area dell'armatura tesa;

b_w è la larghezza minima della sezione in zona tesa;

$$\sigma_{cp} = \frac{N_{Ed}}{A_c} < 0,2 \cdot f_{cd};$$

 ITALFERR GRUPPO FERROVIE DELLO STATO ITALIANE	DIRETTRICE FERROVIARIA MESSINA – CATANIA – PALERMO NUOVO COLLEGAMENTO PALERMO – CATANIA TRATTA LERCARA DIR. – CALTANISSETTA XIRBI (LOTTO 3) OPERE DI SOSTEGNO DI LINEA												
MURI D'ALA VIADOTTI MU73 RELAZIONE DI CALCOLO	<table border="1"> <thead> <tr> <th>COMMESSA</th> <th>LOTTO</th> <th>CODIFICA</th> <th>DOCUMENTO</th> <th>REV.</th> <th>FOGLIO</th> </tr> </thead> <tbody> <tr> <td>RS3T</td> <td>30 D 78</td> <td>CL</td> <td>MU7300 001</td> <td>B</td> <td>73 di 110</td> </tr> </tbody> </table>	COMMESSA	LOTTO	CODIFICA	DOCUMENTO	REV.	FOGLIO	RS3T	30 D 78	CL	MU7300 001	B	73 di 110
COMMESSA	LOTTO	CODIFICA	DOCUMENTO	REV.	FOGLIO								
RS3T	30 D 78	CL	MU7300 001	B	73 di 110								

N_{Ed} è la forza assiale nella sezione dovuta ai carichi;

A_c è l'area della sezione di calcestruzzo;

$$v_{min} = 0.035 \cdot k^{3/2} \cdot f_{ck}^{1/2};$$

$1 \leq \cot\theta \leq 2.5$ è l'inclinazione dei puntoni di calcestruzzo rispetto all'asse della trave;

A_{sw} è l'area della sezione trasversale dell'armatura a taglio;

s è il passo delle staffe;

f_{ywd} è la tensione di snervamento di progetto dell'armatura a taglio;

$f'_{cd} = 0.5 \cdot f_{cd}$ è la resistenza ridotta a compressione del calcestruzzo d'anima;

$\alpha_{cw} = 1$ è un coefficiente che tiene conto dell'interazione tra la tensione nel corrente compresso e qualsiasi tensione di compressione assiale.

Nel primo caso, si esegue il controllo delle tensioni nei materiali supponendo una legge costitutiva tensioni-deformazioni di tipo lineare. In particolare si controlla la tensione massima di compressione del calcestruzzo e di trazione dell'acciaio, verificando che:

$\sigma_c < 0.55 f_{ck}$ per combinazione di carico caratteristica (rara);

$\sigma_c < 0.40 f_{ck}$ per combinazione di carico quasi permanente;

$\sigma_s < 0.75 f_k$ per combinazione di carico caratteristica (rara).

Nel secondo caso, si assume che le condizioni ambientali del sito in cui sorge l'opera siano ordinarie e aggressive, rispettivamente per la zattera di fondazione e per il paramento verticale, e si verifica che il valore limite di apertura della fessura, calcolato per armature poco sensibili, sia al più pari ai

seguenti valori nominali:

$w_1 = 0.2$ mm per condizioni ambientali aggressive (comb. Frequente e quasi permanente);

$w_2 = 0.3$ mm per condizioni ambientali ordinarie (comb. Frequente e quasi permanente).

 ITALFERR GRUPPO FERROVIE DELLO STATO ITALIANE	DIRETTRICE FERROVIARIA MESSINA – CATANIA – PALERMO NUOVO COLLEGAMENTO PALERMO – CATANIA TRATTA LERCARA DIR. – CALTANISSETTA XIRBI (LOTTO 3) OPERE DI SOSTEGNO DI LINEA					
	MURI D'ALA VIADOTTI MU73 RELAZIONE DI CALCOLO	COMMESSA RS3T	LOTTO 30 D 78	CODIFICA CL	DOCUMENTO MU7300 001	REV. B

9.1.13 VERIFICHE STRUTTURALI (SLE)

La verifica nei confronti degli Stati limite di esercizio, consiste nel controllare, con riferimento alle sollecitazioni di calcolo corrispondenti alle Combinazioni di Esercizio il tasso di Lavoro nei Materiali e l'ampiezza delle fessure attesa, secondo quanto di seguito specificato

9.1.14 VERIFICHE ALLE TENSIONI

La verifica delle tensioni in esercizio consiste nel controllare il rispetto dei limiti tensionali previsti per il calcestruzzo e per l'acciaio per ciascuna delle combinazioni di carico caratteristiche "Rara" e "Quasi Permanente"; i valori tensionali nei materiali sono valutati secondo le note teorie di analisi delle sezioni in c.a. in campo elastico e con calcestruzzo "non reagente" adottando come limiti di riferimento, trattandosi nel caso in specie di opere Ferroviarie, quelli indicati nel documento " Manuale di progettazione opere civili"

Strutture in c.a.

Tensioni di compressione del calcestruzzo

Devono essere rispettati i seguenti limiti per le tensioni di compressione nel calcestruzzo:

- per combinazione di carico caratteristica (rara): $0,55 f_{ck}$;
- per combinazioni di carico quasi permanente: $0,40 f_{ck}$;
- per spessori minori di 5 cm, le tensioni normali limite di esercizio sono ridotte del 30%.

Tensioni di trazione nell'acciaio

Per le armature ordinarie, la massima tensione di trazione sotto la combinazione di carico caratteristica (rara) non deve superare $0,75 f_{yk}$

Per il caso in esame risulta in particolare :

Muro di sostegno:

CALCESTRUZZO

$$\sigma_{cmax\ QP} = (0,40 f_{ck}) = \boxed{13.28} \text{ MPa} \quad (\text{Combinazione di Carico Quasi Permanente})$$

$$\sigma_{cmax\ R} = (0,55 f_{ck}) = \boxed{18.26} \text{ MPa} \quad (\text{Combinazione di Carico Caratteristica - Rara})$$

ACCIAIO

$$\sigma_s\ max = (0,75 f_{yk}) = \boxed{337.5} \text{ MPa} \quad \text{Combinazione di Carico Caratteristica(Rara)}$$

 ITALFERR GRUPPO FERROVIE DELLO STATO ITALIANE	DIRETTRICE FERROVIARIA MESSINA – CATANIA – PALERMO NUOVO COLLEGAMENTO PALERMO – CATANIA TRATTA LERCARA DIR. – CALTANISSETTA XIRBI (LOTTO 3) OPERE DI SOSTEGNO DI LINEA					
	MURI D'ALA VIADOTTI MU73 RELAZIONE DI CALCOLO	COMMESSA RS3T	LOTTO 30 D 78	CODIFICA CL	DOCUMENTO MU7300 001	REV. B

9.1.15 VERIFICHE A FESSURAZIONE

La verifica di fessurazione consiste nel controllare l'ampiezza dell'apertura delle fessure sotto combinazione di carico frequente e combinazione quasi permanente. Essendo la struttura a contatto col terreno si considerano condizioni ambientali aggressive; le armature di acciaio ordinario sono ritenute poco sensibili [NTC – Tabella 4.1.IV]

In relazione all'aggressività ambientale e alla sensibilità dell'acciaio, l'apertura limite delle fessure è riportato nel prospetto seguente:

Gruppi di esigenza	Condizioni ambientali	Combinazione azione	Armatura			
			Sensibile		Poco sensibile	
			Stato limite	wd	Stato limite	wd
a	Ordinarie	frequente	ap. fessure	≤w2	ap. fessure	≤w3
		quasi permanente	ap. fessure	≤w1	ap. fessure	≤w2
b	Aggressive	frequente	ap. fessure	≤w1	ap. fessure	≤w2
		quasi permanente	decompressione	-	ap. fessure	≤w1
c	Molto Aggressive	frequente	formazione fessure	-	ap. fessure	≤w1
		quasi permanente	decompressione	-	ap. fessure	≤w1

Tabella 4.1.III – Descrizione delle condizioni ambientali

CONDIZIONI AMBIENTALI	CLASSE DI ESPOSIZIONE
Ordinarie	X0, XC1, XC2, XC3, XF1
Aggressive	XC4, XD1, XS1, XA1, XA2, XF2, XF3
Molto aggressive	XD2, XD3, XS2, XS3, XA3, XF4

Figura 42 – Criteri di scelta dello stato limite di fessurazione e condizioni ambientali

Risultando:

w1= 0.2 mm

w2= 0.3 mm

 ITALFERR GRUPPO FERROVIE DELLO STATO ITALIANE	DIRETTRICE FERROVIARIA MESSINA – CATANIA – PALERMO NUOVO COLLEGAMENTO PALERMO – CATANIA TRATTA LERCARA DIR. – CALTANISSETTA XIRBI (LOTTO 3) OPERE DI SOSTEGNO DI LINEA												
MURI D'ALA VIADOTTI MU73 RELAZIONE DI CALCOLO	<table border="1"> <thead> <tr> <th>COMMESSA</th> <th>LOTTO</th> <th>CODIFICA</th> <th>DOCUMENTO</th> <th>REV.</th> <th>FOGLIO</th> </tr> </thead> <tbody> <tr> <td>RS3T</td> <td>30 D 78</td> <td>CL</td> <td>MU7300 001</td> <td>B</td> <td>76 di 110</td> </tr> </tbody> </table>	COMMESSA	LOTTO	CODIFICA	DOCUMENTO	REV.	FOGLIO	RS3T	30 D 78	CL	MU7300 001	B	76 di 110
COMMESSA	LOTTO	CODIFICA	DOCUMENTO	REV.	FOGLIO								
RS3T	30 D 78	CL	MU7300 001	B	76 di 110								

$w_3 = 0.4 \text{ mm}$

Alle prescrizioni normative presenti in NTC si sostituiscono in tal caso quelle fornite dalle specifiche RFI (Manuale di progettazione delle opere civili parte II sezione 2 – Requisiti concernenti la fessurazione per strutture in c.a., c.a.p. e miste acciaio-calcestruzzo) secondo cui la verifica nei confronti dello stato limite di apertura delle fessure va effettuata utilizzando le sollecitazioni derivanti dalla combinazione caratteristica (rara).

Per tutte le strutture a permanente contatto con il terreno e per le zone non ispezionabili di tutte le strutture, l'apertura convenzionale delle fessure dovrà risultare:

Combinazione Caratteristica (Rara)

$$\delta_f \leq w_1 = 0.2 \text{ mm}$$

Riguardo infine il valore di calcolo delle fessure da confrontare con i valori limite fissati dalla norma, si è utilizzata la procedura prevista al punto " C4.1.2.2.4.5 Verifica allo stato limite di fessurazione" della Circolare n.7/19.

9.2 ANALISI DEI CARICHI

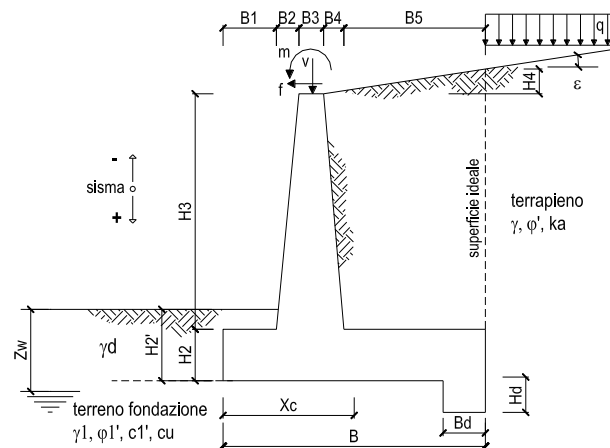
Nel seguente paragrafo si descrivono i carichi elementari che agiscono sulla struttura in oggetto. Tali azioni sono definite secondo le normative e sono utilizzate per la generazione delle combinazioni di carico nell'ambito delle verifiche di resistenza, in esercizio ed in presenza dell'evento sismico.

Tutti i carichi elementari si riferiscono all'unità di sviluppo del muro, pertanto sono tutti definiti rispetto all'unità di lunghezza.

9.2.1 PESI PROPRI

Il peso proprio del muro è calcolato in automatico dal foglio di calcolo elettronico.

I dati di input per i muri su fondazione diretta sono i seguenti:



Geometria del Muro

Elevazione	H3 =	7.50	(m)
Aggetto Valle	B2 =	0.00	(m)
Spessore del Muro in Testa	B3 =	0.40	(m)
Aggetto monte	B4 =	0.66	(m)

Geometria della Fondazione

Larghezza Fondazione	B =	9.00	(m)
Spessore Fondazione	H2 =	1.20	(m)
Suola Lato Valle	B1 =	1.80	(m)
Suola Lato Monte	B5 =	6.14	(m)
Altezza dente	Hd =	0.00	(m)
Larghezza dente	Bd =	0.00	(m)
Mezzeria Sezione	Xc =	4.50	(m)

Peso Specifico del Calcestruzzo	γ_{cls} =	25.00	(kN/m ³)
---------------------------------	------------------	-------	----------------------

Figura 43 – Caratteristiche geometriche muri di sostegno con fondazione diretta – tipo 3.

 ITALFERR GRUPPO FERROVIE DELLO STATO ITALIANE	DIRETTRICE FERROVIARIA MESSINA – CATANIA – PALERMO NUOVO COLLEGAMENTO PALERMO – CATANIA TRATTA LERCARA DIR. – CALTANISSETTA XIRBI (LOTTO 3) OPERE DI SOSTEGNO DI LINEA					
	MURI D'ALA VIADOTTI MU73 RELAZIONE DI CALCOLO	COMMESSA RS3T	LOTTO 30 D 78	CODIFICA CL	DOCUMENTO MU7300 001	REV. B

9.2.2 CARICHI PERMANENTI

9.2.2.1 SOVRASTRUTTURA FERROVIARIA

Il manuale di progettazione ove non si eseguano valutazioni più dettagliate prevede per la determinazione dei carichi permanenti portati relativi al peso della massicciata e dell'armamento (sovrastuttura ferroviaria) che potrà effettuarsi assumendo, convenzionalmente, un peso di volume pari a 18,0 kN/m³ applicato sull'impronta del ballast, per una altezza media fra il piano del ferro (P.F.) e l'estradosso del sub-ballast pari a 0,80 m (al carico è stato poi applicato un coefficiente parziale di sicurezza pari a 1,5).

$$p = 18.0 \text{ kN/m}^3 \times 0.80 \text{ m} = 14.40 \text{ kPa}$$

9.2.2.2 PARAPETTO METALLICO

Per il parapetto metallico si considerano le seguenti azioni agenti sul muro:

$$V_{\text{parapetto}} = 1.00 \text{ kN/m}$$

9.2.2.3 SPINTA DEL TERRENO

A tergo del muro agisce la spinta del terreno del rilevato.

La spinta in condizioni di esercizio viene calcolata con il coefficiente di spinta attiva k_a .

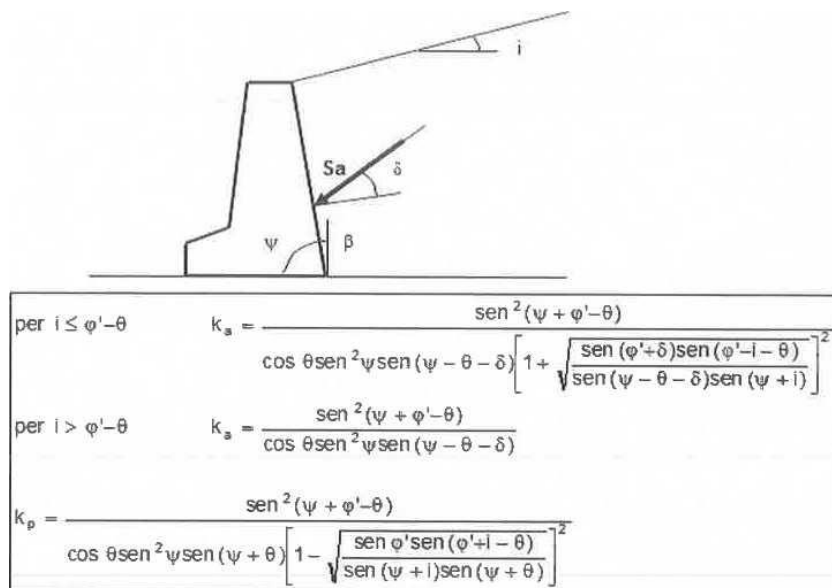


Figura 44 – Coefficiente di spinta attiva e passiva.

La spinta sull'opera di sostegno dovrà essere applicata sul piano verticale, assunto come paramento virtuale del muro, definito a partire dall'estremo a monte della scarpa di fondazione.

Su tale paramento l'angolo di inclinazione δ della risultante della spinta (applicata ad 1/3 dell'altezza del paramento virtuale) si potrà assumere uguale all'angolo di inclinazione β del terrapieno, a meno che β non sia superiore all'angolo di resistenza al taglio del terreno φ' , nel qual caso si assumerà $\delta = \varphi'$.

MURI D'ALA VIADOTTI MU73
RELAZIONE DI CALCOLO

COMMESSA	LOTTO	CODIFICA	DOCUMENTO	REV.	FOGLIO
RS3T	30 D 78	CL	MU7300 001	B	79 di 110

Dati Geotecnici			<i>valori caratteristici SLE</i>	<i>valori di progetto</i>	
				STR/GEO	EQU
Dati Terrapien o	Angolo di attrito del terrapieno	(°)	ϕ'	38,00	38,00
	Peso Unità di Volume del terrapieno	(kN/m ³)	γ'	20,00	20,00
	Angolo di attrito terreno-superficie ideale	(°)	δ	0,00	0,00

Figura 45 – Dati geotecnici

 ITALFERR GRUPPO FERROVIE DELLO STATO ITALIANE	DIRETTRICE FERROVIARIA MESSINA – CATANIA – PALERMO NUOVO COLLEGAMENTO PALERMO – CATANIA TRATTA LERCARA DIR. – CALTANISSETTA XIRBI (LOTTO 3) OPERE DI SOSTEGNO DI LINEA					
	MURI D'ALA VIADOTTI MU73 RELAZIONE DI CALCOLO	COMMESSA RS3T	LOTTO 30 D 78	CODIFICA CL	DOCUMENTO MU7300 001	REV. B

9.2.3 CARICHI VARIABILI

9.2.3.1 CARICHI MOBILI DA TRAFFICO FERROVIARIO

Le azioni variabili su opere di sostegno sono definite dal par. 3.5.2.3.4 del Manuale di progettazione Parte II – Sezione 3 Corpo Stradale.

Per quanto attiene il sovraccarico ferroviario si applica il carico verticale dovuto al treno di carico SW2 uniformemente distribuito su una larghezza trasversale di calcolo fino a livello del piano campagna. Il treno di carico SW2 schematizza gli effetti statici prodotti dal traffico ferroviario pesante.

Il treno di carico SW2 è schematizzato nella figura seguente.

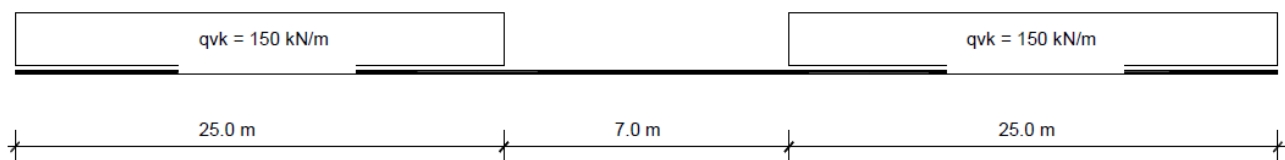


Figura 46 – Treno di carico SW2.

Per la ripartizione si considera

$$Bt = 2.40 \text{ m} + 2 \times 0.40 \text{ m} \times 1/4 + 2 \times 2.90 \text{ m} \times \text{tg}(38^\circ) = 7.10 \text{ m}$$

I carichi verticali sono definiti per mezzo dei modelli di carico elencati nella seguente tabella. I valori caratteristici dei carichi attribuiti ai modelli di carico debbono moltiplicarsi per il coefficiente α che deve assumersi come da tabella seguente:

MODELLO DI CARICO	COEFFICIENTE " α "
LM71	1.1
SW/0	1.1
SW/2	1.0

Figura 47 – Coefficienti α per modelli di carico.

Il valore considerato di carico distribuito in corrispondenza della zona sopra la soletta, risulta dunque:

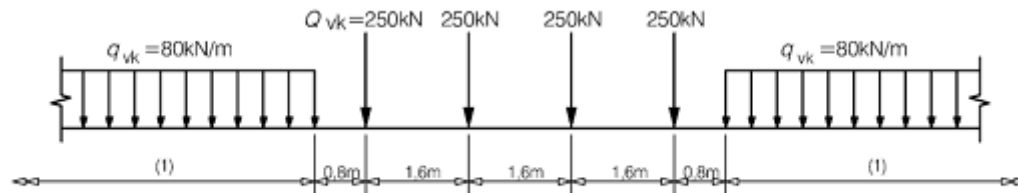
$$Q = 150 \text{ kN} \quad qvar = (150/7.10) \times 1.0 = 21.13 \text{ kN/m}^2$$

Di seguito, si effettua la valutazione del carico equivalente previsto dalle Specifiche Tecniche di Interoperabilità con cui si dà evidenza che le opere appartenenti alla tratta in esame sono idonee a sostenere tale carico.

 ITALFERR GRUPPO FERROVIE DELLO STATO ITALIANE	DIRETTRICE FERROVIARIA MESSINA – CATANIA – PALERMO NUOVO COLLEGAMENTO PALERMO – CATANIA TRATTA LERCARA DIR. – CALTANISSETTA XIRBI (LOTTO 3) OPERE DI SOSTEGNO DI LINEA					
	MURI D'ALA VIADOTTI MU73 RELAZIONE DI CALCOLO	COMMESSA RS3T	LOTTO 30 D 78	CODIFICA CL	DOCUMENTO MU7300 001	REV. B

9.2.3.2 VERIFICA REQUISITI S.T.I. PER OPERE MINORI SOTTOBINARIO: CARICO EQUIVALENTE

Il modello di carico LM71 citato dalle S.T.I. è definito nella norma EN 1991-2:2003/AC:2010.

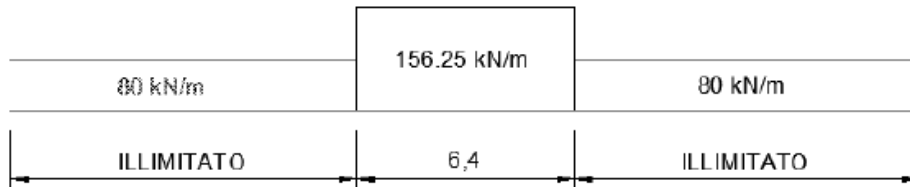


Key
 (1) No limitation

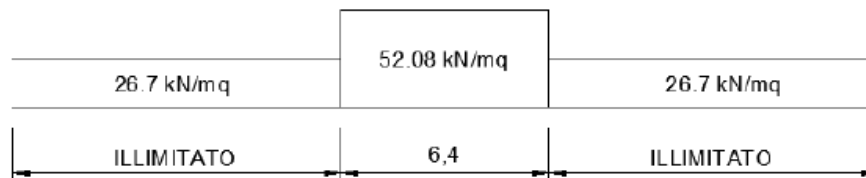
Il carico equivalente si ricava dalla ripartizione trasversale e longitudinale dei carichi per effetto delle traverse e del ballast previsti dalla stessa norma EN 1991-2:2003/AC:2010.

Considerando i 4 carichi assiali da 250 kN e la relativa distribuzione longitudinale, il carico verticale equivalente a metro lineare agente alla quota della piattaforma ferroviaria (convenzionalmente a 70 cm dal piano del ferro) risulta pari a:

$$p = \frac{4 \cdot 250}{4 \cdot 1.60} = 156.25 \text{ kN/m}$$



Considerando la distribuzione trasversale dei carichi su una larghezza di 3.0 m secondo quanto previsto da EN 1991 – 2:2003/AC:2010, si ricava il carico equivalente unitario agente alla quota della piattaforma ferroviaria:



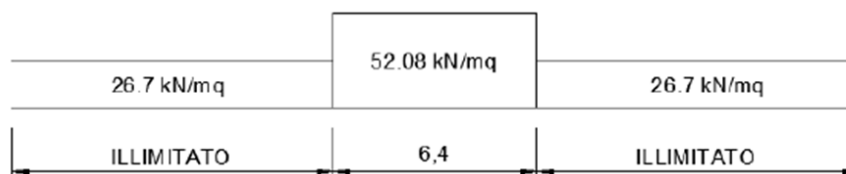
A tali carichi si deve applicare il coefficiente α relativo alle categorie S.T.I. come indicato nella tabella 11 di seguito riportata:

Tabella 11

Fattore alfa (α) per la progettazione di strutture nuove

Tipo di traffico	Valore minimo del fattore alfa (α)
P1, P2, P3, P4	1,0
P5	0,91
P6	0,83
P1520	Punto in sospenso
P1600	1,1
F1, F2, F3	1,0
F4	0,91
F1520	Punto in sospenso
F1600	1,1

Nel caso in esame, il coefficiente α è pari ad 1.0 perché le categorie di traffico sono P2-P4 per il traffico passeggeri ed F1 per il traffico merci per cui, alle opere si applicano i seguenti carichi equivalenti:



Considerando la ripartizione dei carichi attraverso il sottostante rilevato fino alla quota della testa dell'opera di sostegno con un angolo pari all'angolo di attrito interno del terreno (38°) si ottiene un carico in corrispondenza del piano orizzontale alla quota della testa dell'opera di sostegno pari a:

$$q_{var} = (52.08 \text{ kN/m}^2 \times 3.0\text{m}) / (3.0\text{m} + 2 \times 2.90\text{m} \times \text{tg}(38^\circ)) = 20.83 \text{ kN/m}^2$$

Ai fini delle verifiche del carico equivalente si considera, in tutte le relazioni di calcolo specifiche, a favore di sicurezza, il carico equivalente SW2 pari a 21.13 kN/m² a vantaggio di sicurezza rispetto ai 20.83 kN/m² calcolati con riferimento alle STI.

 ITALFERR GRUPPO FERROVIE DELLO STATO ITALIANE	DIRETTRICE FERROVIARIA MESSINA – CATANIA – PALERMO NUOVO COLLEGAMENTO PALERMO – CATANIA TRATTA LERCARA DIR. – CALTANISSETTA XIRBI (LOTTO 3) OPERE DI SOSTEGNO DI LINEA												
MURI D'ALA VIADOTTI MU73 RELAZIONE DI CALCOLO	<table border="1"> <thead> <tr> <th>COMMESSA</th> <th>LOTTO</th> <th>CODIFICA</th> <th>DOCUMENTO</th> <th>REV.</th> <th>FOGLIO</th> </tr> </thead> <tbody> <tr> <td>RS3T</td> <td>30 D 78</td> <td>CL</td> <td>MU7300 001</td> <td>B</td> <td>83 di 110</td> </tr> </tbody> </table>	COMMESSA	LOTTO	CODIFICA	DOCUMENTO	REV.	FOGLIO	RS3T	30 D 78	CL	MU7300 001	B	83 di 110
COMMESSA	LOTTO	CODIFICA	DOCUMENTO	REV.	FOGLIO								
RS3T	30 D 78	CL	MU7300 001	B	83 di 110								

9.3 COMBINAZIONI DI CARICO

Le combinazioni di carico prese in considerazione nelle verifiche sono state definite in base a quanto prescritto dalle NTC-2018 al par.2.5.3:

- Combinazione fondamentale, generalmente impiegata per gli stati limite ultimi (SILT):

$$\gamma_{G1} \cdot G_1 + \gamma_{G2} \cdot G_2 + \gamma_P \cdot P + \gamma_{Q1} \cdot Q_{k1} + \gamma_{Q2} \cdot \psi_{02} \cdot Q_{k2} + \gamma_{Q3} \cdot \psi_{03} \cdot Q_{k3} + \dots$$
 [2.5.1]
 - Combinazione caratteristica, cosiddetta rara, generalmente impiegata per gli stati limite di esercizio (SLE) irreversibili:

$$G_1 + G_2 + P + Q_{k1} + \psi_{02} \cdot Q_{k2} + \psi_{03} \cdot Q_{k3} + \dots$$
 [2.5.2]
 - Combinazione frequente, generalmente impiegata per gli stati limite di esercizio reversibili:

$$G_1 + G_2 + P + \psi_{11} \cdot Q_{k1} + \psi_{22} \cdot Q_{k2} + \psi_{23} \cdot Q_{k3} + \dots$$
 [2.5.3]
 - Combinazione quasi permanente (SLE), generalmente impiegata per gli effetti a lungo termine:

$$G_1 + G_2 + P + \psi_{21} \cdot Q_{k1} + \psi_{22} \cdot Q_{k2} + \psi_{23} \cdot Q_{k3} + \dots$$
 [2.5.4]
 - Combinazione sismica, impiegata per gli stati limite ultimi e di esercizio connessi all'azione sismica E:

$$E + G_1 + G_2 + P + \psi_{21} \cdot Q_{k1} + \psi_{22} \cdot Q_{k2} + \dots$$
 [2.5.5]
 - Combinazione eccezionale, impiegata per gli stati limite ultimi connessi alle azioni eccezionali A:

$$G_1 + G_2 + P + A_d + \psi_{21} \cdot Q_{k1} + \psi_{22} \cdot Q_{k2} + \dots$$
 [2.5.6]
- Gli effetti dell'azione sismica saranno valutati tenendo conto delle masse associate ai seguenti carichi gravitazionali:
- $$G_1 + G_2 + \sum_j \psi_{2j} Q_{kj}$$
- [2.5.7]

Per i muri di sostegno o per altre strutture miste ad essi assimilabili devono essere effettuate le verifiche con riferimento almeno ai seguenti stati limite:

SLU di tipo geotecnico (GEO)

Scorrimento sul piano di posa;

Collasso per carico limite del complesso fondazione-terreno;

Ribaltamento;

Stabilità globale del complesso opera di sostegno-terreno;

SLU di tipo strutturale (STR)

Raggiungimento della resistenza negli elementi strutturali.

La verifica di stabilità globale del complesso opera di sostegno-terreno deve essere effettuata secondo l'Approccio 1, con la Combinazione 2 (A2+M2+R2).

Le rimanenti verifiche devono essere effettuate secondo l'Approccio 2, con la combinazione (A1+M1+R3).

Per ciascuna verifica si deve tenere conto dei coefficienti parziali per le azioni, dei parametri geotecnici e dei coefficienti di amplificazione per le verifiche di sicurezza, tutti riportati nelle seguenti tabelle.

Nella verifica a ribaltamento i coefficienti R3 si applicano agli effetti delle azioni stabilizzanti.

 ITALFERR GRUPPO FERROVIE DELLO STATO ITALIANE	DIRETTRICE FERROVIARIA MESSINA – CATANIA – PALERMO NUOVO COLLEGAMENTO PALERMO – CATANIA TRATTA LERCARA DIR. – CALTANISSETTA XIRBI (LOTTO 3) OPERE DI SOSTEGNO DI LINEA					
	MURI D'ALA VIADOTTI MU73 RELAZIONE DI CALCOLO	COMMESSA RS3T	LOTTO 30 D 78	CODIFICA CL	DOCUMENTO MU7300 001	REV. B

Coefficiente			EQU ⁽¹⁾	A1	A2
Azioni permanenti	favorevoli	γ_{G1}	0,90	1,00	1,00
	sfavorevoli		1,10	1,35	1,00
Azioni permanenti non strutturali ⁽²⁾	favorevoli	γ_{G2}	0,00	0,00	0,00
	sfavorevoli		1,50	1,50	1,30
Ballast ⁽³⁾	favorevoli	γ_B	0,90	1,00	1,00
	sfavorevoli		1,50	1,50	1,30
Azioni variabili da traffico ⁽⁴⁾	favorevoli	γ_Q	0,00	0,00	0,00
	sfavorevoli		1,45	1,45	1,25
Azioni variabili	favorevoli	γ_{Qi}	0,00	0,00	0,00
	sfavorevoli		1,50	1,50	1,30
Precompressione	favorevole	γ_P	0,90	1,00	1,00
	sfavorevole		1,00 ⁽⁵⁾	1,00 ⁽⁶⁾	1,00
Ritiro, viscosità e cedimenti non imposti appositamente	favorevole	γ_{Ce}	0,00	0,00	0,00
	sfavorevole	γ_d	1,20	1,20	1,00

Figura 48 - Coefficienti parziali di sicurezza per le combinazioni di carico agli SLU.

Parametro	Grandezza alla quale applicare il coefficiente parziale	Coefficiente parziale γ_M	(M1)	(M2)
Tangente dell'angolo di resistenza al taglio	$\tan \varphi'_k$	$\gamma_{\varphi'}$	1,0	1,25
Coesione efficace	c'_k	$\gamma_{c'}$	1,0	1,25
Resistenza non drenata	c_{uk}	γ_{cu}	1,0	1,4
Peso dell'unità di volume	γ_γ	γ_γ	1,0	1,0

Figura 49 - Coefficienti parziali per i parametri geotecnici del terreno.

Verifica	Coefficiente parziale (R3)
Capacità portante della fondazione	$\gamma_R = 1,4$
Scorrimento	$\gamma_R = 1,1$
Ribaltamento	$\gamma_R = 1,15$
Resistenza del terreno a valle	$\gamma_R = 1,4$

Figura 50 – Coefficienti parziali γ_R per le verifiche agli stati limite ultimi dei muri di sostegno.

COEFFICIENTE	R2
γ_R	1,1

Figura 51 – Coefficienti parziali per le verifiche di sicurezza di opere di materiali sciolti e fronti di scavo.

Le combinazioni sismiche, in maniera del tutto analoga alle combinazioni statiche, sono effettuate con l'approccio 2, ponendo però pari all'unità i coefficienti parziali sulle azioni e sui parametri geotecnici e impiegando le resistenze di progetto con i coefficienti parziali γ_R indicati nella seguente tabella.

	DIRETTRICE FERROVIARIA MESSINA – CATANIA – PALERMO NUOVO COLLEGAMENTO PALERMO – CATANIA TRATTA LERCARA DIR. – CALTANISSETTA XIRBI (LOTTO 3) OPERE DI SOSTEGNO DI LINEA					
	MURI D'ALA VIADOTTI MU73 RELAZIONE DI CALCOLO	COMMESSA RS3T	LOTTO 30 D 78	CODIFICA CL	DOCUMENTO MU7300 001	REV. B

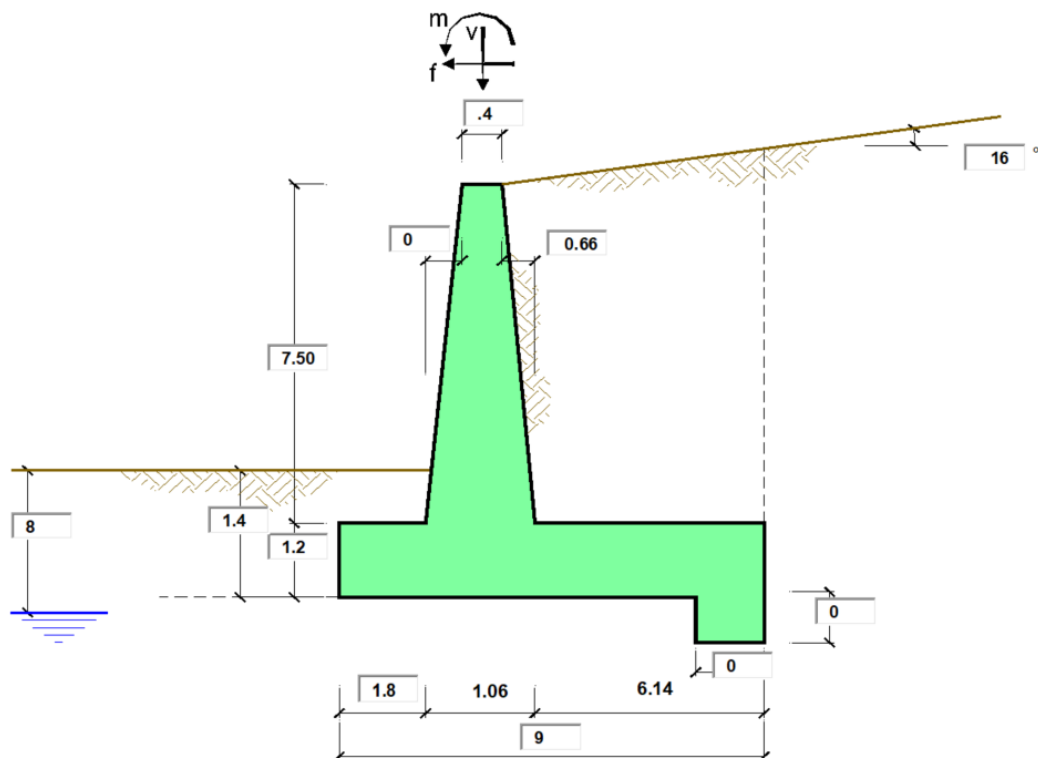
Verifica	Coefficiente parziale γ_R
Carico limite	1.2
Scorrimento	1.0
Ribaltamento	1.0
Resistenza del terreno a valle	1.2

Figura 52 – Coefficienti parziali γ_R per le verifiche agli stati limite (SLV) dei muri di sostegno.

Le verifiche pseudo-statiche di sicurezza dei fronti di scavo e dei rilevati in condizioni sismiche si eseguono adottando valori unitari dei coefficienti parziali del gruppo A e M per il calcolo delle azioni e dei parametri geotecnici di progetto e un coefficiente parziale γ_R pari a 1.2.

9.4 PROGETTO E VERIFICA DEL MURO DI SOSTEGNO “TIPO 3”

9.4.1 DATI DI INPUT



Geometria del Muro

Elevazione	H3 =	7.50	(m)
Aggetto Valle	B2 =	0.00	(m)
Spessore del Muro in Testa	B3 =	0.40	(m)
Aggetto monte	B4 =	0.66	(m)

Geometria della Fondazione

Larghezza Fondazione	B =	9.00	(m)
Spessore Fondazione	H2 =	1.20	(m)
Suola Lato Valle	B1 =	1.80	(m)
Suola Lato Monte	B5 =	6.14	(m)
Altezza dente	Hd =	0.00	(m)
Larghezza dente	Bd =	0.00	(m)
Mezzeria Sezione	Xc =	4.50	(m)

Peso Specifico del Calcestruzzo	γ_{cls} =	25.00	(kN/m ³)
---------------------------------	------------------	-------	----------------------

MURI D'ALA VIADOTTI MU73
RELAZIONE DI CALCOLO

COMMESSA	LOTTO	CODIFICA	DOCUMENTO	REV.	FOGLIO
RS3T	30 D 78	CL	MU7300 001	B	87 di 110

				<i>valori caratteristici</i>		<i>valori di progetto</i>	
				<i>SLE</i>		<i>STR/GEO</i>	<i>EQU</i>
Dati Geotecnici							
Dati Terrapieno	Angolo di attrito del terrapieno	(°)	φ'	38.00		38.00	38.00
	Peso Unità di Volume del terrapieno	(kN/m ³)	γ'	20.00		20.00	20.00
	Angolo di attrito terreno-superficie ideale	(°)	δ	16.00		16.00	16.00
Dati Terreno Fondazione		Condizioni		<input checked="" type="radio"/> drenate	<input type="radio"/> Non Drenate		
	Coesione Terreno di Fondazione	(kPa)	$c1'$	0.00		0.00	0.00
	Angolo di attrito del Terreno di Fondazione	(°)	$\varphi1'$	35.00		35.00	35.00
	Peso Unità di Volume del Terreno di Fondazione	(kN/m ³)	$\gamma1$	19.00		19.00	19.00
	Peso Unità di Volume del Rinterro della Fondazione	(kN/m ³)	γd	20.00		20.00	20.00
	Profondità "Significativa" (n.b.: consigliata $H = 2*B$)	(m)	Hs	18.00			
	Modulo di deformazione	(kN/m ²)	E	15000			

Dati Sismici	Accelerazione sismica	a_g/g	0.107	(-)	<table border="1"> <thead> <tr> <th colspan="2">RIBALTAMENTO</th> </tr> </thead> <tbody> <tr> <td>β_s</td> <td>0.57</td> </tr> <tr> <td>kh</td> <td>0.09149</td> </tr> <tr> <td>kv</td> <td>0.04574</td> </tr> </tbody> </table>	RIBALTAMENTO		β_s	0.57	kh	0.09149	kv	0.04574
	RIBALTAMENTO												
	β_s	0.57											
	kh	0.09149											
	kv	0.04574											
	Coefficiente Amplificazione Stratigrafico	S_s	1.5	(-)									
Coefficiente Amplificazione Topografico	S_T	1	(-)										
Coefficiente di riduzione dell'accelerazione massima	β_s	0.38	(-)										
Coefficiente sismico orizzontale	kh	0.06099	(-)										
Coefficiente sismico verticale	kv	0.0305	(-)										
Muro libero di traslare o ruotare		<input checked="" type="radio"/> si <input type="radio"/> no											

				<i>STR/GEO</i>		<i>RIB</i>	
Coefficienti di Spinta	Coeff. di Spinta Attiva Statico	ka	0.261	0.261	0.261		
	Coeff. Di Spinta Attiva Sismica sisma +	kas+	0.306	0.306	0.330		
	Coeff. Di Spinta Attiva Sismica sisma -	kas-	0.309	0.309	0.338		
	Coeff. Di Spinta Passiva	kp	3.690	3.690	3.690		
	Coeff. Di Spinta Passiva Sismica sisma +	kps+	3.575	3.575	3.519		
	Coeff. Di Spinta Passiva Sismica sisma -	kps-	3.568	3.568	3.502		

				<i>valori caratteristici</i>		<i>valori di progetto</i>	
				<i>SLE - sisma</i>		<i>STR/GEO</i>	<i>EQU</i>
Carichi Agenti							
Carichi permanenti	Sovraccarico permanente	(kN/m ²)	qp	16.62		21.60	21.60
	Sovraccarico su zattera di monte <input type="radio"/> si <input checked="" type="radio"/> no						
	Forza Orizzontale in Testa permanente	(kN/m)	fp	0.00		0.00	0.00
	Forza Verticale in Testa permanente	(kN/m)	vp	1.00		1.00	1.00
	Momento in Testa permanente	(kNm/m)	mp	0.00		0.00	0.00
Condizioni Statiche	Sovraccarico Accidentale in condizioni statiche	(kN/m ²)	q	21.13		30.64	30.64
	Forza Orizzontale in Testa accidentale in condizioni statiche	(kN/m)	f	0.00		0.00	0.00
	Forza Verticale in Testa accidentale in condizioni statiche	(kN/m)	v	0.00		0.00	0.00
	Momento in Testa accidentale in condizioni statiche	(kNm/m)	m	0.00		0.00	0.00
	Coefficienti di combinazione	condizione frequente $\Psi1$	1.00	condizione quasi permanente $\Psi2$	0.00		0.00
Condizioni Sismiche	Sovraccarico Accidentale in condizioni sismiche	(kN/m ²)	qs	4.23			
	Forza Orizzontale in Testa accidentale in condizioni sismiche	(kN/m)	fs	0.00			
	Forza Verticale in Testa accidentale in condizioni sismiche	(kN/m)	vs	0.00			
	Momento in Testa accidentale in condizioni sismiche	(kNm/m)	ms	0.00			

MURI D'ALA VIADOTTI MU73
RELAZIONE DI CALCOLO

COMMESSA	LOTTO	CODIFICA	DOCUMENTO	REV.	FOGLIO
RS3T	30 D 78	CL	MU7300 001	B	88 di 110

CARATTERISTICHE DEI MATERIALI STRUTTURALI

Calcestruzzo

classe cls

Rck	40	(MPa)
fck	32	(MPa)
fcm	40	(MPa)
Ec	33346	(MPa)
α_{cc}	0.85	
γ_c	1.50	

$f_{cd} = \alpha_{cc} * f_{ck} / \gamma_c$	18.13	(MPa)
$f_{ctm} = 0.30 * f_{ck}^{2/3}$	3.02	(MPa)

Tensioni limite (tensioni ammissibili)

condizioni statiche

σ_c	19.2	Mpa
σ_f	360	Mpa

condizioni sismiche

σ_c	19.2	Mpa
σ_f	360	Mpa

Valore limite di apertura delle fessure

Frequente	<input type="text" value="w1"/>	0.2	mm
Quasi Permanente	<input type="text" value="w1"/>	0.2	mm

Acciaio

tipo di acciaio

f_{yk}	=	450	(MPa)
γ_s	=	1.15	
$f_{yd} = f_{yk} / \gamma_s / \gamma_E$	=	391.30	(MPa)

E_s	=	210000	(MPa)
ε_{ys}	=	0.19%	

coefficiente omogeneizzazione acciaio $n = 15$

Copriferro (distanza asse armatura-bordo)

$c = 8.70$ (cm)

Copriferro minimo di normativa (ricoprimento armatura)

$c_{min} = 6.00$ (cm)

Interferro tra I e II strato

$i_{I-II} = 5.00$ (cm)

MURI D'ALA VIADOTTI MU73
 RELAZIONE DI CALCOLO

COMMESSA	LOTTO	CODIFICA	DOCUMENTO	REV.	FOGLIO
RS3T	30 D 78	CL	MU7300 001	B	89 di 110

9.4.2 CALCOLO DELLE AZIONI

9.4.2.1 FORZE VERTICALI E INERZIALI

FORZE VERTICALI

		SLE	STR/GEO	EQU/RIB
- Peso del Muro (Pm)				
Pm1 =	$(B2 \cdot H3 \cdot \gamma_{cls})/2$	(kN/m)	0.00	0.00
Pm2 =	$(B3 \cdot H3 \cdot \gamma_{cls})$	(kN/m)	75.00	75.00
Pm3 =	$(B4 \cdot H3 \cdot \gamma_{cls})/2$	(kN/m)	61.88	61.88
Pm4 =	$(B \cdot H2 \cdot \gamma_{cls})$	(kN/m)	270.00	270.00
Pm5 =	$(Bd \cdot Hd \cdot \gamma_{cls})$	(kN/m)	0.00	0.00
Pm =	Pm1 + Pm2 + Pm3 + Pm4 + Pm5	(kN/m)	406.88	406.88
- Peso del terreno e sovr. perm. sulla scarpa di monte del muro (Pt)				
Pt1 =	$(B5 \cdot H3 \cdot \gamma')$	(kN/m)	921.00	921.00
Pt2 =	$(0,5 \cdot (B4+B5) \cdot H4 \cdot \gamma')$	(kN/m)	132.59	132.59
Pt3 =	$(B4 \cdot H3 \cdot \gamma')$	(kN/m)	49.50	49.50
Sovr =	$qp \cdot (B4+B5)$	(kN/m)	0.00	0.00
Pt =	Pt1 + Pt2 + Pt3 + Sovr	(kN/m)	1103.09	1103.09
- Sovraccarico accidentale sulla scarpa di monte del muro				
Sovr acc. Stat	$q \cdot (B4+B5)$	(kN/m)	143.684	208.3418
Sovr acc. Sism	$qs \cdot (B4+B5)$	(kN/m)	28.7368	

MOMENTI DELLE FORZE VERT. RISPETTO AL PIEDE DI VALLE DEL MURO

		SLE	STR/GEO	EQU/RIB
- Muro (Mm)				
Mm1 =	$Pm1 \cdot (B1+2/3 \cdot B2)$	(kNm/m)	0.00	0.00
Mm2 =	$Pm2 \cdot (B1+B2+0,5 \cdot B3)$	(kNm/m)	150.00	150.00
Mm3 =	$Pm3 \cdot (B1+B2+B3+1/3 \cdot B4)$	(kNm/m)	149.74	149.74
Mm4 =	$Pm4 \cdot (B/2)$	(kNm/m)	1215.00	1215.00
Mm5 =	$Pm5 \cdot (B - Bd/2)$	(kNm/m)	0.00	0.00
Mm =	Mm1 + Mm2 + Mm3 + Mm4 + Mm5	(kNm/m)	1514.74	1514.74
- Terrapieno e sovr. perm. sulla scarpa di monte del muro				
Mt1 =	$Pt1 \cdot (B1+B2+B3+B4+0,5 \cdot B5)$	(kNm/m)	5461.53	5461.53
Mt2 =	$Pt2 \cdot (B1+B2+B3+2/3 \cdot (B4+B5))$	(kNm/m)	892.78	892.78
Mt3 =	$Pt3 \cdot (B1+B2+B3+2/3 \cdot B4)$	(kNm/m)	130.68	130.68
Msovr =	$Sovr \cdot (B1+B2+B3+1/2 \cdot (B4+B5))$	(kNm/m)	0.00	0.00
Mt =	Mt1 + Mt2 + Mt3 + Msovr	(kNm/m)	6484.99	6484.99
- Sovraccarico accidentale sulla scarpa di monte del muro				
Sovr acc. Stat	$q \cdot (B1+B2+B3+1/2 \cdot (B4+B5))$	(kNm/m)	804.6304	1166.71408
Sovr acc. Sism	$qs \cdot (B1+B2+B3+1/2 \cdot (B4+B5))$	(kNm/m)	160.92608	

MURI D'ALA VIADOTTI MU73
 RELAZIONE DI CALCOLO

COMMESSA	LOTTO	CODIFICA	DOCUMENTO	REV.	FOGLIO
RS3T	30 D 78	CL	MU7300 001	B	90 di 110

INERZIA DEL MURO E DEL TERRAPIENO

- Inerzia orizzontale e verticale del muro (Ps)

Ps h =	$Pm \cdot kh$	(kN/m)	24.82	37.22
Ps v =	$Pm \cdot kv$	(kN/m)	12.41	18.61

- Inerzia orizzontale e verticale del terrapieno a tergo del muro (Pts)

Ptsh =	$Pt \cdot kh$	(kN/m)	67.28	100.92
Ptsh v =	$Pt \cdot kv$	(kN/m)	33.64	50.46

- Incremento orizzontale di momento dovuto all'inerzia del muro (MPs h)

MPs1 h =	$kh \cdot Pm1 \cdot (H2 + H3/3)$	(kNm/m)	0.00	0.00
MPs2 h =	$kh \cdot Pm2 \cdot (H2 + H3/2)$	(kNm/m)	22.64	33.96
MPs3 h =	$kh \cdot Pm3 \cdot (H2 + H3/3)$	(kNm/m)	13.96	20.94
MPs4 h =	$kh \cdot Pm4 \cdot (H2/2)$	(kNm/m)	9.88	14.82
MPs5 h =	$-kh \cdot Pm5 \cdot (Hd/2)$	(kNm/m)	0.00	0.00
MPs h =	$MPs1 + MPs2 + MPs3 + MPs4 + MPs5$	(kNm/m)	46.49	69.73

- Incremento verticale di momento dovuto all'inerzia del muro (MPs v)

MPs1 v =	$kv \cdot Pm1 \cdot (B1 + 2/3 \cdot B2)$	(kNm/m)	0.00	0.00
MPs2 v =	$kv \cdot Pm2 \cdot (B1 + B2 + B3/2)$	(kNm/m)	4.57	6.86
MPs3 v =	$kv \cdot Pm3 \cdot (B1 + B2 + B3 + B4/3)$	(kNm/m)	4.57	6.85
MPs4 v =	$kv \cdot Pm4 \cdot (B/2)$	(kNm/m)	37.05	55.58
MPs5 v =	$kv \cdot Pm5 \cdot (B - Bd/2)$	(kNm/m)	0.00	0.00
MPs v =	$MPs1 + MPs2 + MPs3 + MPs4 + MPs5$	(kNm/m)	46.19	69.29

- Incremento orizzontale di momento dovuto all'inerzia del terrapieno (MPts h)

MPts1 h =	$kh \cdot Pt1 \cdot (H2 + H3/2)$	(kNm/m)	278.05	417.08
MPts2 h =	$kh \cdot Pt2 \cdot (H2 + H3 + H4/3)$	(kNm/m)	138.69	208.03
MPts3 h =	$kh \cdot Pt3 \cdot (H2 + H3 \cdot 2/3)$	(kNm/m)	18.72	28.08
MPts h =	$MPts1 + MPts2 + MPts3$	(kNm/m)	435.46	653.18

- Incremento verticale di momento dovuto all'inerzia del terrapieno (MPts v)

MPts1 v =	$kv \cdot Pt1 \cdot ((H2 + H3/2) - (B - B5/2) \cdot 0.5)$	(kNm/m)	166.55	249.82
MPts2 v =	$kv \cdot Pt2 \cdot ((H2 + H3 + H4/3) - (B - B5/3) \cdot 0.5)$	(kNm/m)	28.11	42.17
MPts3 v =	$kv \cdot Pt3 \cdot ((H2 + H3 \cdot 2/3) - (B1 + B2 + B3 + 2/3 \cdot B4) \cdot 0.5)$	(kNm/m)	4.82	7.22
MPts v =	$MPts1 + MPts2 + MPts3$	(kNm/m)	199.48	299.22

9.4.2.2 SPINTE IN CONDIZIONE STATICA

SPINTE DEL TERRENO E DEL SOVRACCARICO

			SLE	STR/GEO	EQU/RIB
- Spinta totale condizione statica					
St	=	$0,5 \cdot \gamma' \cdot (H2+H3+H4+Hd)^2 \cdot ka$	(kN/m)	296.22	385.09
Sq perm	=	$q \cdot (H2+H3+H4+Hd) \cdot ka$	(kN/m)	46.22	60.08
Sq acc	=	$q \cdot (H2+H3+H4+Hd) \cdot ka$	(kN/m)	58.77	85.22
- Componente orizzontale condizione statica					
Sth	=	$St \cdot \cos \delta$	(kN/m)	284.75	370.17
Sqh perm	=	$Sq \text{ perm} \cdot \cos \delta$	(kN/m)	44.43	57.75
Sqh acc	=	$Sq \text{ acc} \cdot \cos \delta$	(kN/m)	56.50	81.92
- Componente verticale condizione statica					
Stv	=	$St \cdot \sin \delta$	(kN/m)	81.65	106.15
Sqv perm	=	$Sq \text{ perm} \cdot \sin \delta$	(kN/m)	12.74	16.56
Sqv acc	=	$Sq \text{ acc} \cdot \sin \delta$	(kN/m)	16.20	23.49
- Spinta passiva sul dente					
Sp	=	$\frac{1}{2} \cdot \gamma_1 \cdot Hd^2 \cdot \frac{1}{2} \cdot \gamma_1' \cdot Hd^2 \cdot kp + (2 \cdot c_1 \cdot kp^{0.5} + \gamma_1' \cdot kp \cdot H2') \cdot Hd$	(kN/m)	0.00	0.00

MOMENTI DELLA SPINTA DEL TERRENO E DEL SOVRACCARICO

			SLE	STR/GEO	EQU/RIB
MSt1	=	$Sth \cdot ((H2+H3+H4+Hd)/3 - Hd)$	(kNm/m)	1010.85	1314.10
MSt2	=	$Stv \cdot B$	(kNm/m)	734.85	955.31
MSq1 perm	=	$Sqh \text{ perm} \cdot ((H2+H3+H4+Hd)/2 - Hd)$	(kNm/m)	236.56	307.53
MSq1 acc	=	$Sqh \text{ acc} \cdot ((H2+H3+H4+Hd)/2 - Hd)$	(kNm/m)	300.84	436.21
MSq2 perm	=	$Sqv \text{ perm} \cdot B$	(kNm/m)	114.65	149.04
MSq2 acc	=	$Sqv \text{ acc} \cdot B$	(kNm/m)	145.80	211.41
MSp	=	$\gamma_1' \cdot Hd^3 \cdot kp/3 + (2 \cdot c_1 \cdot kp^{0.5} + \gamma_1' \cdot kp \cdot H2') \cdot Hd^2/2$	(kNm/m)	0.00	0.00

MOMENTI DOVUTI ALLE FORZE ESTERNE

Mfext1	=	$mp + m$	(kNm/m)	0.00	0.00
Mfext2	=	$(fp + f) \cdot (H3 + H2)$	(kNm/m)	0.00	0.00
Mfext3	=	$(vp+v) \cdot (B1 + B2 + B3/2)$	(kNm/m)	2.00	2.00

 ITALFERR GRUPPO FERROVIE DELLO STATO ITALIANE	DIRETTRICE FERROVIARIA MESSINA – CATANIA – PALERMO NUOVO COLLEGAMENTO PALERMO – CATANIA TRATTA LERCARA DIR. – CALTANISSETTA XIRBI (LOTTO 3) OPERE DI SOSTEGNO DI LINEA					
	MURI D'ALA VIADOTTI MU73 RELAZIONE DI CALCOLO	COMMESSA RS3T	LOTTO 30 D 78	CODIFICA CL	DOCUMENTO MU7300 001	REV. B

9.4.2.3 SPINTE IN CONDIZIONE SISMICA +

SPINTE DEL TERRENO E DEL SOVRACCARICO		SLE	STR/GEO	EQU/RIB
- Spinta condizione sismica +				
Sst1 stat =	$0,5 \cdot \gamma' \cdot (H2+H3+H4+Hd)^2 \cdot ka$	(kN/m)	296.22	296.22
Sst1 sism =	$0,5 \cdot \gamma' \cdot (1+kv) \cdot (H2+H3+H4+Hd)^2 \cdot kas^+ - Sst1 \text{ stat}$	(kN/m)	61.22	61.22
Ssq1 perm =	$qp \cdot (H2+H3+H4+Hd) \cdot kas^+$	(kN/m)	54.12	54.12
Ssq1 acc =	$qs \cdot (H2+H3+H4+Hd) \cdot kas^+$	(kN/m)	13.76	13.76
- Componente orizzontale condizione sismica +				
Sst1h stat =	$Sst1 \text{ stat} \cdot \cos \delta$	(kN/m)	284.75	284.75
Sst1h sism =	$Sst1 \text{ sism} \cdot \cos \delta$	(kN/m)	58.85	58.85
Ssq1h perm =	$Ssq1 \text{ perm} \cdot \cos \delta$	(kN/m)	52.02	52.02
Ssq1h acc =	$Ssq1 \text{ acc} \cdot \cos \delta$	(kN/m)	13.23	13.23
- Componente verticale condizione sismica +				
Sst1v stat =	$Sst1 \text{ stat} \cdot \sin \delta$	(kN/m)	81.65	81.65
Sst1v sism =	$Sst1 \text{ sism} \cdot \sin \delta$	(kN/m)	16.87	16.87
Ssq1v perm =	$Ssq1 \text{ perm} \cdot \sin \delta$	(kN/m)	14.92	14.92
Ssq1v acc =	$Ssq1 \text{ acc} \cdot \sin \delta$	(kN/m)	3.79	3.79
- Spinta passiva sul dente				
Sp =	$\frac{1}{2} \cdot \gamma_1' \cdot (1+kv) \cdot Hd^2 \cdot kps^+ + (2 \cdot c_1' \cdot kps^{+0.5} + \gamma_1' \cdot (1+kv) \cdot kps^+ \cdot H2') \cdot Hd$	(kN/m)	0.00	0.00

MOMENTI DELLA SPINTA DEL TERRENO E DEL SOVRACCARICO		SLE	STR/GEO	EQU/RIB
- Condizione sismica +				
MSst1 stat =	$Sst1h \text{ stat} \cdot ((H2+H3+H4+hd)/3-hd)$	(kNm/m)	1010.85	1010.85
MSst1 sism =	$Sst1h \text{ sism} \cdot ((H2+H3+H4+Hd)/3-Hd)$	(kNm/m)	208.91	208.91
MSst2 stat =	$Sst1v \text{ stat} \cdot B$	(kNm/m)	734.85	734.85
MSst2 sism =	$Sst1v \text{ sism} \cdot B$	(kNm/m)	151.87	151.87
MSsq1 =	$Ssq1h \cdot ((H2+H3+H4+Hd)/2-Hd)$	(kNm/m)	347.46	347.46
MSsq2 =	$Ssq1v \cdot B$	(kNm/m)	168.39	168.39
MSp =	$\gamma_1' \cdot Hd^3 \cdot kps^+ / 3 + (2 \cdot c_1' \cdot kps^{+0.5} + \gamma_1' \cdot kps^+ \cdot H2') \cdot Hd^2 / 2$	(kNm/m)	0.00	0.00

MOMENTI DOVUTI ALLE FORZE ESTERNE			
Mfext1 =	$mp+ms$	(kNm/m)	0.00
Mfext2 =	$(fp+fs) \cdot (H3 + H2)$	(kNm/m)	0.00
Mfext3 =	$(vp+vs) \cdot (B1 + B2 + B3/2)$	(kNm/m)	2.00

 ITALFERR GRUPPO FERROVIE DELLO STATO ITALIANE	DIRETTRICE FERROVIARIA MESSINA – CATANIA – PALERMO NUOVO COLLEGAMENTO PALERMO – CATANIA TRATTA LERCARA DIR. – CALTANISSETTA XIRBI (LOTTO 3) OPERE DI SOSTEGNO DI LINEA					
	MURI D'ALA VIADOTTI MU73 RELAZIONE DI CALCOLO	COMMESSA RS3T	LOTTO 30 D 78	CODIFICA CL	DOCUMENTO MU7300 001	REV. B

9.4.2.4 SPINTE IN CONDIZIONE SISMICA -

SPINTE DEL TERRENO E DEL SOVRACCARICO		SLE	STR/GEO	EQU/RIB	
- Spinta condizione sismica -					
Sst1 stat =	$0,5 \cdot \gamma' \cdot (H2+H3+H4+Hd)^2 \cdot ka$	(kN/m)	296.22	296.22	296.22
Sst1 sism =	$0,5 \cdot \gamma' \cdot (1-kv) \cdot (H2+H3+H4+Hd)^2 \cdot kas^- - Sst1 \text{ stat}$	(kN/m)	43.46	43.46	69.45
Ssq1 perm=	$qp \cdot (H2+H3+H4+Hd) \cdot kas^-$	(kN/m)	54.66	54.66	59.79
Ssq1 acc =	$qs \cdot (H2+H3+H4+Hd) \cdot kas^-$	(kN/m)	13.90	13.90	15.21
- Componente orizzontale condizione sismica -					
Sst1h stat =	$Sst1 \text{ stat} \cdot \cos \delta$	(kN/m)	284.75	284.75	284.75
Sst1h sism =	$Sst1 \text{ sism} \cdot \cos \delta$	(kN/m)	41.77	41.77	66.76
Ssq1h perm=	$Ssq1 \text{ perm} \cdot \cos \delta$	(kN/m)	52.54	52.54	57.47
Ssq1h acc=	$Ssq1 \text{ acc} \cdot \cos \delta$	(kN/m)	13.36	13.36	14.62
- Componente verticale condizione sismica -					
Sst1v stat =	$Sst1 \text{ stat} \cdot \sin \delta$	(kN/m)	81.65	81.65	81.65
Sst1v sism =	$Sst1 \text{ sism} \cdot \sin \delta$	(kN/m)	11.98	11.98	19.14
Ssq1v perm=	$Ssq1 \text{ perm} \cdot \sin \delta$	(kN/m)	15.07	15.07	16.48
Ssq1v acc=	$Ssq1 \text{ acc} \cdot \sin \delta$	(kN/m)	3.83	3.83	4.19
- Spinta passiva sul dente					
Sp=	$\frac{1}{2} \cdot \gamma_1' \cdot (1-kv) \cdot Hd^2 \cdot kps^- + (2 \cdot c_1' \cdot kps^{-0.5} + \gamma_1' \cdot (1-kv) \cdot kps^- \cdot H2') \cdot Hd$	(kN/m)	0.00	0.00	0.00

MOMENTI DELLA SPINTA DEL TERRENO E DEL SOVRACCARICO		SLE	STR/GEO	EQU/RIB	
- Condizione sismica -					
MSst1 stat =	$Sst1h \text{ stat} \cdot ((H2+H3+H4+hd)/3-hd)$	(kNm/m)	1010.85	1010.85	1010.85
MSst1 sism=	$Sst1h \text{ sism} \cdot ((H2+H3+H4+Hd)/3-Hd)$	(kNm/m)	148.29	148.29	236.99
MSst2 stat =	$Sst1v \text{ stat} \cdot B$	(kNm/m)	734.85	734.85	734.85
MSst2 sism =	$Sst1v \text{ sism} \cdot B$	(kNm/m)	107.80	107.80	172.28
MSsq1 =	$Ssq1h \cdot ((H2+H3+H4+Hd)/2-Hd)$	(kNm/m)	350.96	350.96	383.85
MSsq2 =	$Ssq1v \cdot B$	(kNm/m)	170.09	170.09	186.03
MSp =	$\gamma_1' \cdot Hd^3 \cdot kps^+ / 3 + (2 \cdot c_1' \cdot kps^{+0.5} + \gamma_1' \cdot kps^+ \cdot H2') \cdot Hd^2 / 2$	(kNm/m)	0.00	0.00	0.00

MOMENTI DOVUTI ALLE FORZE ESTERNE			
Mfext1 =	$mp+ms$	(kNm/m)	0.00
Mfext2 =	$(fp+fs) \cdot (H3 + H2)$	(kNm/m)	0.00
Mfext3 =	$(vp+vs) \cdot (B1 + B2 + B3/2)$	(kNm/m)	2.00

 ITALFERR GRUPPO FERROVIE DELLO STATO ITALIANE	DIRETTRICE FERROVIARIA MESSINA – CATANIA – PALERMO NUOVO COLLEGAMENTO PALERMO – CATANIA TRATTA LERCARA DIR. – CALTANISSETTA XIRBI (LOTTO 3) OPERE DI SOSTEGNO DI LINEA					
	MURI D'ALA VIADOTTI MU73 RELAZIONE DI CALCOLO	COMMESSA RS3T	LOTTO 30 D 78	CODIFICA CL	DOCUMENTO MU7300 001	REV. B

9.4.3 VERIFICHE GEOTECNICHE

9.4.3.1 VERIFICA STATICA A RIBALTAMENTO, SCORRIMENTO E CARICO LIMITE VERTICALE - C. DRENATE

VERIFICA ALLO SCORRIMENTO (STR/GEO)

Risultante forze verticali (N)				
N	=	$P_m + P_t + v + S_{tv} + S_{qv \text{ perm}} + S_{qv \text{ acc}}$	1657.16	(kN/m)
Risultante forze orizzontali (T)				
T	=	$S_{th} + S_{qh} + f$	509.85	(kN/m)
Coefficiente di attrito alla base (f)				
f	=	$\text{tg}\phi_1'$	0.70	(-)
Fs scorr.		$(N \cdot f + S_p) / T$	2.28	> 1.1

VERIFICA AL RIBALTAMENTO (EQU)

Momento stabilizzante (Ms)				
Ms	=	$M_m + M_t + M_{fext3}$	8001.73	(kNm/m)
Momento ribaltante (Mr)				
Mr	=	$M_{St} + M_{Sq} + M_{fext1} + M_{fext2} + M_{Sp}$	742.08	(kNm/m)
Fs ribaltamento		Ms / Mr	10.78	> 1.15

VERIFICA CARICO LIMITE DELLA FONDAZIONE (STR/GEO)

Risultante forze verticali (N)		Nmin	Nmax [▲]	
N	=	$P_m + P_t + v + S_{tv} + S_{qv} (+ \text{ Sovr acc})$	1657.16	1865.50 (kN/m)
Risultante forze orizzontali (T)				
T	=	$S_{th} + S_{qh} + f - S_p$	509.85	509.85 (kN/m)
Risultante dei momenti rispetto al piede di valle (MM)				
MM	=	ΣM	7259.65	8426.36 (kNm/m)
Momento rispetto al baricentro della fondazione (M)				
M	=	$X_c \cdot N - MM$	197.58	-31.59 (kNm/m)

 ITALFERR GRUPPO FERROVIE DELLO STATO ITALIANE	DIRETTRICE FERROVIARIA MESSINA – CATANIA – PALERMO NUOVO COLLEGAMENTO PALERMO – CATANIA TRATTA LERCARA DIR. – CALTANISSETTA XIRBI (LOTTO 3) OPERE DI SOSTEGNO DI LINEA					
	MURI D'ALA VIADOTTI MU73 RELAZIONE DI CALCOLO	COMMESSA RS3T	LOTTO 30 D 78	CODIFICA CL	DOCUMENTO MU7300 001	REV. B

Formula Generale per il Calcolo del Carico Limite Unitario (Brinch-Hansen, 1970)

Fondazione Nastriforme

$$q_{lim} = c'N_c i_c + q_0 N_q i_q + 0,5 \gamma_1 B N_\gamma i_\gamma$$

c_1'	coesione terreno di fondaz.	0.00		(kPa)
φ_1'	angolo di attrito terreno di fondaz.	35.00		(°)
γ_1	peso unità di volume terreno fondaz.	16.33		(kN/m ³)
$q_0 = \gamma d^* H_2'$	sovraccarico stabilizzante	28.00		(kN/m ²)
$e = M / N$	eccentricità	0.12	-0.02	(m)
$B^* = B - 2e$	larghezza equivalente	8.76	8.97	(m)

I valori di N_c , N_q e N_γ sono stati valutati con le espressioni suggerite da Vesic (1975)

$N_q = \text{tg}^2(45 + \varphi'/2) e^{(\pi \text{tg}(\varphi'))}$	(1 in cond. nd)	33.30		(-)
$N_c = (N_q - 1) / \text{tg}(\varphi')$	(2+ π in cond. nd)	46.12		(-)
$N_\gamma = 2(N_q + 1) \text{tg}(\varphi')$	(0 in cond. nd)	48.03		(-)

I valori di i_c , i_q e i_γ sono stati valutati con le espressioni suggerite da Vesic (1975)

$i_q = (1 - T/(N + B^*c' \cotg \varphi'))^m$	(1 in cond. nd)	0.48	0.53	(-)
$i_c = i_q - (1 - i_q)/(N_q - 1)$		0.46	0.46	(-)
$i_\gamma = (1 - T/(N + B^*c' \cotg \varphi'))^{m+1}$		0.33	0.33	(-)

(fondazione nastriforme $m = 2$)

q_{lim}	(carico limite unitario)	1587.34	1632.80	(kN/m ²)
-----------	--------------------------	---------	---------	----------------------

FS carico limite	F = $q_{lim} * B^* / N$	N_{min}	8.39	>	1.4
		N_{max}	7.85	>	

 ITALFERR GRUPPO FERROVIE DELLO STATO ITALIANE	DIRETTRICE FERROVIARIA MESSINA – CATANIA – PALERMO NUOVO COLLEGAMENTO PALERMO – CATANIA TRATTA LERCARA DIR. – CALTANISSETTA XIRBI (LOTTO 3) OPERE DI SOSTEGNO DI LINEA					
	MURI D'ALA VIADOTTI MU73 RELAZIONE DI CALCOLO	COMMESSA RS3T	LOTTO 30 D 78	CODIFICA CL	DOCUMENTO MU7300 001	REV. B

9.4.3.2 VERIFICA SISMICA A RIBALTAMENTO, SCORRIMENTO E CARICO LIMITE VERTICALE - C. DRENATE

Condizione sismica +

VERIFICA ALLO SCORRIMENTO

Risultante forze verticali (N)

$$N = P_{m+} + P_t + v_p + v_s + S_{st1v} + S_{sq1v} + P_s v + P_{tsv} \quad 1674.25 \quad (\text{kN/m})$$

Risultante forze orizzontali (T)

$$T = S_{st1h} + S_{sq1h} + f_p + f_s + P_s h + P_{tsh} \quad 500.94 \quad (\text{kN/m})$$

Coefficiente di attrito alla base (f)

$$f = \tan \phi_1' \quad 0.70 \quad (-)$$

$$F_s = (N \cdot f + S_p) / T \quad \mathbf{2.34} \quad > \quad \mathbf{1}$$

VERIFICA AL RIBALTAMENTO

Momento stabilizzante (Ms)

$$M_s = M_m + M_t + M_{fext3} \quad 8001.73 \quad (\text{kNm/m})$$

Momento ribaltante (Mr)

$$M_r = M_{Sst} + M_{Ssq} + M_{fext1} + M_{fext2} + M_{Sp} + M_{Ps} + M_{pts} \quad 912.63 \quad (\text{kNm/m})$$

$$F_r = M_s / M_r \quad \mathbf{8.77} \quad > \quad \mathbf{1}$$

VERIFICA A CARICO LIMITE DELLA FONDAZIONE

Risultante forze verticali (N)

$$N = P_{m+} + P_t + v_p + v_s + S_{st1v} + S_{sq1v} + P_s v + P_{tsv} + (\text{Sovr acc}) \quad \begin{matrix} N_{min} \\ 1674.25 \end{matrix} \quad \begin{matrix} N_{max} \\ 1702.98 \end{matrix} \quad (\text{kN/m})$$

Risultante forze orizzontali (T)

$$T = S_{st1h} + S_{sq1h} + f_p + f_s + P_s h + P_{tsh} - S_p \quad 500.94 \quad (\text{kN/m})$$

Risultante dei momenti rispetto al piede di valle (MM)

$$MM = \sum M \quad 7253.36 \quad 7414.29 \quad (\text{kNm/m})$$

Momento rispetto al baricentro della fondazione (M)

$$M = X_c \cdot N - MM \quad 280.75 \quad 249.14 \quad (\text{kNm/m})$$

 GRUPPO FERROVIE DELLO STATO ITALIANE	DIRETTRICE FERROVIARIA MESSINA – CATANIA – PALERMO NUOVO COLLEGAMENTO PALERMO – CATANIA TRATTA LERCARA DIR. – CALTANISSETTA XIRBI (LOTTO 3) OPERE DI SOSTEGNO DI LINEA					
	MURI D'ALA VIADOTTI MU73 RELAZIONE DI CALCOLO	COMMESSA RS3T	LOTTO 30 D 78	CODIFICA CL	DOCUMENTO MU7300 001	REV. B

Formula Generale per il Calcolo del Carico Limite Unitario (Brinch-Hansen, 1970)

Fondazione Nastriforme

$$q_{lim} = c'N_c \cdot i_c + q_0 \cdot N_q \cdot i_q + 0,5 \cdot \gamma_1 \cdot B \cdot N_\gamma \cdot i_\gamma$$

c'	coesione terreno di fondaz.	0.00		(kN/mq)
φ'	angolo di attrito terreno di fondaz.	35.00		(°)
γ_1	peso unità di volume terreno fondaz.	16.33		(kN/m ³)
$q_0 = \gamma d \cdot H_2'$	sovraccarico stabilizzante	28.00		(kN/m ²)
$e = M / N$	eccentricità	0.17	0.15	(m)
$B^* = B - 2e$	larghezza equivalente	8.66	8.71	(m)

I valori di N_c , N_q e N_γ sono stati valutati con le espressioni suggerite da Vesic (1975)

$N_q = \text{tg}^2(45 + \varphi'/2) \cdot e^{(\pi \cdot \text{tg}(\varphi'))}$	(1 in cond. nd)	33.30		(-)
$N_c = (N_q - 1) / \text{tg}(\varphi')$	(2+ π in cond. nd)	46.12		(-)
$N_\gamma = 2 \cdot (N_q + 1) \cdot \text{tg}(\varphi')$	(0 in cond. nd)	48.03		(-)

I valori di i_c , i_q e i_γ sono stati valutati con le espressioni suggerite da Vesic (1975)

$i_q = (1 - T / (N + B \cdot c' \cdot \cot \varphi'))^m$	(1 in cond. nd)	0.49	0.50	(-)
$i_c = i_q - (1 - i_q) / (N_q - 1)$		0.48	0.48	(-)
$i_\gamma = (1 - T / (N + B \cdot c' \cdot \cot \varphi'))^{m+1}$		0.34	0.34	(-)

(fondazione nastriforme $m = 2$)

q_{lim}	(carico limite unitario)	1627.55	1639.95	(kN/m ²)
-----------	--------------------------	---------	---------	----------------------

FS carico limite	$F = q_{lim} \cdot B^* / N$	N_{min}	8.42	>	1.2
		N_{max}	8.39	>	

 ITALFERR GRUPPO FERROVIE DELLO STATO ITALIANE	DIRETTRICE FERROVIARIA MESSINA – CATANIA – PALERMO NUOVO COLLEGAMENTO PALERMO – CATANIA TRATTA LERCARA DIR. – CALTANISSETTA XIRBI (LOTTO 3) OPERE DI SOSTEGNO DI LINEA					
	MURI D'ALA VIADOTTI MU73 RELAZIONE DI CALCOLO	COMMESSA RS3T	LOTTO 30 D 78	CODIFICA CL	DOCUMENTO MU7300 001	REV. B

Condizione sismica -

VERIFICA ALLO SCORRIMENTO

Risultante forze verticali (N)

$$N = P_m + P_t + v_p + v_s + S_{st1v} + S_{sq1v} + P_s v + P_{tsv} \quad 1577.45 \quad (\text{kN/m})$$

Risultante forze orizzontali (T)

$$T = S_{st1h} + S_{sq1h} + f_p + f_s + P_s h + P_{tsh} \quad 484.52 \quad (\text{kN/m})$$

Coefficiente di attrito alla base (f)

$$f = \tan \phi_1' \quad 0.70 \quad (-)$$

$$F_s = (N \cdot f + S_p) / T \quad \mathbf{2.28} \quad > \quad \mathbf{1}$$

VERIFICA AL RIBALTAMENTO

Momento stabilizzante (Ms)

$$M_s = M_m + M_t + M_{fext3} \quad 8001.73 \quad (\text{kNm/m})$$

Momento ribaltante (Mr)

$$M_r = M_{Sst} + M_{Ssq} + M_{fext1} + M_{fext2} + M_{Sp} + M_{Ps} + M_{pts} \quad 1629.94 \quad (\text{kNm/m})$$

$$F_r = M_s / M_r \quad \mathbf{4.91} \quad > \quad \mathbf{1}$$

VERIFICA A CARICO LIMITE DELLA FONDAZIONE

Risultante forze verticali (N)

$$N = P_m + P_t + v_p + v_s + S_{st1v} + S_{sq1v} + P_s v + P_{tsv} \quad \begin{matrix} N_{min} \\ 1577.45 \end{matrix} \quad \begin{matrix} N_{max} \\ 1606.18 \end{matrix} \quad (\text{kN/m})$$

Risultante forze orizzontali (T)

$$T = S_{st1h} + S_{sq1h} + f_p + f_s + P_s h + P_{tsh} - S_p \quad 484.52 \quad (\text{kN/m})$$

Risultante dei momenti rispetto al piede di valle (MM)

$$MM = \sum M \quad 6776.77 \quad 6937.69 \quad (\text{kNm/m})$$

Momento rispetto al baricentro della fondazione (M)

$$M = X_c \cdot N - MM \quad 321.75 \quad 290.14 \quad (\text{kNm/m})$$

 ITALFERR GRUPPO FERROVIE DELLO STATO ITALIANE	DIRETTRICE FERROVIARIA MESSINA – CATANIA – PALERMO NUOVO COLLEGAMENTO PALERMO – CATANIA TRATTA LERCARA DIR. – CALTANISSETTA XIRBI (LOTTO 3) OPERE DI SOSTEGNO DI LINEA					
	MURI D'ALA VIADOTTI MU73 RELAZIONE DI CALCOLO	COMMESSA RS3T	LOTTO 30 D 78	CODIFICA CL	DOCUMENTO MU7300 001	REV. B

Formula Generale per il Calcolo del Carico Limite Unitario (Brinch-Hansen, 1970)

Fondazione Nastriforme

$$q_{lim} = c'N_c \cdot i_c + q_0 \cdot N_q \cdot i_q + 0,5 \cdot \gamma_1 \cdot B \cdot N_\gamma \cdot i_\gamma$$

c1'	coesione terreno di fondaz.	0.00		(kN/mq)
φ1'	angolo di attrito terreno di fondaz.	35.00		(°)
γ ₁	peso unità di volume terreno fondaz.	16.33		(kN/m ³)
q ₀ = γd'H ₂ '	sovraccarico stabilizzante	28.00		(kN/m ²)
e = M / N	eccentricità	0.20	0.18	(m)
B* = B - 2e	larghezza equivalente	8.59	8.64	(m)

I valori di N_c, N_q e N_γ sono stati valutati con le espressioni suggerite da Vesic (1975)

N _q = tg ² (45 + φ'/2) · e ^{(π·tg(φ'))}	(1 in cond. nd)	33.30		(-)
N _c = (N _q - 1)/tg(φ')	(2+π in cond. nd)	46.12		(-)
N _γ = 2*(N _q + 1)*tg(φ')	(0 in cond. nd)	48.03		(-)

I valori di i_c, i_q e i_γ sono stati valutati con le espressioni suggerite da Vesic (1975)

i _q = (1 - T/(N + B*c'cotgφ')) ^m	(1 in cond. nd)	0.48	0.49	(-)
i _c = i _q - (1 - i _q)/(N _q - 1)		0.46	0.47	(-)
i _γ = (1 - T/(N + B*c'cotgφ')) ^{m+1}		0.33	0.33	(-)

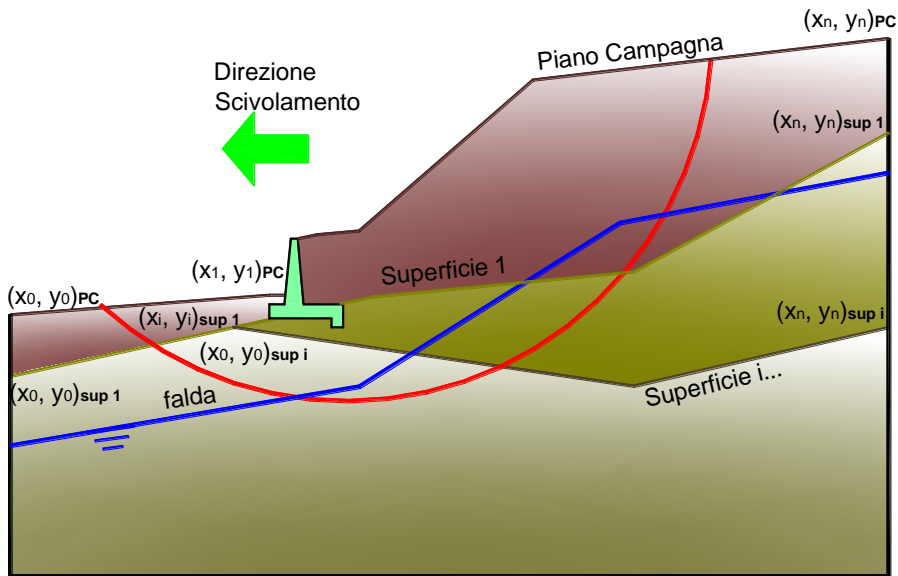
(fondazione nastriforme m = 2)

q _{lim}	(carico limite unitario)	1568.38	1581.60	(kN/m ²)
------------------	--------------------------	---------	---------	----------------------

FS carico limite	F = q_{lim}*B* / N	N _{min}	8.54	>	1.2
		N _{max}	8.51	>	

9.4.3.3 VERIFICA DI STABILITÀ GLOBALE – COND. DRENATE

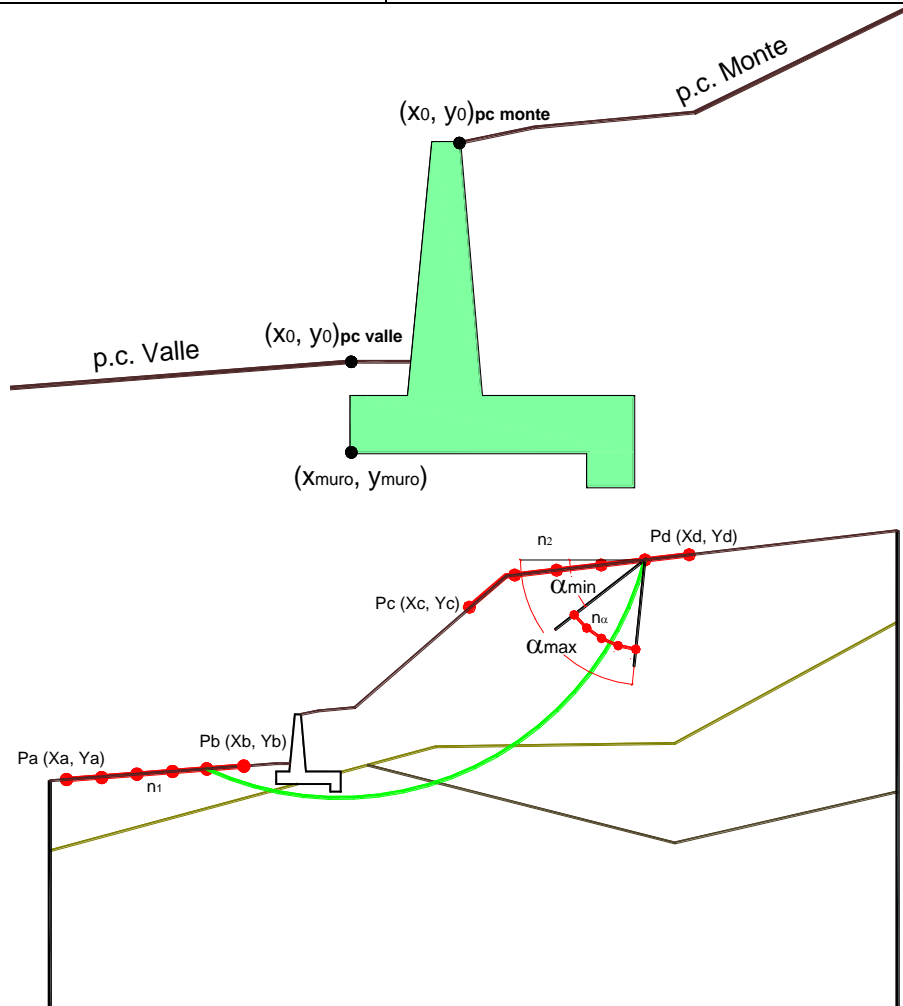
Le analisi di stabilità, di seguito riportate, sono state effettuate limitando la ricerca delle potenziali superfici di scorrimento critiche alla fascia più prossima alla linea ferroviaria.



	γ [kN/m ³]	ϕ [°]	c [kPa]	Descrizione
materiale 1	20.00	38	0	Rilevato - riporto
materiale 2	20.00	35	0	Unità geotecnica 1 - a
materiale 3	21	20	22.5	Unità geotecnica 2 - TRV
materiale 4				

MURI D'ALA VIADOTTI MU73
RELAZIONE DI CALCOLO

COMMESSA	LOTTO	CODIFICA	DOCUMENTO	REV.	FOGLIO
RS3T	30 D 78	CL	MU7300 001	B	101 di 110



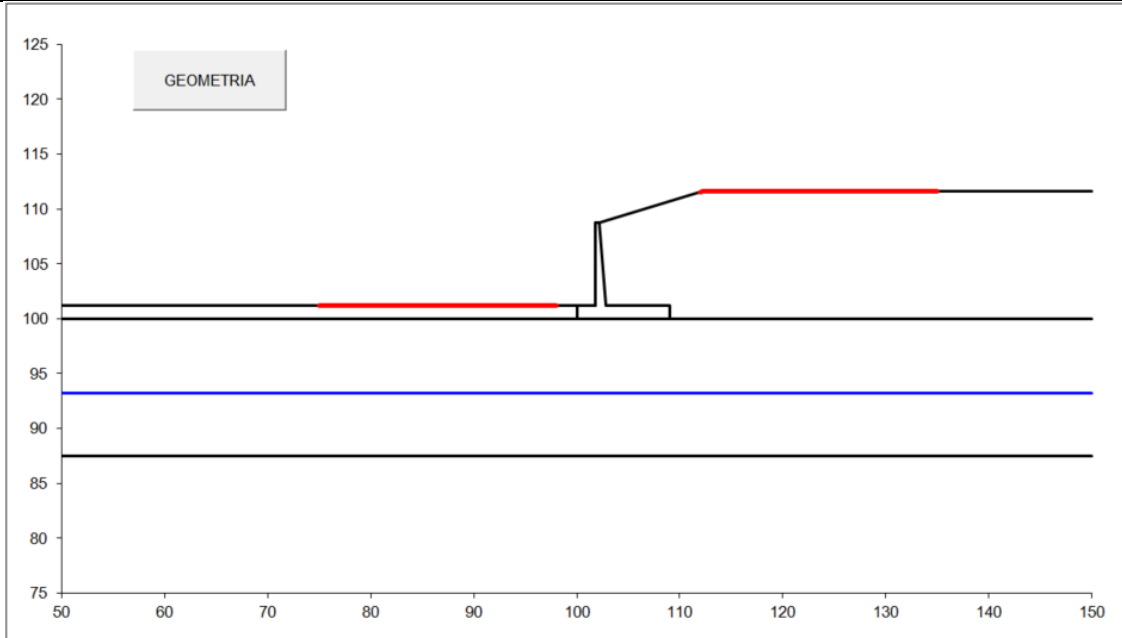
p.c. valle		p.c. monte		superficie 1		superficie 2		superficie 3		fonda				
materiale 1				materiale 2		materiale 3		materiale 2		da				
x	y	x	y	x	y	x	y	x	y	x	y			
0	100.000	101.200	0	102.200	108.700	0	50.000	100.000	0	50.000	87.500	0	50.000	93.200
1	50.000	101.200	1	112.200	111.600	1	150.000	100.000	1	150.000	87.500	1	150.000	93.200
2			2	150.000	111.600	2			2			2		
3			3			3			3			3		
4			4			4			4			4		
5			5			5			5			5		
6			6			6			6			6		
7			7			7			7			7		
8			8			8			8			8		
9			9			9			9			9		
10			10			10			10			10		

Sovraccarichi

	x_{in}	q_{in}	x_{fin}	q_{fin}	% sisma
sovraccarico 1 <input checked="" type="checkbox"/>	117.700	21.13	120.300	21.13	20%
sovraccarico 2 <input type="checkbox"/>					

MURI D'ALA VIADOTTI MU73
RELAZIONE DI CALCOLO

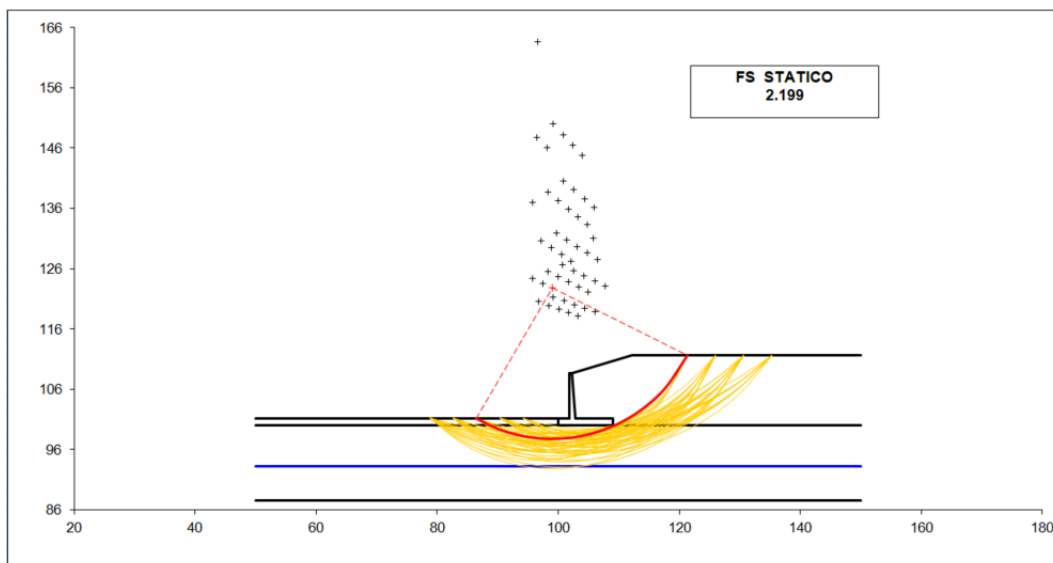
COMMESSA	LOTTO	CODIFICA	DOCUMENTO	REV.	FOGLIO
RS3T	30 D 78	CL	MU7300 001	B	102 di 110



#strisce
30

# Superfici Calcolate	FS Bishop	
103	STATICO	2.199
	SISMICO	1.924

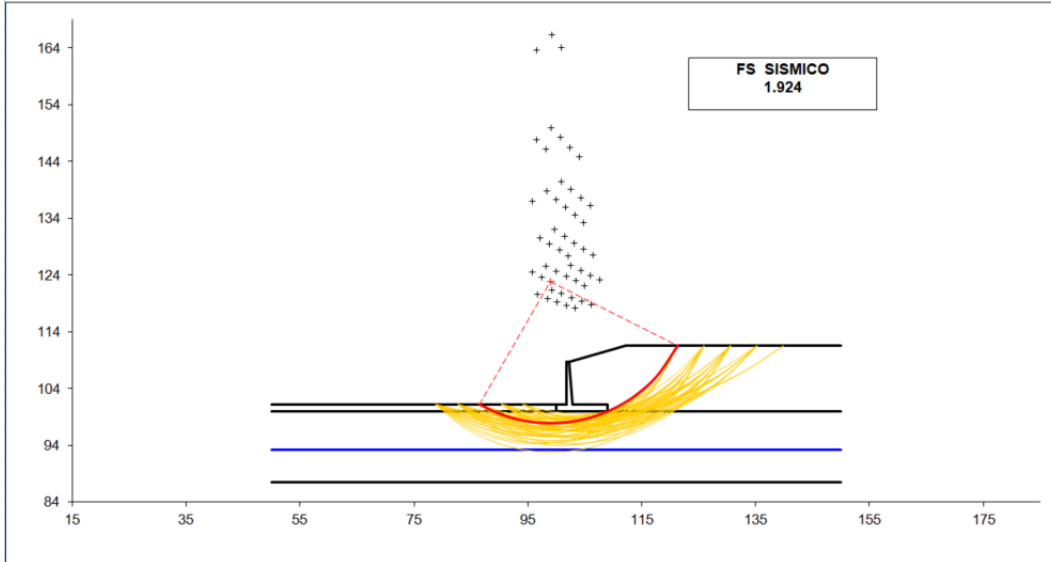
Condizioni statiche



MURI D'ALA VIADOTTI MU73
 RELAZIONE DI CALCOLO

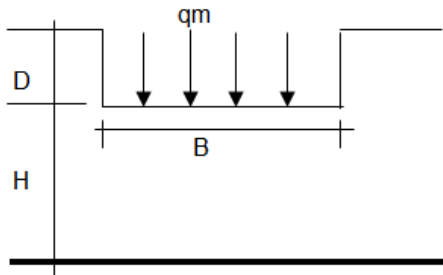
COMMESSA	LOTTO	CODIFICA	DOCUMENTO	REV.	FOGLIO
RS3T	30 D 78	CL	MU7300 001	B	103 di 110

Condizioni sismiche



9.4.3.4 CALCOLO DEI CEDIMENTI

CEDIMENTO DELLA FONDAZIONE



$$\delta = \mu_0 * \mu_1 * q_m * B^* / E \quad (\text{Christian e Carrier, 1976})$$

N	1621.56	(kN/m)
M	-151.79	(kNm/m)
e=M/N	-0.09	(m)
B*	8.81	(m)

Profondità Piano di Posa della Fondazione

D =	1.40	(m)
D/B*	0.16	(m)
Hs/B*	2.04	(m)

Carico unitario medio (qm)

$$q_m = N / (B - 2 * e) = N / B^* = 188.04 \quad (\text{kN/mq})$$

Coefficiente di forma $\mu_0 = f(D/B)$

$$\mu_0 = 0.955 \quad (-)$$

Coefficiente di profondità $\mu_1 = f(H/B)$

$$\mu_1 = 0.67 \quad (-)$$

Cedimento della fondazione

$$\delta = \mu_0 * \mu_1 * q_m * B^* / E = 70.78 \quad (\text{mm})$$

9.4.4 VERIFICHE STRUTTURALI

9.4.4.1 CALCOLO DELLE SOLLECITAZIONI

Reazione del terreno

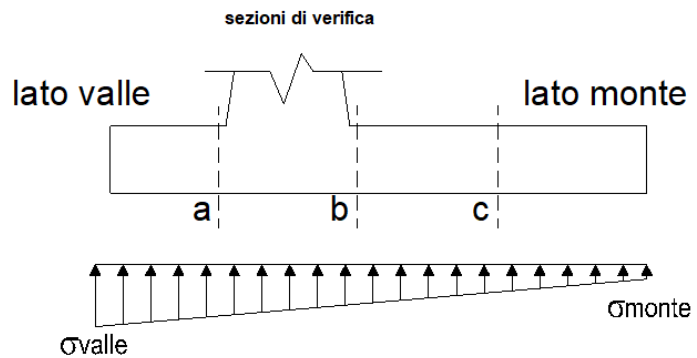
$$\sigma_{valle} = N / A + M / W_{gg}$$

$$\sigma_{monte} = N / A - M / W_{gg}$$

$$A = 1.0 \cdot B = 9.00 \quad (m^2)$$

$$W_{gg} = 1.0 \cdot B^2 / 6 = 13.50 \quad (m^3)$$

caso	N	M	σ_{valle}	σ_{monte}
	[kN]	[kNm]	[kN/m ²]	[kN/m ²]
statico	1657.16	197.58	198.76	169.49
	1865.50	-31.59	204.94	209.62
sisma+	1674.25	280.75	206.82	165.23
	1702.98	249.14	207.68	170.77
sisma-	1577.45	321.75	199.10	151.44
	1606.18	290.14	199.96	156.97



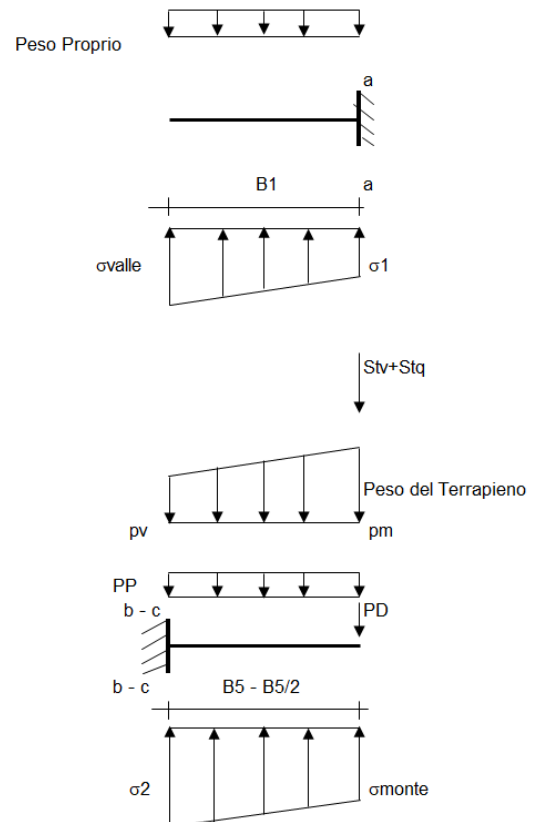
Mensola Lato Valle

Peso Proprio. PP = 30.00 (kN/m)

$$M_a = \sigma_1 \cdot B^2 / 2 + (\sigma_{valle} - \sigma_1) \cdot B^2 / 3 - PP \cdot B^2 / 2 \cdot (1 \pm kv)$$

$$V_a = \sigma_1 \cdot B + (\sigma_{valle} - \sigma_1) \cdot B / 2 - PP \cdot B \cdot (1 \pm kv)$$

caso	σ_{valle}	σ_1	M_a	V_a
	[kN/m ²]	[kN/m ²]	[kNm]	[kN]
statico	198.76	192.91	270.24	298.51
	204.94	205.87	283.91	315.73
sisma+	206.82	198.51	280.48	305.82
	207.68	200.29	283.85	308.57
sisma-	199.10	189.57	270.28	290.35
	199.96	191.36	270.69	293.10



Mensola Lato Monte

PP = 30.00 (kN/m²) peso proprio soletta fondazione

PD = 0.00 (kN/m) peso proprio dente

	N _{min}	N _{max stat}	N _{max sism}	
p _m	189.00	219.64	193.22	(kN/m ²)
p _{vb}	153.79	184.42	158.01	(kN/m ²)
p _{vc}	171.39	202.03	175.62	(kN/m ²)

$$M_b = (\sigma_{monte} - (p_{vb} + PP) \cdot (1 \pm kv)) \cdot B^2 / 2 + (\sigma_2 - \sigma_{monte}) \cdot B^2 / 6 - (p_m - p_{vb}) \cdot (1 \pm kv) \cdot B^2 / 3 + (Stv + Sqv) \cdot B^2 \cdot PD \cdot (1 \pm kv) \cdot (B_5 - B_d / 2) - PD \cdot kh \cdot (H_d + H_2 / 2) + M_{sp} + Sp \cdot H_2 / 2$$

$$M_c = (\sigma_{monte} - (p_{vc} + PP) \cdot (1 \pm kv)) \cdot (B_5 / 2)^2 / 2 + (\sigma_2 - \sigma_{monte}) \cdot (B_5 / 2)^2 / 6 - (p_m - p_{vc}) \cdot (1 \pm kv) \cdot (B_5 / 2)^2 / 3 + (Stv + Sqv) \cdot (B_5 / 2) \cdot PD \cdot (1 \pm kv) \cdot (B_5 / 2 - B_d / 2) - PD \cdot kh \cdot (H_d + H_2 / 2) + M_{sp} + Sp \cdot H_2 / 2$$

$$V_b = (\sigma_{monte} - (p_{vb} + PP) \cdot (1 \pm kv)) \cdot B_5 + (\sigma_2 - \sigma_{monte}) \cdot B_5 / 2 - (p_m - p_{vb}) \cdot (1 \pm kv) \cdot B_5 / 2 - (Stv + Sqv) \cdot PD \cdot (1 \pm kv)$$

$$V_c = (\sigma_{monte} - (p_{vc} + PP) \cdot (1 \pm kv)) \cdot (B_5 / 2) + (\sigma_2 - \sigma_{monte}) \cdot (B_5 / 2) - (p_m - p_{vc}) \cdot (1 \pm kv) \cdot (B_5 / 2) - (Stv + Sqv) \cdot PD \cdot (1 \pm kv)$$

MURI D'ALA VIADOTTI MU73
RELAZIONE DI CALCOLO

COMMESSA	LOTTO	CODIFICA	DOCUMENTO	REV.	FOGLIO
RS3T	30 D 78	CL	MU7300 001	B	106 di 110

caso	o1	o2b	Mb	Vb	o2c	Mc	Vc
	[kN/m ²]	[kN/m ²]	[kNm]	[kN]	[kN/m ²]	[kNm]	[kN]
statico	169.49	189.46	-1484.06	-280.74	179.48	-638.77	-263.93
	209.62	206.43	-1450.78	-293.60	208.02	-612.25	-252.58
sisma+	165.23	193.61	-1452.91	-289.85	179.42	-593.97	-253.17
	170.77	195.95	-1450.75	-292.42	183.36	-590.92	-252.00
sisma-	151.44	183.96	-1419.67	-281.69	167.70	-580.00	-248.27
	156.97	186.30	-1412.65	-282.68	171.64	-575.74	-246.31

CALCOLO SOLLECITAZIONI PARAMENTO VERTICALE DEL MURO

Azioni sulla parete e Sezioni di Calcolo

$$M_{t \text{ stat}} = \frac{1}{2} K_{a_{orizz}} \cdot \gamma \cdot (1 \pm kv) \cdot h^2 \cdot h/3$$

$$M_{t \text{ sism}} = \frac{1}{2} \cdot \gamma \cdot (K_{a_{orizz}} \cdot (1 \pm kv) - K_{a_{orizz}}) \cdot h^2 \cdot h/2 \quad o \cdot h/3$$

$$M_q = \frac{1}{2} K_{a_{orizz}} \cdot q \cdot h^2$$

$$M_{ext} = m + f \cdot h$$

$$M_{inerzia} = \Sigma P_m \cdot b_i \cdot kh$$

$$N_{ext} = v$$

$$N_{pp+inerzia} = \Sigma P_m \cdot (1 \pm kv)$$

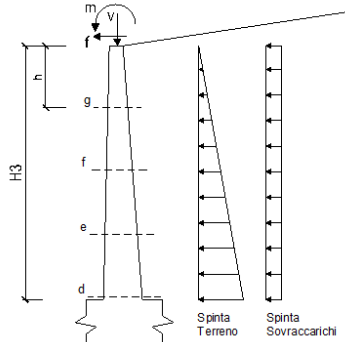
$$V_{t \text{ stat}} = \frac{1}{2} K_{a_{orizz}} \cdot \gamma \cdot (1 \pm kv) \cdot h^2$$

$$V_{t \text{ sism}} = \frac{1}{2} \cdot \gamma \cdot (K_{a_{orizz}} \cdot (1 \pm kv) - K_{a_{orizz}}) \cdot h^2$$

$$V_q = K_{a_{orizz}} \cdot q \cdot h$$

$$V_{ext} = f$$

$$V_{inerzia} = \Sigma P_m \cdot kh$$



condizione statica

sezione	h	Mt	Mq	M _{ext}	M _{tot}	N _{ext}	N _{pp}	N _{tot}
	[m]	[kNm/m]	[kNm/m]	[kNm/m]	[kNm/m]	[kN/m]	[kN/m]	[kN/m]
d-d	7.50	458.97	368.86	0.00	827.82	1.00	136.88	137.88
e-e	5.63	193.63	207.48	0.00	401.11	1.00	91.05	92.05
f-f	3.75	57.37	92.21	0.00	149.58	1.00	52.97	53.97
g-g	1.88	7.17	23.05	0.00	30.22	1.00	22.62	23.62

sezione	h	Vt	Vq	V _{ext}	V _{tot}
	[m]	[kN/m]	[kN/m]	[kN/m]	[kN/m]
d-d	7.50	183.59	98.36	0.00	281.95
e-e	5.63	103.27	73.77	0.00	177.04
f-f	3.75	45.90	49.18	0.00	95.08
g-g	1.88	11.47	24.59	0.00	36.06

condizione sismica +

sezione	h	M _{t stat}	M _{t sism}	Mq	M _{ext}	M _{inerzia}	M _{tot}	N _{ext}	N _{pp+inerzia}	N _{tot}
	[m]	[kNm/m]	[kNm/m]	[kNm/m]	[kNm/m]	[kNm/m]	[kNm/m]	[kN/m]	[kN/m]	[kN/m]
d-d	7.50	353.05	75.90	172.32	0.00	26.59	627.86	1.00	141.05	142.05
e-e	5.63	148.94	32.02	96.93	0.00	13.63	291.52	1.00	93.83	94.83
f-f	3.75	44.13	9.49	43.08	0.00	5.47	102.17	1.00	54.58	55.58
g-g	1.88	5.52	1.19	10.77	0.00	1.22	18.69	1.00	23.31	24.31

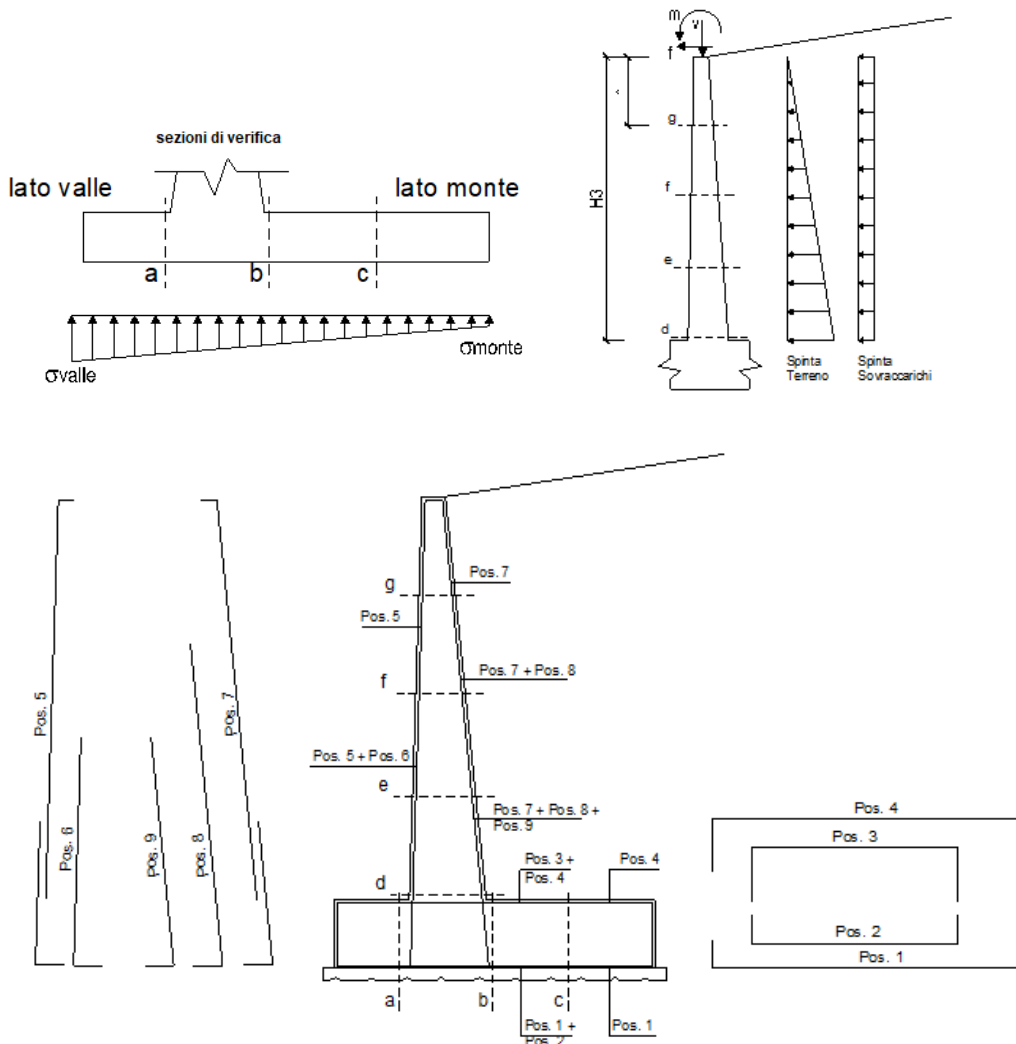
sezione	h	V _{t stat}	V _{t sism}	Vq	V _{ext}	V _{inerzia}	V _{tot}
	[m]	[kN/m]	[kN/m]	[kN/m]	[kN/m]	[kN/m]	[kN/m]
d-d	7.50	141.22	30.36	45.95	0.00	8.35	225.88
e-e	5.63	79.44	17.08	34.46	0.00	5.55	136.53
f-f	3.75	35.31	7.59	22.98	0.00	3.23	69.10
g-g	1.88	8.83	1.90	11.49	0.00	1.38	23.59

condizione sismica -

sezione	h	M _{t stat}	M _{t sism}	Mq	M _{ext}	M _{inerzia}	M _{tot}	N _{ext}	N _{pp+inerzia}	N _{tot}
	[m]	[kNm/m]	[kNm/m]	[kNm/m]	[kNm/m]	[kNm/m]	[kNm/m]	[kN/m]	[kN/m]	[kN/m]
d-d	7.50	353.05	53.88	174.06	0.00	26.59	607.57	1.00	132.70	133.70
e-e	5.63	148.94	22.73	97.91	0.00	13.63	283.21	1.00	88.28	89.28
f-f	3.75	44.13	6.73	43.51	0.00	5.47	99.85	1.00	51.35	52.35
g-g	1.88	5.52	0.84	10.88	0.00	1.22	18.46	1.00	21.93	22.93

sezione	h	V _{t stat}	V _{t sism}	Vq	V _{ext}	V _{inerzia}	V _{tot}
	[m]	[kN/m]	[kN/m]	[kN/m]	[kN/m]	[kN/m]	[kN/m]
d-d	7.50	141.22	21.55	46.42	0.00	8.35	217.53
e-e	5.63	79.44	12.12	34.81	0.00	5.55	131.92
f-f	3.75	35.31	5.39	23.21	0.00	3.23	67.13
g-g	1.88	8.83	1.35	11.60	0.00	1.38	23.16

9.4.4.2 VERIFICHE SLU



Armatura minima

L'armatura minima principale in fondazione deve essere in percentuale non inferiore allo 0.20% dell'area di conglomerato.

L'armatura minima principale presente in zona tesa deve essere in percentuale non inferiore allo 0.15% dell'area di conglomerato per l'intera lunghezza.

L'armatura secondaria, ortogonale a quella principale, deve essere pari al massimo delle seguenti percentuali:

- 0.10% dell'area di conglomerato in entrambi i lembi;
- 20% dell'armatura principale.

 ITALFERR GRUPPO FERROVIE DELLO STATO ITALIANE	DIRETTRICE FERROVIARIA MESSINA – CATANIA – PALERMO NUOVO COLLEGAMENTO PALERMO – CATANIA TRATTA LERCARA DIR. – CALTANISSETTA XIRBI (LOTTO 3) OPERE DI SOSTEGNO DI LINEA					
	MURI D'ALA VIADOTTI MU73 RELAZIONE DI CALCOLO	COMMESSA RS3T	LOTTO 30 D 78	CODIFICA CL	DOCUMENTO MU7300 001	REV. B

Muro h = 7,50m su fondazione diretta

ARMATURE

pos	n°/ml	φ	II strato	pos	n°/ml	φ	II strato
1	10.0	20		5	10.0	20	
2	0.0	0	<input type="checkbox"/>	6	0.0	0	<input type="checkbox"/>
3	5.0	26	<input checked="" type="checkbox"/>	7	10.0	26	
4	10.0	26		8	0.0	0	<input type="checkbox"/>
				9	0.0	0	<input type="checkbox"/>

Pertanto l'armatura secondaria sarà pari a:

sez a – a: φ14/20cm (ripartitori in fondazione e in elevazione);

sez b – b: φ14/20cm (ripartitori in fondazione);

sez c – c: φ14/20cm (ripartitori in fondazione);

sez d – d: φ14/20cm (ripartitori in fondazione);

sez e – e: φ14/20cm (ripartitori in fondazione);

sez f – f: φ14/20cm (ripartitori in fondazione);

sez g – g: φ14/20cm (ripartitori in fondazione);

Sez.	M	N	h	Af	A'f	Mu
(-)	(kNm)	(kN)	(m)	(cm ²)	(cm ²)	(kNm)
a - a	283.91	0.00	1.20	31.42	79.64	1350.55
b - b	-1484.06	0.00	1.20	79.64	31.42	3184.27
c - c	-638.77	0.00	1.20	53.09	31.42	2187.40
d - d	827.82	137.88	1.06	53.09	31.42	1956.75
e - e	401.11	92.05	0.90	53.09	31.42	1586.39
f - f	149.58	53.97	0.73	53.09	31.42	1225.65
g - g	30.22	23.62	0.57	53.09	31.42	872.64

(n.b.: M+ tende le fibre di intradosso, M- tende le fibre di estradosso)

Sez.	V _{Ed}	h	V _{rd}	σ staffe	i orizz.	i vert.	θ	V _{Rsd}	
(-)	(kN)	(m)	(kN)	(mm)	(cm)	(cm)	(°)	(kN)	
a - a	315.73	1.20	396.06	14	20	20	21.8	3771.19	Armatura a taglio non necessaria
b - b	293.60	1.20	540.03	14	20	20	21.8	3771.19	Armatura a taglio non necessaria
c - c	263.93	1.20	471.76	14	20	20	21.8	3771.19	Armatura a taglio non necessaria
d - d	281.95	1.06	459.23	14	20	20	21.8	3296.83	Armatura a taglio non necessaria
e - e	177.04	0.90	413.23	14	20	20	21.8	2737.75	Armatura a taglio non necessaria
f - f	95.08	0.73	365.12	14	20	20	21.8	2178.68	Armatura a taglio non necessaria
g - g	36.06	0.57	313.58	14	20	20	21.8	1619.61	Armatura a taglio non necessaria

9.4.4.3 VERIFICHE SLE TENSIONE

MURI D'ALA VIADOTTI MU73
 RELAZIONE DI CALCOLO

COMMESSA	LOTTO	CODIFICA	DOCUMENTO	REV.	FOGLIO
RS3T	30 D 78	CL	MU7300 001	B	109 di 110

Condizione Statica

Sez.	M	N	h	Af	A'f	σ_c	σ_f
(-)	(kNm)	(kN)	(m)	(cm ²)	(cm ²)	(N/mm ²)	(N/mm ²)
a - a	236.92	0.00	1.20	31.42	79.64	1.28	73.35
b - b	-1074.06	0.00	1.20	79.64	31.42	4.87	141.24
c - c	-453.88	0.00	1.20	53.09	31.42	2.30	84.71
d - d	619.57	137.88	1.06	53.09	31.42	4.01	121.52
e - e	298.86	92.05	0.90	53.09	31.42	2.62	70.35
f - f	110.76	53.97	0.73	53.09	31.42	1.42	32.33
g - g	22.17	23.62	0.57	53.09	31.42	0.48	8.14

Condizione Sismica

Sez.	M	N	h	Af	A'f	σ_c	σ_f
(-)	(kNm)	(kN)	(m)	(cm ²)	(cm ²)	(N/mm ²)	(N/mm ²)
a - a	282.37	0.00	1.20	31.42	79.64	1.52	87.42
b - b	-1452.91	0.00	1.20	79.64	31.42	6.58	191.06
c - c	-593.97	0.00	1.20	53.09	31.42	3.01	110.85
d - d	627.86	133.70	1.06	53.09	31.42	4.06	123.64
e - e	291.52	89.28	0.90	53.09	31.42	2.55	68.67
f - f	102.17	52.35	0.73	53.09	31.42	1.31	29.60
g - g	18.69	22.93	0.57	53.09	31.42	0.40	6.61

(n.b.: M+ tende le fibre di intradosso, M- tende le fibre di estradosso)

9.4.4.4 VERIFICHE SLE FESSURAZIONE

condizione Frequente

Sez.	M	N	h	Af	A'f	σ_c	σ_f	wk	w _{amm}
(-)	(kNm)	(kN)	(m)	(cm ²)	(cm ²)	(N/mm ²)	(N/mm ²)	(mm)	(mm)
a - a	236.92	0.00	1.20	31.42	79.64	1.28	73.35	0.104	0.200
b - b	-1074.06	0.00	1.20	79.64	31.42	4.87	141.24	0.178	0.200
c - c	-453.88	0.00	1.20	53.09	31.42	2.30	84.71	0.105	0.200
d - d	619.57	137.88	1.06	53.09	31.42	4.01	121.52	0.150	0.200
e - e	298.86	92.05	0.90	53.09	31.42	2.62	70.35	0.084	0.200
f - f	110.76	53.97	0.73	53.09	31.42	1.42	32.33	0.035	0.200
g - g	22.17	23.62	0.57	53.09	31.42	0.48	8.14	0.008	0.200

(n.b.: M+ tende le fibre di intradosso, M- tende le fibre di estradosso)

condizione Quasi Permanente

Sez.	M	N	h	Af	A'f	σ_c	σ_f	wk	w _{amm}
(-)	(kNm)	(kN)	(m)	(cm ²)	(cm ²)	(N/mm ²)	(N/mm ²)	(mm)	(mm)
a - a	200.87	0.00	1.20	31.42	79.64	1.08	62.19	0.088	0.200
b - b	-835.01	0.00	1.20	79.64	31.42	3.78	109.81	0.124	0.200
c - c	-351.15	0.00	1.20	53.09	31.42	1.78	65.54	0.081	0.200
d - d	470.37	137.88	1.06	53.09	31.42	3.07	89.50	0.111	0.200
e - e	214.94	92.05	0.90	53.09	31.42	1.90	48.44	0.058	0.200
f - f	73.46	53.97	0.73	53.09	31.42	0.96	19.93	0.022	0.200
g - g	12.85	23.62	0.57	53.09	31.42	0.28	3.90	0.004	0.200

(n.b.: M+ tende le fibre di intradosso, M- tende le fibre di estradosso)